

ГЛАВНОЕ УПРАВЛЕНИЕ ГИДРОМЕТЕОРОЛОГИЧЕСКОЙ СЛУЖБЫ  
ПРИ СОВЕТЕ МИНИСТРОВ СССР

ИНСТИТУТ ГЕОГРАФИИ АКАДЕМИИ НАУК СССР

## РЕСУРСЫ ПОВЕРХНОСТНЫХ ВОД СССР

# КАТАЛОГ ЛЕДНИКОВ СССР

ТОМ 14

СРЕДНЯЯ АЗИЯ

ВЫПУСК 3

АМУДАРЬЯ

Часть 17

РЕКИ БАССЕЙНА оз. КАРАКУЛЬ

Часть 18

БАССЕЙН ВЕРХОВЬЕВ р. МАРКАНСУ



ГИДРОМЕТОРИЗДАТ

ЛЕНИНГРАД • 1975

ГЛАВНОЕ УПРАВЛЕНИЕ ГИДРОМЕТЕОРОЛОГИЧЕСКОЙ СЛУЖБЫ

ПРИ СОВЕТЕ МИНИСТРОВ СССР

ИНСТИТУТ ГЕОГРАФИИ АКАДЕМИИ НАУК СССР

## РЕСУРСЫ ПОВЕРХНОСТНЫХ ВОД СССР

# КАТАЛОГ ЛЕДНИКОВ СССР

ТОМ 14

СРЕДНЯЯ АЗИЯ

ВЫПУСК 3

АМУДАРЬЯ

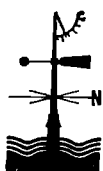
Часть 17

РЕКИ БАССЕЙНА оз. КАРАКУЛЬ

Часть 18

БАССЕЙН ВЕРХОВЬЕВ р. МАРКАНСУ

*Л. Э. АТЛАС, Г. М. ВАРНАКОВА, О. В. РОТОТАЕВА*



ГИДРОМЕТОИЗДАТ

ЛЕНИНГРАД • 1975

Каталог ледников бассейна оз. Каракуль и верховьев р. Маркансу составлен и отредактирован в отделе гляциологии Института географии АН СССР. Каталог рекомендован к печати секцией гляциологии Межведомственного геофизического комитета при Президиуме АН СССР.

**Ответственный редактор  
В. М. КОТЛЯКОВ**

**Редакторы  
О. Н. ВИНОГРАДОВ, Г. И. КОНОВАЛОВА**

В Каталоге дается характеристика географического положения, морфологии, климатических условий существования ледников малоизученного района современного оледенения. Приводятся основные сведения о ледниках, схемы расположения ледников.

Рассчитан на географов, гляциологов, гидрологов, метеорологов.

## ПРЕДИСЛОВИЕ

Каталог ледников бассейнов оз. Каракуль и верховьев р. Маркансу является частью многотомного издания «Каталог ледников СССР», входящего в свою очередь в качестве самостоятельного раздела в издание «Ресурсы поверхностных вод СССР».

Каталог ледников бассейнов оз. Каракуль и верховьев р. Маркансу входит в том 14—Средняя Азия, вып. 3—Амударья—и является соответственно частями 17 и 18 этого выпуска, разделенного на 18 частей. Деление Каталога ледников СССР на тома, выпуски и части проведено ниже.

Бассейн оз. Каракуль разделен на пять районов. Первый район включает бассейны рек, стекающих с западного склона Сарыкольского хребта, второй — хр. Зорташкол (сев.), третий — бассейн р. Акдженла, а также бассейны рек, стекающих с восточных склонов хр. Каракуль и нижних притоков р. Караджилга, четвертый — бассейн верховьев р. Караджилга, пятый — бассейн р. Коксай. Бассейн верховьев р. Маркансу разделен на западную и восточную части (соответственно шестой и седьмой районы).

Согласно «Руководству по составлению Каталога ледников СССР», ледники района в каждой части Каталога имеют единую нумерацию. Так, в пределах части 17 ледники первого района получили № 1—89, второго — № 90—126, третьего — № 127—192, четвертого — № 193—269, пятого — № 270—310, а в пределах части 18 ледники шестого района получили № 24—71 и седьмого — № 1—23, 72—115.

Каталог состоит из схем расположения ледников и пяти основных таблиц:

Таблицы I — Основные сведения о ледниках (с соответствующими пояснениями);

Таблицы II — Список гидрометеорологических станций и постов в районе ледников;

Таблицы III — Список суммарных осадкометров и снегомерных пунктов в районе ледников;

Таблицы IV — Экспедиционные и стационарные исследования ледников;

Таблицы V — Список работ, содержащих сведения о ледниках.

В связи с очень слабой изученностью этих районов таблицы II—V, а также текстовая часть, орографическая схема района, графический и табличный материал для обоих бассейнов общие.

Все таблицы составлены в соответствии с требованиями «Руководства по составлению Каталога ледников СССР». Основные таблицы Каталога нумеруются римскими цифрами. Приводятся также «Схемы расположения ледников».

В таблице I — Основные сведения о ледниках — приведены данные о линейных размерах и площади

каждого ледника, морфологическом типе, экспозиции, высоте его над уровнем моря. Даются сведения о положении фирновой линии, площадях оледенения с моренным покрытием и без него.

Морфологические данные о ледниках были получены при их измерениях по крупномасштабным топографическим картам, при этом не учитывались поправки на абсолютную высоту местности и уклон ее поверхности. При нанесении на карту гляциологической нагрузки (контуров ледника в целом, контуров языка, границы между погребенной частью и мертвыми льдами, положения фирновой линии и границы питания на леднике, начала ледника, снежных пятен, относящихся к леднику, границ между ледниками, соприкасающимися в верховьях и в боковых частях) использовались материалы аэрофотосъемки 1946 и 1947 гг.

В гляциологическом отношении район почти не изучен. Первое картирование ледников было произведено в 1928 г. во время работ Советско-германской Памиро-Алайской комплексной экспедиции. Немецкий геодезист доктор Р. Финстервальдер произвел с высот Сарыкольского хребта фототеодолитную съемку бассейна оз. Каракуль, а топограф экспедиции И. Г. Дорофеев прошел с маршрутной мензульной съемкой по долинам рек Караджилга с притоками, Караким, верховьев р. Акдженла.

Летом 1933 г. в составе высокогорной группы Таджикской комплексной экспедиции АН СССР на Северном Памире работал К. К. Марков, изучавший геоморфологию района и посетивший несколько ледников. В результате было дано первое подробное описание морфологии поверхности ледниковых языков, в том числе крупнейшего ледника Октябрьского. После этих работ вплоть до 1970 г. никаких исследований непосредственно на ледниках района не производилось.

В сводной работе Р. Д. Забирова «Оледенение Памира» (табл. V/4) впервые дана характеристика оледенения различных участков территории района с подробным описанием целого ряда крупнейших ледников, основанным главным образом на тщательном анализе крупномасштабных картографических материалов. Р. Д. Забирев составил первый каталог ледников Памира, в который вошли ледники площадью более 0,5 км<sup>2</sup>.

В 1970 и 1971 гг. экспедицией ИГАН были произведены первые полустационарные гляциологические наблюдения на ледниках № 69 в бассейне р. Маркансу и № 93, 94 в бассейне р. Акбайтал. Фирновые области ледников были покрыты сетью шурпов и снегомерной съемки, изучалась стратиграфия снежной толщи, температура льда в скважинах. Работы намечено продолжить.

В процессе камеральных и полевых работ вы-

яснилось, что контуры ледников на крупномасштабных картах нанесены очень схематично и обобщенно, а иногда неверно (в случаях особо грубого искажения участков местности морфометрические данные в табл. I давались в скобках). Поэтому аэрофотосъемка явилась основным источником для уточнения и исправления гляциологических контуров.

Квалифицированное дешифрирование аэрофотоснимков, необходимое для получения многих гляциологических характеристик, стало возможным благодаря полевым работам Таджикско-Памирской высокогорной гляциологической экспедиции ИГАН, образованной в 1968 г. Летом 1971 г. было произведено совместно с УГМС ТаджССР аэровизуальное обследование большей части района оледенения. Необоснованной осталась восточная часть района, примыкающая к Сарыкольскому хребту, и южная часть — хребет Зорташкол (сев.).

Во время маршрутных полевых работ были составлены образцы полевого дешифрирования — эталоны для последующего камерального дешифрирования.

Аэровизуальное дешифрирование выполнялось в конце августа с борта вертолета МИ-4. Перед каждым облетом по картографическим материалам и аэрофотоснимкам тщательно изучалась трасса маршрута, до полетов снимки были отдешифрированы под стереоскопом, а ледники последовательно пронумерованы. Дешифрирование в полете производилось двумя исполнителями. Во время полетов корректировались границы ледников, отмечались все расхождения с аэрофотоснимками и случаи отступания или наступления ледников по сравнению с их положением на дату аэрофотосъемки, определялись морфологические типы ледников и системы соподчинения притоков, входящих в сложные долинные ледники, отмечалось положение границы сезонного снега на поверхности ледников и, по возможности, фирновой линии, производились аэровизуальные наблюдения за характером питания ледников (лавинами и т. п.), их моренным покрытием, мертвыми льдами и т. д.

Камеральное дешифрирование производилось по нетрансформированным аэрофотоснимкам при помощи стереоскопа. Окончательно отдешифрированный контур ледника визуально переносился на крупномасштабную топокарту с тем, чтобы участок аэроснимка подробно сличить с соответствующим участком карты. Контур со снимка тщательно перерисовывался на карту.

Морфологический тип ледников и их общая экспозиция определялись по аэрофотоснимкам и топографическим картам, как правило, с использованием натурных наблюдений. Морфологические типы ледников соответствуют классификации, рекомендованной «Руководством по составлению Каталога ледников СССР». Исключение составляют склоновые ледники, широко распространенные на Восточном Памире. Характеристика ледников этого типа была дана в Каталоге ледников бассейна р. Сурхоб.

Измерение длин и площадей ледников производилось дважды и разными исполнителями по специально подготовленной крупномасштабной топографической карте с нанесенными на нее исправленными контурами ледников, дополнительный контроль осуществлялся избыточным числом изме-

рений. Длина ледника измерялась при помощи циркуля с постоянным раствором, равным в зависимости от протяженности объекта 1 или 2 мм. Определялась также наибольшая длина открытой части ледника, т. е. расстояние по его оси от конца языка до верховьев самого длинного из питающих ледник потоков. Одновременно измеряли общую длину ледника с погребенной частью. Границу распространения моренного покрова на поверхности ледника устанавливали при дешифрировании аэрофотоснимков. При определении положения нижней границы ледника, закрытого мореной, дешифрирование производилось по косвенным признакам: боковым трещинам, формам термокарстового рельефа, выходу водотока на конце ледника и др. Длина ледника давалась с точностью до 0,1 км.

Площадь ледников измерялась палеткой с длиной стороны квадрата 1 мм. При этом измерения производились дважды разными исполнителями. Дополнительный контроль осуществлялся избыточным числом измерений. Точность результатов отдельных измерений соответствовала указаниям «Руководства по составлению Каталога ледников СССР».

Полученная как средняя из двух или нескольких равноточных измерений, площадь ледника записывалась с точностью до 1 км<sup>2</sup> в соответствующие графы табл. I. Когда площадь области аблации ледника составляла менее 0,1 км<sup>2</sup>, в графах 15 и 16 табл. I ставился прочерк.

После каждой группы ледников, выделенных по их принадлежности к определенному речному бассейну, в графе 8 табл. I записывалась сумма площадей ледников всей группы. Если в данной группе ледников имелись ледники площадью менее 0,1 км<sup>2</sup>, то их количество и суммарная площадь записывались ниже итоговых данных, вне граф таблицы, и далее приводилась общая сумма площадей всех ледников. Если в выделенной группе ледников имелись ледники, площадь которых определена с пониженней точностью (результат измерений приведен в скобках), итоговая площадь давалась в скобках.

Высотные отметки характерных точек ледников приведены с точностью до 10 м, высота фирмовой линии — с точностью до 50 м. Положение фирмовой линии определялось по аэрофотоснимкам а для тех районов, где производились облеты, оно уточнялось при аэровизуальном обследовании ледников. При этом в графе 14 табл. I указывалась дата аэрофотосъемки. Если данные аэрофотосъемки не позволяли установить положение фирмовой линии на леднике, высота ее определялась лишь на основании наблюдений с воздуха. Тогда в графе 14 табл. I давалось указание на аэровизуальный способ определения фирмовой линии (а-виз.).

Ввиду полного отсутствия данных о толщине ледников, графа 17 табл. I не заполнена.

Непосредственно за табл. I в Каталоге помещены пояснения к ней, где в необходимых случаях представлены дополнительные сведения о ледниках, помещенных в Каталоге. В таким случаях в графе 1 табл. I у номера ледника, к которому имеется пояснение, ставится знак звездочки (\*).

В табл. II помещены сведения о единственной в районе гмст Карапуль и расположенной за пределами района гмст Мургаб, а в табл. III — о четырех осадкомерах. Гидропостов и снегомерных пунктов в районе нет.

Настоящие части Каталога ледников СССР подготовлены и составлены в отделе гляциологии Института географии АН СССР.

В полевых работах, проводившихся с целью каталогизации, принимал участие сотрудник УГМС ТаджССР А. Г. Санников, который участвовал во всех маршрутах воздушного обследования ледни-

ков. Фотографии ледников, приведенные в данном выпуске, сделаны О. В. Рототаевой.

В технической обработке материалов, а также в их оформлении принимали участие лаборанты отдела гляциологии В. А. Гуняев, Л. Н. Таракова и Л. В. Петрова. Авторы выражают им свою благодарность.

## ДЕЛЕНИЕ КАТАЛОГА ЛЕДНИКОВ СССР НА ТОМА, ВЫПУСКИ И ЧАСТИ

Подразделение каталога ледников СССР на тома и выпуски полностью соответствует подразделению на тома и выпуски справочного издания «Ресурсы поверхностных вод СССР» (рис. 1). Как известно, этот справочник состоит из 20 томов, характеризующих вместе всю территорию Советского Союза. В основу разделения справочника на тома положен принцип принадлежности территории к крупным речным бассейнам. Поскольку области современного оледенения находятся не в каждом из двадцати районов — томов издания «Ресурсы поверхностных вод СССР», Каталог ледников СССР

составляется лишь на районы, охватываемые томами 1, 3, 8, 9, 13—17, 19, 20 этого издания.

В связи с неравномерностью распределения оледенения по территории СССР, в пределах выделенных томов и отдельных выпусков предусматривается издание нескольких частей Каталога ледников СССР (см. список). Так, например, том 14 (Средняя Азия), вып. 3 (Амударья), разделен на 18 частей, включая часть 17 — Реки бассейна оз. Каракуль — и часть 18 — Бассейн верховьев р. Маркансу (рис. 2).

## СПИСОК ТОМОВ, ВЫПУСКОВ И ЧАСТЕЙ КАТАЛОГА ЛЕДНИКОВ СССР

### Том 1. КОЛЬСКИЙ ПОЛУОСТРОВ

Часть 1. Хибинские горы (издано в 1966 г.)

### Том 3. СЕВЕРНЫЙ КРАЙ

Часть 1. Земля Франца-Иосифа (издано в 1965 г.)

Часть 2. Новая Земля

Часть 3. Урал (издано в 1966 г.)

### Том 8. СЕВЕРНЫЙ КАВКАЗ

Часть 1. Бассейны рек Белой, Лабы, Урупа (издано в 1967 г.)

Часть 2. Бассейны рек Большого Зеленчука, Малого Зеленчука (издано в 1967 г.)

Часть 3. Бассейн р. Теберды (издано в 1967 г.)

Часть 4. Бассейн верховьев р. Кубани (издано в 1967 г.)

Часть 5. Бассейны рек Малки, Баксана (издано в 1970 г.)

Часть 6. Бассейн р. Чегема (издано в 1973 г.)

Часть 7. Бассейн р. Черека (издано в 1973 г.)

Часть 8. Бассейн р. Уруха

Часть 9. Бассейн р. Ардона

Часть 10. Бассейны рек Фиагдона, Гизельдона

Часть 11. Бассейн верховьев р. Терека

Часть 12. Бассейны правых притоков р. Сунжи

### Том 9. ЗАКАВКАЗЬЕ И ДАГЕСТАН

#### Выпуск 1. Западное Закавказье

Часть 1. Бассейн р. Мзымы

Часть 2. Бассейн р. Бзыби (издано в 1975 г.)

Часть 3. Бассейн р. Келасури (издано в 1975 г.)

Часть 4. Бассейн р. Кодори (издано в 1975 г.)

Часть 5. Бассейн р. Ингури (издано в 1975 г.)

Часть 6. Бассейны рек Хоби, Риони (издано в 1975 г.)

Часть 7. Бассейны левых притоков р. Куры

#### Выпуск 2. Армения

Часть 1. Бассейн р. Аракса

#### Выпуск 3. Дагестан

Часть 1. Бассейн р. Сулака

Часть 2. Бассейн р. Самура

#### Выпуск 4. Восточное Закавказье

Часть 1. Бассейн р. Кусарчая

### Том 13. ЦЕНТРАЛЬНЫЙ И ЮЖНЫЙ КАЗАХСТАН

#### Выпуск 2. Бассейн оз. Балхаш

Часть 1. Бассейны левых притоков р. Или от устья р. Курты до устья р. Тургени (издано в 1967 г.)

Часть 2. Бассейн р. Чилика (издано в 1968 г.)

Часть 3. Бассейны рек Чарына, Текеса (издано в 1969 г.)

Часть 4. Бассейны рек Хоргоса, Усека (издано в 1975 г.)

Часть 5. Бассейн р. Карагата

Часть 6. Бассейны рек Биена, Аксу, Лепсы (издано в 1970 г.)

Часть 7. Бассейны рек Тентека, Ргайты (издано в 1969 г.)

### Том 14. СРЕДНЯЯ АЗИЯ

#### Выпуск 1. Сырдарья

Часть 1. Бассейн р. Пскема (издано в 1968 г.)

Часть 2. Бассейн р. Чаткала (издано в 1970 г.)

Часть 3. Бассейны правых притоков р. Нарына ниже устья р. Кёкемерена

Часть 4. Бассейны правых притоков р. Нарына от устья р. Кёкемерена до устья р. Малого Нарына (издано в 1973 г.)

Часть 5. Бассейны правых и левых притоков верховьев р. Нарына

Часть 6. Бассейн р. Атбashi (издано в 1974 г.)

Часть 7. Бассейны левых притоков р. Нарына от устья р. Атбashi до устья р. Карадары

Часть 8. Бассейн р. Карадары

Часть 9. Бассейны левых притоков р. Сырдарьи от устья р. Карадары до устья р. Аксу (издано в 1974 г.)

Часть 10. Бассейны левых притоков р. Сырдарьи от устья р. Аксу и ниже (издано в 1974 г.)

Часть 11. Бассейн р. Арыси

#### Выпуск 2. Киргизия

Часть 1. Бассейны рек Ассы, Таласа (издано в 1968 г.)

Часть 2. Бассейны левых притоков р. Чу ниже устья р. Ко-морчека (издано в 1973 г.)

Часть 3. Бассейн верховьев р. Чу (издано в 1971 г.)

Часть 4. Бассейны правых притоков р. Чу ниже Боамского ущелья (издано в 1969 г.)

Часть 5. Реки бассейна оз. Иссык-Куль

Часть 6. Бассейн р. Акшийрака (издано в 1970 г.)

Часть 7. Бассейны правых притоков р. Сарыджаза между устьями рек Акшийрака и Куйлю (издано в 1969 г.)

Часть 8. Бассейн верховьев р. Сарыджаза от устья р. Куйлю и выше.

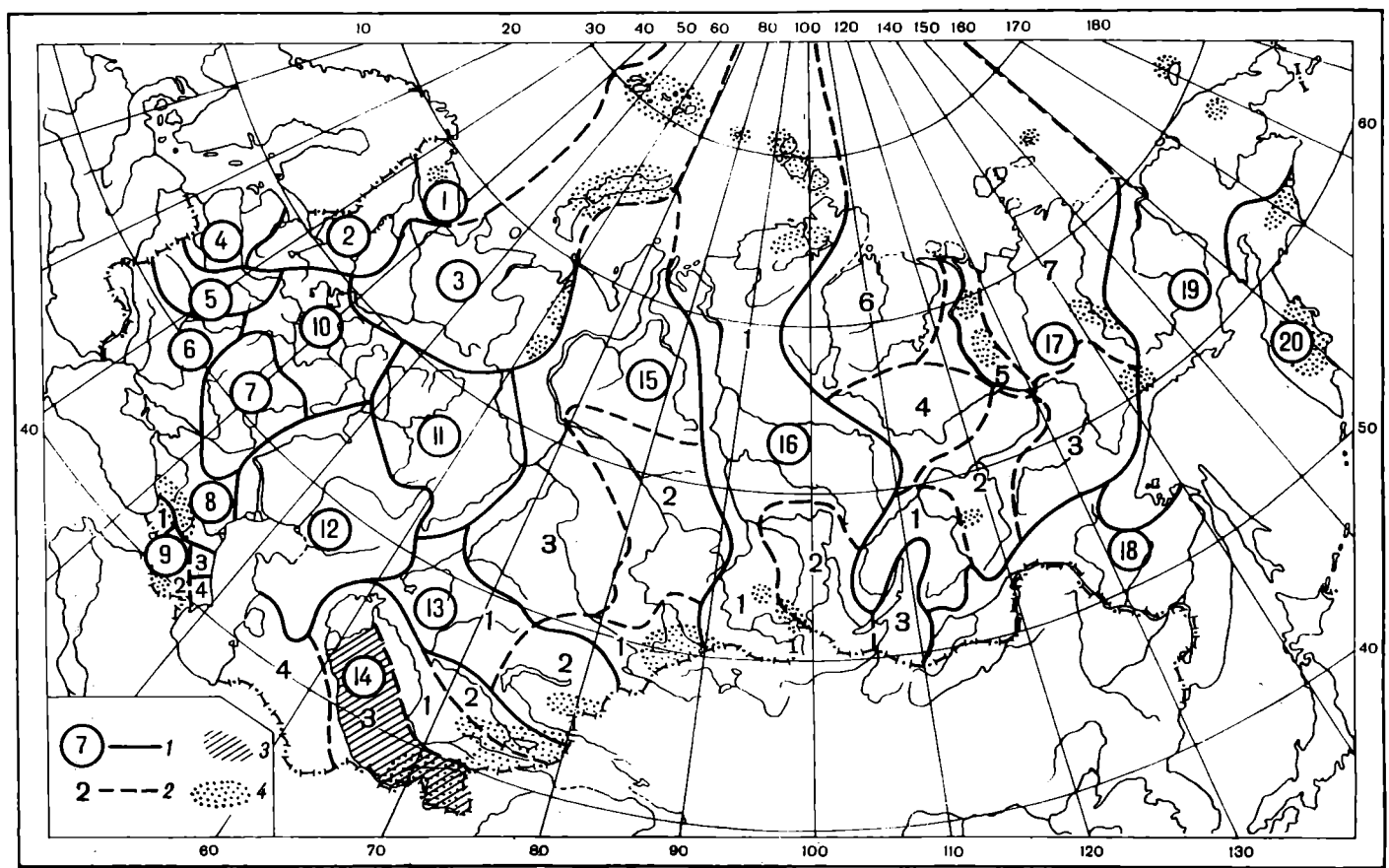


Рис. 1. Схема деления территории СССР на тома и выпуски Каталога ледников.

1 — номера томов и границы отнесенных к ним территорий; 2 — номера выпусков и границы отнесенных к ним территорий; 3 — территории, сведения о которой включены в том 14, вып. 3 — Амударья; 4 — районы современного оледенения.

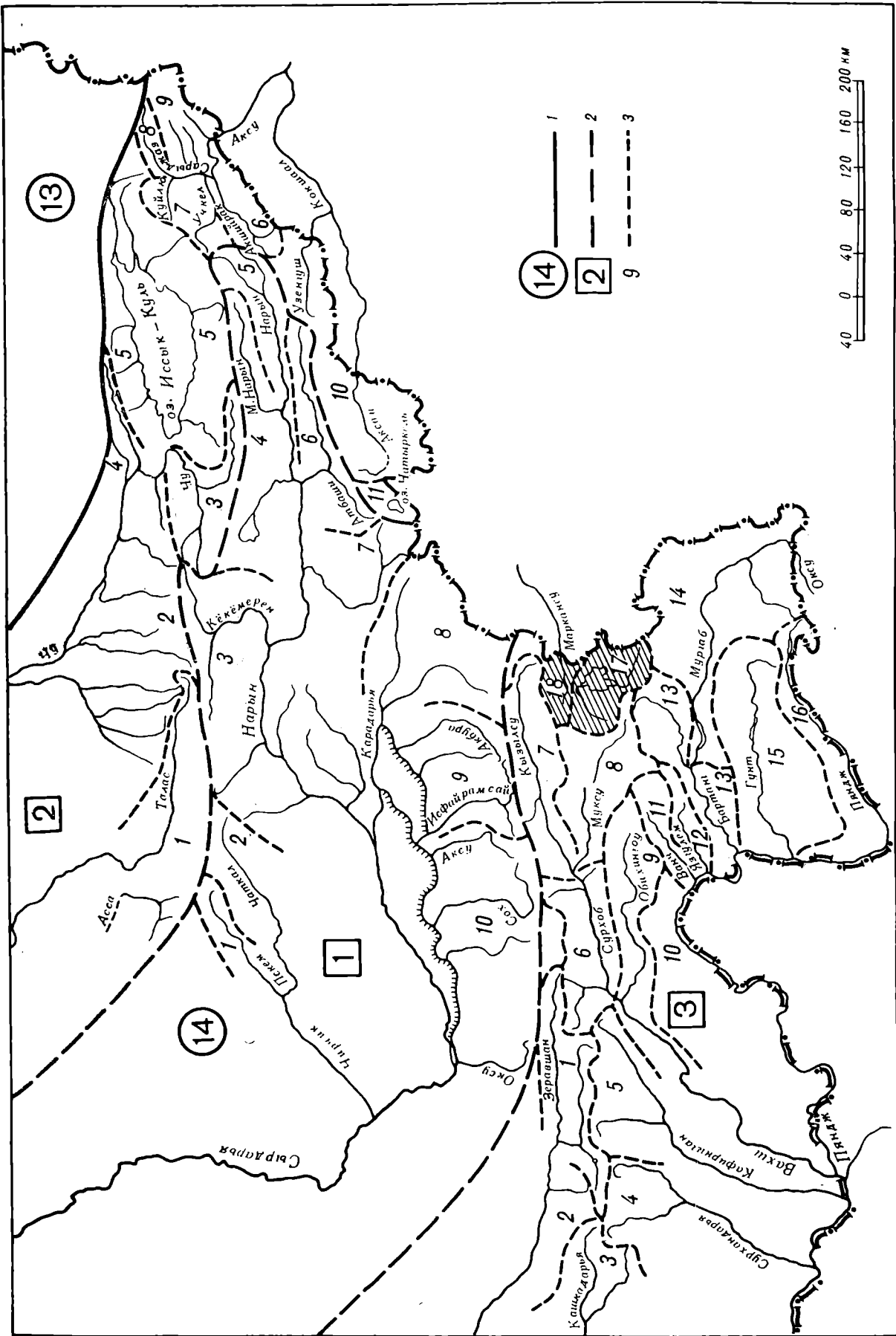


Рис. 2. Схема деления на выпуски и части том 14 — Средняя Азия — Каталога ледников СССР.  
 1 — номера томов и границы отнесенных к ним территорий; 2 — номера выпусков и границы отнесенных к ним территорий, относящиеся к территории, описанной в частях 17, 18 вып. 3 тома 14.  
 3 — номера частей и границы отнесенных к ним территорий (штриховой выделена территория, отнесенная к частям 17, 18 вып. 3 тома 14).

**Часть 9.** Бассейны левых притоков р. Сарыджаза (реки Инычек, Каинды, Каюкан)  
**Часть 10.** Бассейн р. Кокшаала (издано в 1971 г.)  
**Часть 11.** Реки бассейна оз. Чатыркель (издано в 1971 г.)

### Выпуск 3. Амударья

**Часть 1.** Бассейн верховьев р. Зеравшана от устья р. Фандары  
**Часть 2.** Бассейн р. Зеравшана ниже устья р. Фандары  
**Часть 3.** Бассейн р. Кашикдары (издано в 1969 г.)  
**Часть 4.** Бассейн р. Сурхандары (издано в 1969 г.)  
**Часть 5.** Бассейн р. Кафирнигана  
**Часть 6.** Бассейн р. Сурхоба между устьями рек Обихингу и Муксу (издано в 1971 г.)  
**Часть 7.** Бассейн р. Кзылсу  
**Часть 8.** Бассейн р. Муксу (А — система ледника Федченко) (издано в 1968 г.)  
**Часть 9.** Бассейн р. Обихингу  
**Часть 10.** Бассейны правых притоков р. Пянджа от устья р. Вахса до устья р. Ванча  
**Часть 11.** Бассейн р. Ванча  
**Часть 12.** Бассейн р. Язгулема  
**Часть 13.** Бассейн р. Бартанга  
**Часть 14.** Бассейн р. Мургаба  
**Часть 15.** Бассейн р. Гунта  
**Часть 16.** Бассейн верховьев р. Пянджа выше устья р. Гунта  
**Часть 17.** Реки бассейна оз. Каракуль  
**Часть 18.** Бассейн верховьев р. Маркансу

### Том 15. АЛТАЙ И ЗАПАДНАЯ СИБИРЬ

#### Выпуск 1. Горный Алтай и Верхний Иртыш

**Часть 1.** Бассейны левых притоков р. Иртыша (издано в 1969 г.)  
**Часть 2.** Бассейн р. Кабы (издано в 1969 г.)  
**Часть 3.** Бассейны рек Курчума, Бухтармы, Улбы, Убы (издано в 1969 г.)  
**Часть 4.** Бассейн верховьев р. Катуни  
**Часть 5.** Бассейн р. Аргута  
**Часть 6.** Бассейн р. Чуи (издано в 1974 г.)  
**Часть 7.** Бассейн р. Бии  
**Часть 8.** Бассейны рек Кобдо, Карги

### Том 16. АНГАРО-ЕНИСЕЙСКИЙ РАЙОН

#### Выпуск 1. Енисей

**Часть 1.** Северная Земля  
**Часть 2.** Бассейн р. Таймыра (горы Бырранга)

### СПИСОК ПРИНЯТЫХ СОКРАЩЕНИЙ

#### Учреждения и организации

ВГО ИГАН — Всесоюзное географическое общество  
МГГ МОИП — Институт географии Академии наук СССР  
УГМС ТаджССР — Международный геофизический год  
— Московское общество испытателей природы  
— Управление гидрометеорологической службы Таджикской ССР

#### Пункты наблюдений

гмст — гидрометеорологическая станция  
ос — суммарный осадкометр

#### Морфологические типы ледников

асимм. дол. — асимметричный долинный ледник  
вис. — висячий ледник  
вис. дол. — висячий долинный ледник  
дендр. — дендритовый ледник  
дол. — простой долинный ледник

**Часть 3.** Бассейны рек Казыра, Капа (издано в 1973 г.)  
**Часть 4.** Бассейн р. Кемчика (издано в 1973 г.)  
**Часть 5.** Бассейн верховьев р. Енисея выше устья р. Кемчика (издано в 1973 г.)  
**Часть 6.** Горы Путорана  
**Часть 7.** Остров Ушакова

### Выпуск 2. Ангара

**Часть 1.** Бассейн верховьев рек Оки, Уды (издано в 1973 г.)

### Том 17. ЛЕНО-ИНДИГИРСКИЙ РАЙОН

#### Выпуск 2. Средняя Лена

**Часть 1.** Бассейны рек Чары и Витима (хребет Кодар) (издано в 1972 г.)

### Выпуск 3. Алдан

**Часть 1.** Бассейн р. Юдомы

### Выпуск 5. Нижняя Лена

**Часть 1.** Хараулахские горы

**Часть 2.** Хребет Орулган (издано в 1972 г.)

### Выпуск 7. Яна, Индигирка

**Часть 1.** Острова Де-Лонга

**Часть 2.** Бассейн Средней Индигирки (хребет Черского)

**Часть 3.** Бассейны левых притоков р. Индигирки, берущих начало на склонах хребта Сунтар-Хаята

### Том 19. СЕВЕРО-ВОСТОК

**Часть 1.** Остров Врангеля

**Часть 2.** Бассейн р. Анадырь (хребет Пекульней)

**Часть 3.** Бассейн р. Дельку (хребет Сунтар-Хаята)

### Том 20. КАМЧАТКА

**Часть 1.** Корякский хребет

**Часть 2.** Бассейны рек западного побережья Камчатки (издано в 1968 г.)

**Часть 3.** Бассейн р. Камчатки (издано в 1968 г.)

**Часть 4.** Бассейны рек восточного побережья Камчатки (издано в 1968 г.)

#### Способ определения высоты фирновой линии

кар. — каровый ледник  
кар. дол. — карово-долинный ледник  
склон. — склоновый ледник  
сл. дол. — сложный долинный ледник

а.-виз. — на основании аэровизуального осмотра ледников  
АФС — на основании дешифрирования аэрофотоснимков  
наз.-виз. — на основании наземного визуального осмотра ледников

#### Прочие

ин-т — институт  
оз. — озеро  
пер. — перевал  
пр. р. — приток реки  
р. — река  
хр. — хребет  
экспед. — экспедиция

## ХАРАКТЕРИСТИКА ГЕОГРАФИЧЕСКОГО ПОЛОЖЕНИЯ, МОРФОЛОГИИ, КЛИМАТИЧЕСКИХ УСЛОВИЙ И РЕЖИМА ЛЕДНИКОВ

Район оледенения, занимающий бассейны оз. Каракуль и верховьев р. Маркансу, находится в северной части Восточного Памира. Озеро Каракуль расположено в центре замкнутой котловины, поднятой на 4000 м над ур. м. и окруженной со всех сторон горами. Бассейн верховьев р. Маркансу в пределах Советского Союза представляет сухую каменистую долину, открытую на восток, к пустыням Таримской котловины. Протяженность района с севера на юг около 120 км, с запада на восток 80 км. Площадь водосборного бассейна оз. Каракуль составляет 4210 км<sup>2</sup>, р. Маркансу — 890 км<sup>2</sup>.

Границами района служат крупные горные хребты, высотой до 5500—6000 м, одетые снегом и льдом: на севере и на юге — Заалайский и хр. Музкол, на западе и востоке — хр. Зулумарт и Сарыкольский хребет (рис. 3). С трех сторон район граничит с бассейнами рек системы Амудары, а на востоке Сарыкольский хребет отделяет Каракульскую котловину от бассейна р. Тарим.

Географическим центром района является бессточное оз. Каракуль — одно из наиболее высоких озер мира (урез 3914 м abs.), площадью около 380 км<sup>2</sup>. Прибрежные равнины и склоны гор, окружающих котловину, представляют ландшафт безжизненной каменистой высокогорной пустыни. Наиболее крупные реки бассейна — Караджилга, Акджилга и Музкол собирают сток с большей части бассейна оз. Каракуль. С востока в озеро впадает несколько более мелких рек, самая крупная из которых — р. Караарт.

В пределах рассматриваемого района имеется лишь один населенный пункт — пос. Каракуль, расположенный на берегу озера. Близ поселка находится метеостанция. С севера, от пер. Кызыларт, спускается к оз. Каракуль и продолжается далее к югу через пер. Акбайтал. Памирский тракт — единственная на Восточном Памире крупная автомагистраль.

### Орография и распространение ледников

Сарыкольский хребет, окаймляющий котловину озера с востока, представляет пустынную горную цепь с ровным, слаборасчлененным гребнем высотой 5200—5400 м. (рис. 4). Выше 5800 м хребет поднимается на двух участках — на севере (вершины Кокчукур-бashi и пик Красных Командиров) и в верховьях долины р. Караарт. Широкий трог р. Караарт представляет собой единственный широкий разрез в Сарыкольском хребте. Все долины, спускающиеся с Сарыкольского хребта на запад, к оз. Каракуль — открытые, хорошо вырабо-

танные, их склоны относительно невысоки и закрыты плащом элювия, в устьях сохранился рельеф древних морен.

В северной части, до широты долины р. Караарт, хребет вытянут почти меридионально. В верховьях долин, там, где Сарыкольский хребет имеет отходящие к западу отроги, которые создают благоприятные условия для накопления снега на склонах северной экспозиции, находятся довольно крупные долинные ледники площадью по 5—6 км<sup>2</sup>. Верховья таких ледников круто подняты, снег покрывает склоны от самых гребней хребта. Более мелкие ледники Сарыкольского хребта и его отрогов приурочены к верхней части склонов и висят в виде цепочек «флажков» с северной стороны гребней. Ледники здесь имеют чистую поверхность, морена на льду встречается лишь у крупного ледника № 10, 11.

В бассейне р. Сарыташ и на правом склоне долины р. Караарт южнее ледника № 10 участок Сарыкольского хребта почти свободен от ледников, что объясняется орографическими причинами. Короткие открытые не углубленные долины, незначительное расчленение горных склонов не создают благоприятных условий для накопления снега.

Левый борт долины р. Караарт приурочен к широтному отрезку Сарыкольского хребта, поднятым выше 5800 м над ур. м. На этом участке граниты сменяются легко разрушающимися хлоритовыми и эпидотовыми сланцами. Левые притоки р. Караарт глубоко прорезали северный склон хребта, создав ряд глубоких и узких долин, дно которых занято мощными языками долинных ледников. Верховья долин замыкает крутой гребень хребта, сплошь одетый фирмом и льдом, на его склонах располагаются многочисленные мелкие ледники и снежники. Литологические особенности этого участка хребта способствуют активному разрушению его склонов и накоплению моренного материала на ледниках. Языки всех крупных ледников на значительном протяжении закрыты мореной, а ниже их современных концов располагаются поля погребенного льда.

Далее иззубренные скалистые гребни и глубоко врезанные долины вновь сменяются пологим, слабо расчлененным рельефом на следующем к югу участке Сарыкольского хребта. На северном склоне крупного западного отрога главного хребта, высотой 5600—5700 м, в верховьях долин, открытых к северу (Караджилга и Каратеке) и к северо-западу (Большой Чубек и Бузджилга), лежат значительные по размерам долинные и склоновые ледники с широкими областями питания, ориентиро-

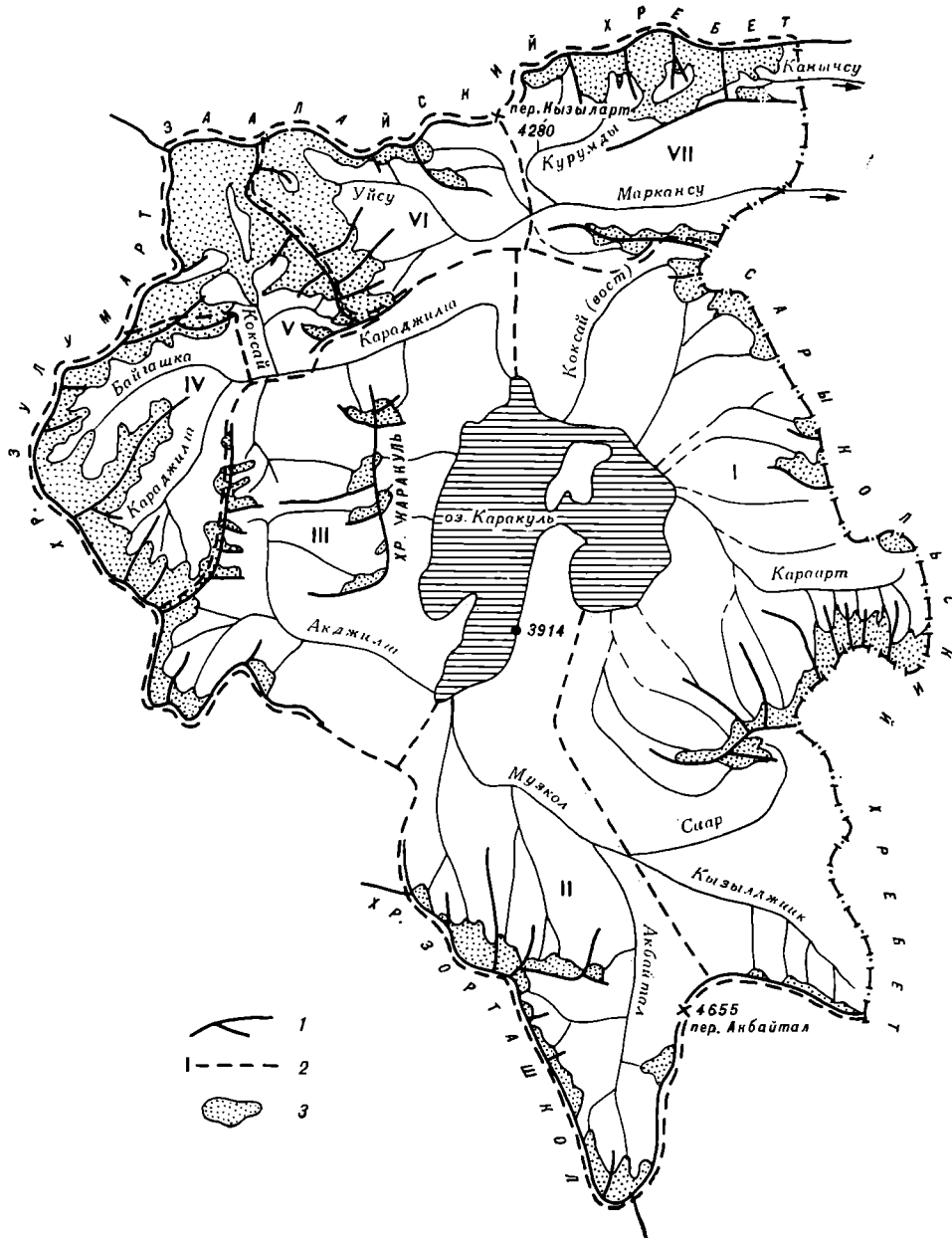


Рис. 3. Орографическая схема бассейнов оз. Каракуль и р. Маркансу.  
1 — главные хребты района и основные отроги, 2 — границы семи крупных районов и их номера, 3 — участки распространения ледников.

ванными на север, чистой поверхностью и резко-очерченными, будто «обрезанными» концами. С юга к этому отрогу примыкает бассейн р. Саар. Верховые долины этой реки образует в плане дугу, а ледники, питающие реку, также имеют северную экспозицию.

Самым южным в районе отрогом Сарыкольского хребта является хр. Кызылджик. Ровный его гребень поднимается до высоты 5000—5200 м (высшая точка 5450 м), относительные перепады высот очень небольшие. Мелкие, короткие ледники располагаются прерывистой цепочкой вдоль гребня северного склона хребта, в верховьях ветвящихся долин левых притоков р. Кызылджик.

Реки Саар и Кызылджик, верховья которых уходят к ледникам Сарыкольского хребта, принадлежат системе р. Музкол — одной из крупнейших водных артерий каракульского бассейна. Разветвленная сеть притоков р. Музкол собирает воды ледников всей южной части бассейна. Далее всего

к югу уходят верховья долины р. Акбайтал — истока р. Музкол. Эта долина направлена меридионально и ограничена двумя северными отрогами массива Музкол — хр. Акбайтал с востока и хр. Зорташкол (сев.) с запада. Южной точкой долины (а также всего района оледенения) служит наиболее высокая вершина в горном обрамлении Акбайтала (5920 м). Ее северные склоны, покрытые фирном и льдом, питают самый крупный в долине р. Музкол ледник Ак-Байтал ( $5,5 \text{ км}^2$ ).

Хребет Зорташкол (сев.) — мощное поднятие, отделяющее каракульскую котловину от бассейна р. Бартанг. Этот хребет, в отличие от Сарыкольского, имеет значительное расчленение, острый гребень, крутые склоны и глубоко врезанные долины. Языки крупных долинных ледников здесь покрыты мореной, ниже их концов нередко встречаются участки мертвого льда с термокарстовым рельефом. Верховья ледников обычно крутоподняты, частично заснеженные с обвалами фирна и лавинами, час-

тично открытые, скалистые — источник поступления на ледник обломочного материала. Здесь, на широтном участке хр. Зорташкол (сев.) находится высшая точка южной части каракульского бассейна — пик Северный Музкол (6132 м).

Крупные долинные ледники образуют сплошной ряд в верховьях долин рек Кокчукур и Муссу — левых притоков р. Музкол. Отроги главного хребта постепенно понижаются к северу и несут на себе многочисленные более мелкие ледники. Небольшие леднички и снежники на скалистых склонах и у гребней хребтов вообще характерны для южного горного обрамления каракульского бассейна; северная экспозиция ледников, как и на востоке бассейна, резко преобладает над остальными.

р. Сарыгун. В верховьях долина р. Акджилги направлена с севера на юг и занимает часть меридионального межгорного понижения, отделенного от озера хр. Каракуль. Севернее р. Акджилги это понижение занято долинами рек Карабачим и Коксай — притоками р. Караджилги, с запада оно ограничено хр. Карабачим.

Хребет Карабачим имеет высоту 5400—5700 м. Его восточный склон прорезан целой серией параллельных друг другу долин — притоков рек Акджилги и Карабачим. Поперечные долины, расчленяющие хребет, имеют в верховьях скалистые склоны, с северной стороны занятые ледниками. В основном здесь распространены склоновые ледники небольших размеров, но нередко они почти сплошь покрывают склоны, обращенные на север, опускаясь

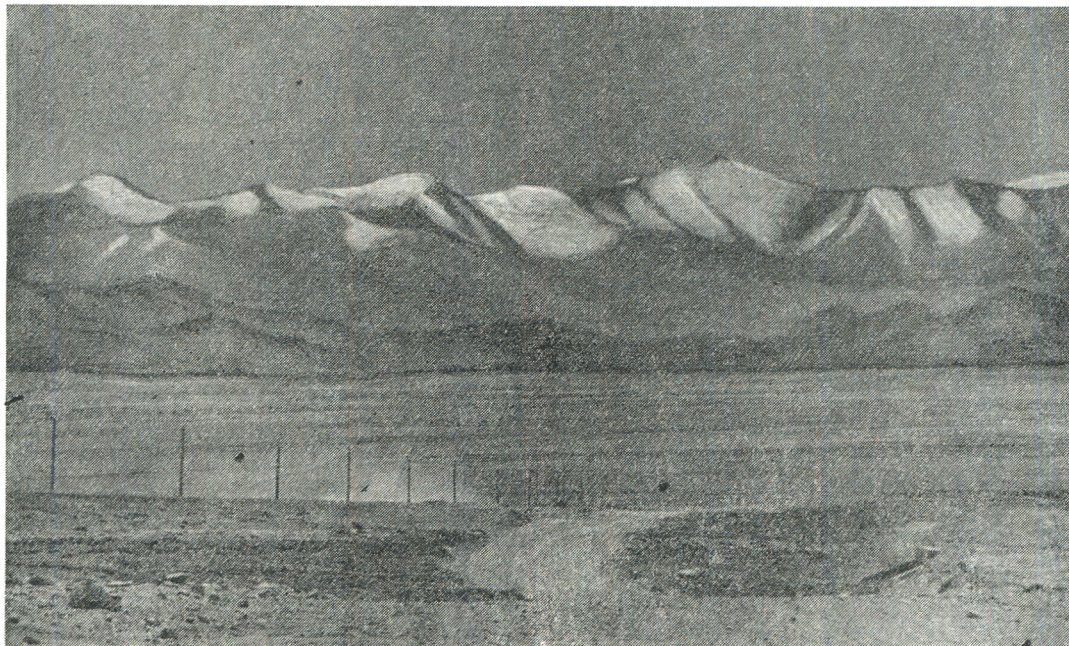


Рис. 4. Характер оледенения Сарыкольского хребта.

В западной части северного склона хр. Зорташкол (сев.) находятся четыре ледника, сток с которых поступает в бассейн р. Кокуйбель (система р. Бартанг). Реки, текущие с этих ледников, поворачивают на запад и спускаются в плоскую долину, направленную меридионально. На дне ее находится водораздельное озеро Куруккуль, лежащее всего на 25 м выше уреза оз. Каракуль. По этой долине осуществлялся древний сток оз. Каракуль на юг, в р. Кокуйбель.

Река Акбайтал — Музкол имеет общее северо-западное направление течения, близ устья она поворачивает на север и широко разливается, разбиваясь на сеть рукавов, блуждающих по озерной равнине. На этом же участке озерной равнины в Каракуль впадает р. Акджилга — также одна из наиболее крупных рек всего района. В устье она, подобно р. Музкол, разбивается на многочисленные протоки, ветвящиеся среди размытых древних морен и частично теряющиеся в песках. Обе эти крупные реки впадают в южный залив оз. Каракуль.

Долина р. Акджилга в нижнем течении — широкий плоскодонный трог, направленный с запада на восток, который образуется после впадения в р. Акджилгу ее крупнейшего правого притока

непрерывным рядом от линии гребня. В тыловых частях долины замыкаются крутыми склонами, изборожденными лавинными лотками. Здесь располагаются каровые или короткие долинные ледники с асимметричным (северным) питанием. В северной части, по направлению к долине р. Караджилга, высота хр. Карабачим понижается. Здесь его поперечные отроги не несут на себе таких сплоченных рядов ледников, как на юге хребта. В верховьях долин, как правило, располагается один ледник или перелетовывающие снежники.

В верховьях р. Сарыгун хр. Карабачим смыкается с южным продолжением хр. Зулумарт. Характер оледенения бассейна р. Сарыгун подобен оледенению карабачимских отрогов. В верховьях этой реки находятся два относительно крупных долинных ледника.

Хребет Каракуль, вытянутый с юга на север, поднимается до 5200—5300 м над ур. м. и, подобно хр. Карабачим, расчленен поперечными долинами, в верховьях которых лежат небольшие ледники. Восточный склон хребта спускается непосредственно к оз. Каракуль. Общее падение склона велико — порядка 50—60° (табл. V/5). Он уходит под уровень озера, не образуя развитой береговой полосы. За-

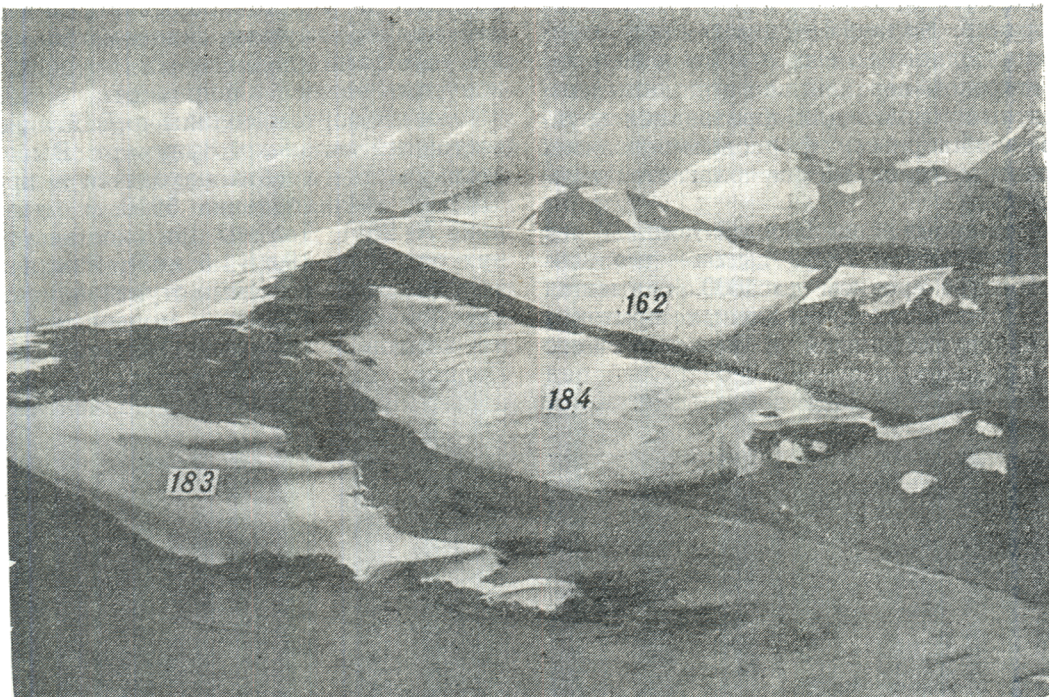


Рис. 5. Характер оледенения хр. Каракуль (ледники № 162, 183, 184).

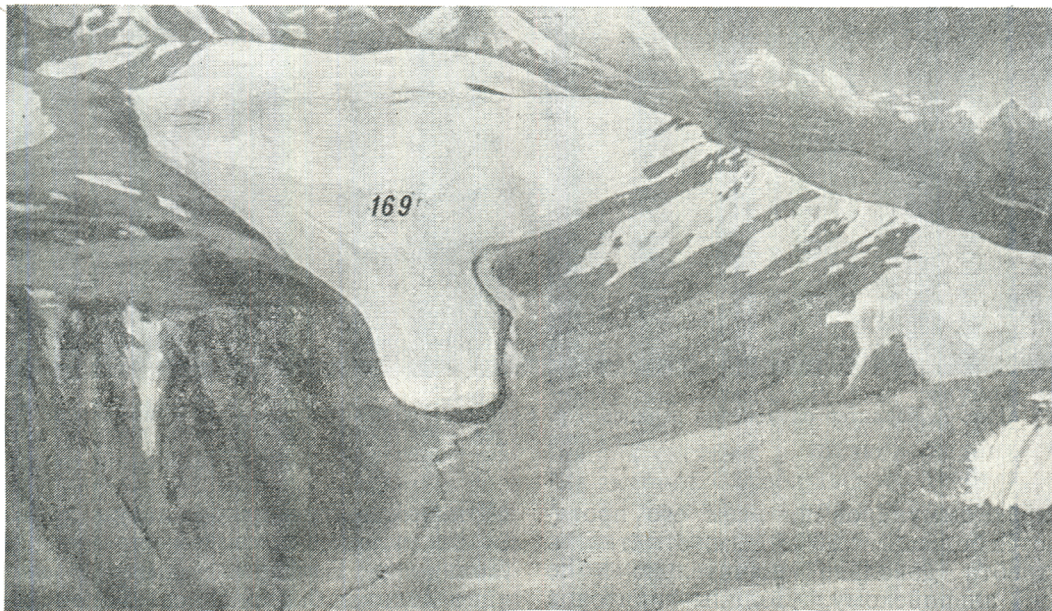


Рис. 6. Долинный ледник № 169, восточный склон хр. Каракуль.

ливы западного берега озера — затопленные устья трогов. Современные ледники на восточном склоне находятся в верховьях двух относительно крупных рек — Безымянной I и Безымянной II.

По характеру рельефа хр. Каракуль является типичным участком Восточного Памира (рис. 5, 6). В отличие от хр. Караким, здесь нет крутых скалистых склонов. Долины открыты, высоко подняты, на всем протяжении слабо врезаны, склоны покрыты плащом делювия. В верховьях долин лежит обычно один широкий ледник окружной или почти квадратной формы. К северу высота хр. Каракуль увеличивается, превышая 5400 м. Здесь оледенение более значительно, чему способствует и характер расчленения хребта — глубокие долины, направленные на север и северо-восток.

С севера в оз. Каракуль впадает р. Караджилга, которая по площади оледенения бассейна и количеству приносимой воды является наиболее мощной артерией, питающей озеро. Долина ее выходит из гор огромным прямым коридором, а выше 4100 м разделяется на три крупные ветви. Истоком р. Караджилга, судя по карте, считается ее южная составляющая, долина которой заключена между хребтами Караким и Коммунаров. В то же время западный и северный ее притоки — реки Байгашка и Коксай — несут на склонах своих долин гораздо более мощное оледенение и, вероятно, сток их весьма велик. Верховья всех трех долин замыкает мощное поднятие заснеженного хр. Зулумарт, который смыкается на севере с Заалайским хребтом. В верховьях р. Караджилги Зулумарт сравнительно не-

высок — порядка 5500 м, т. е. не выше отходящего от него к северу хр. Караким. Однако северо-восточная экспозиция одного из его склонов и сильное разветвление широкой верхней части долины создает благоприятные условия для образования крупных ледников с обширными фирновыми полями. Рядом с большими ледниками располагается множество более мелких.

Хребет Коммунаров, разделяющий долины рек Караджилга и Байгашка, более высок — его вершины поднимаются в среднем до 5600 м, высшая точка 5800 м. Короткие долины левых притоков р. Караджилги, спускающихся с юго-восточного склона хр. Коммунаров, несут на себе целый ряд ледников, занимающих склоны северных румбов.

раздельный участок обрывается на север, к главной долине, крутым склоном, пропиленным узкими ущельями ледниковых потоков, с крупными конусами выноса у подножья.

Левым бортом долины р. Байгашка служит юго-восточный склон хр. Зулумарт. Высоты вершин на этом участке хребта находятся в пределах 5500—5700 м, высшая точка 5910 м (в верховьях ледника № 261). Долины притоков несут ледники средних размеров ( $0,8—1,5 \text{ км}^2$ ). Языки этих ледников не доходят до устьевых ступеней, частично закрыты мореной и окаймлены моренными валами, ниже их концов встречаются участки мертвого льда. Ледники имеют асимметричное питание, склоны над ними северо-восточной ориентации отличаются



Рис. 7. Характер оледенения верховьев р. Байгашка (северный склон хр. Коммунаров) (ледники № 243, 246).

Вершины хр. Коммунаров на всем его протяжении отличаются большими высотными отметками. Расчленение хребта довольно значительно и по типу близко к альпийскому. Долины притоков р. Байгашка сходны по строению с долинами противоположного склона хребта, но отличаются большим развитием оледенения благодаря благоприятной экспозиции. Наиболее крупные долинные ледники по площади превышают  $3 \text{ км}^2$ , языки их занимают целиком днища долин, спускаясь до их устьев. Главный трог р. Байгашка прекрасно разработан древним ледником, а боковые долины имеют четкие устьевые ступени. В верховьях ледников поднимаются крутые скалистые склоны, изборожденные кулуарами и лавинными желобами (рис. 7).

К северо-востоку от высшей точки хр. Коммунаров (вершины 5800 м) верхняя часть склона, обращенного к долине р. Байгашка, — высоко поднятая сеть слаборезанных ветвистых долин, разделенных короткими гребнями, между которыми располагается множество небольших ледников (площадью не более  $0,3 \text{ км}^2$ ). Этот широкий приводо-

активной деятельностью лавин, образующих у подножья склонов сплошной ряд многолетних конусов. Долину р. Байгашки замыкает второй по величине ледник бассейна оз. Каракуль — ледник Володарского.

Самый крупный ледник района и всего Восточного Памира — Октябрьский (рис. 8) расположен в долине р. Коксай — северной составляющей р. Караджилга. Бассейн этого ледника занимает почти целиком долину р. Коксай. С запада долина ограничена участком хр. Зулумарт, высота которого повышается здесь с юга на север более чем на 1000 м (от 5500 до 6700 м). На севере верховья долины примыкают к Заалайскому хребту, белоснежный гребень которого поднят выше 6000 м. Левым бортом долины служит склон высокого безымянного южного отрога Заалайского хребта. В северной своей части отрог поднимается до 6670 м, в средней — до 5800—6000 м и далее быстро снижается по направлению к главной долине р. Караджилга до 5200 м.

Степень оледенения бассейна р. Коксай чрезвычайно велика (50%). Ледники обоих склонов

долин хорошо развиты, с обширными фирновыми бассейнами. Тип оледенения долин сходен с западнопамирским. Лишь на юго-востоке, в бассейне последнего левого притока р. Коксай характер оледенения меняется. Слоны бассейна, обращенные на северо-запад, имеют типичный восточнопамирский ландшафт с неглубокими открытыми долинами, склоны которых закрыты от гребня до тальвега широкими ледниками.

В бассейне р. Маркансу, примыкающем с севера к каракульскому бассейну, находятся два центра оледенения — западный и восточный, приуроченные к наиболее высоким участкам гор.

правых притоков на северном склоне короткого отрога Сарыкольского хребта. Южные ответвления этого отрога также несут на себе многочисленные ледники, питающие ручьи, текущие на запад. В наиболее многоводные годы в течение короткого времени эти ручьи у подножья хребта поворачивают на север и, сливаясь, достигают р. Маркансу.

Таким образом, на всей рассматриваемой территории можно условно выделить семь нижеследующих районов, которые отличаются друг от друга строением рельефа и характером размещения ледников.

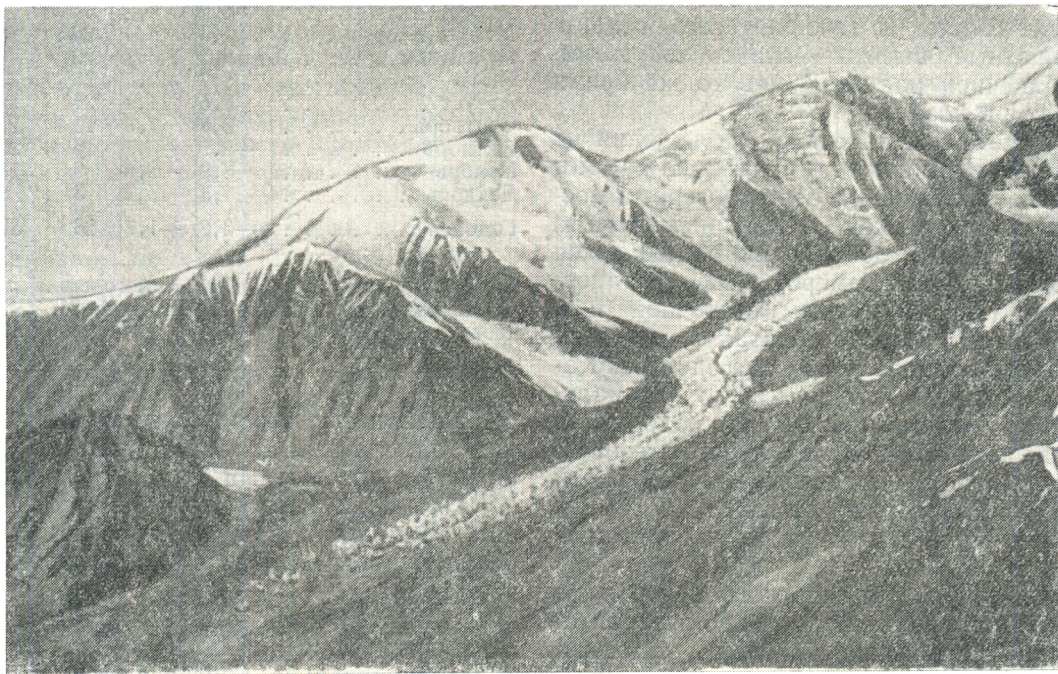


Рис. 8. Ледник Октябрьский (нижняя часть языка и правые притоки).

Верхнее течение главной реки носит название Уйсу, ниже река называется Коксай, и только после слияния с р. Коксай (левым притоком) она получает название Маркансу. Река Уйсу берет начало от огромного сложного долинного ледника того же названия. Северное обрамление долины — Заалайский хребет — понижается с запада на восток до 4280 м у пер. Кызыларт, а затем снова повышается, достигая 6200—6600 м на восточном его отрезке. Здесь, на крайнем северо-востоке советской территории Восточного Памира, находится второй центр оледенения — в истоках р. Курумды, левого притока р. Маркансу. Крупнейшие ледники долины р. Курумды с длинными языками, закрывающими целиком днища своих ущелий, спускаются с южного склона Заалайского хребта. Восточные, наиболее мощные из ледяных потоков, сливаются вместе на дне главной долины и поворачивают на запад, образуя язык ледника Курумды. На востоке бассейн ледника замыкается водораздельным гребнем, отделяющим его от верховий долины р. Канычсу с развитым оледенением. Воды этой реки достигают р. Маркансу на территории Китая.

С юга долину р. Курумды ограничивает сравнительно невысокий хребет, покрытый рядом коротких ледников. За ним располагается главная долина р. Маркансу, вытянутая строго с запада на восток. Небольшие ледники встречаются лишь в верховых

1. Сарыкольский хребет включает в себя бассейны небольших рек, текущих в оз. Каракуль с востока, а также бассейны рек Саар и Кызылдзийик системы р. Музкол, ледники которых лежат на склонах Сарыкольского хребта.

2. Хребет Зорташкол (сев.). Южный участок района, включающий бассейны рек Акбайтал, Кокчукур и Муксу (система р. Музкол).

3. Центральный район с оледенением восточнопамирского типа — хр. Каракуль и восточный склон хр. Караджим.

Ледники этого района питаются р. Акджилга, нижние правые притоки р. Караджилга, а также реки, текущие с хр. Каракуль на восток, в озеро.

4. Верховья р. Караджилга. Западный участок района с крупными ледниками в верховьях долин, включающий бассейны р. Байгашка и верхнего течения р. Караджилга.

5. Долина р. Коксай рассматривается отдельно как крупнейший центр оледенения района, находится в особо благоприятных условиях для существования ледников.

6. Маркансу, западная часть. Участок бассейна р. Маркансу западнее устья р. Курумды.

7. Маркансу, восточная часть. Бассейны рек Курумды, нижнего течения р. Маркансу и верховий р. Канычсу.

Таблица 1

Внутригодовой ход температуры воздуха по данным гмст Кара-Куль и Мургаб

### Климатические условия

Территория Восточного Памира характеризуется резко континентальным субтропическим климатом высокогорий. Решающими климатическими факторами является большая высота нагорья и его южное положение. Широта местности обуславливает высокое стояние солнца в течение всего года, а большие абсолютные высоты — значительную интенсивность солнечной радиации и в то же время низкие температуры воздуха.

Постоянные метеорологические наблюдения на территории обоих бассейнов ведутся только на гмст Кара-Куль, расположенной на берегу озера, в восточной части Каракульской котловины. Высота станции 3930 м. Данные об осадках дополняются показаниями четырех осадкометров. Они установлены на северной (пер. Кызыларт), восточной (пер. Караарт) и южной (пер. Акбайтал) границах района и в северо-западной части бассейна оз. Каракуль у конца ледника Октябрьский. В гляциальной зоне никаких систематических наблюдений за климатом не велось. Ближайшей гидрометеостанцией, расположенной за пределами бассейна, является гмст Мургаб, которая находится на 100 км южнее гмст Кара-Куль и в 40 км от южной границы района.

Температурный режим Памирского нагорья не соответствует его широтному положению и характерен скорее для субарктических районов — холодная зима, с понижением температуры до  $-30$ ,  $-40^{\circ}\text{C}$ , очень прохладное лето, почти полное отсутствие безморозного периода.

Резкая континентальность — основная черта климата района — выражается прежде всего в больших амплитудах колебаний температуры воздуха как в течение года, так и суточных. Разница между средней температурой самого холодного (январь) и самого теплого (июль) месяца на Восточном Памире достигает  $30^{\circ}\text{C}$ , а разница между крайними значениями температур —  $75^{\circ}\text{C}$ . Нередки случаи, когда в течение суток температура воздуха меняется на  $10$ — $15^{\circ}\text{C}$  и более. Материалы первого же года наблюдений на открытой в 1933 г. постоянной станции Кара-Куль показали весьма значительные внутрисуточные температурные контрасты. Так, в феврале между 9 и 13 ч температура менялась от  $-35,0$  до  $-6,2^{\circ}\text{C}$ , повышаясь, таким образом, в течение 4 ч на  $28,8^{\circ}\text{C}$  (табл. V/5).

Необходимо отметить, что положение станции на берегу озера с акваторией около  $370 \text{ km}^2$  накладывает на ход температуры определенное влияние, уменьшая ее амплитуды. При удалении от озера колебания температуры увеличиваются, что хорошо заметно при сравнении данных гмст Кара-Куль и Мургаб (табл. 1).

Значительные амплитуды колебаний температуры характерны и для некоторых других районов Средней Азии, но на Восточном Памире они наблюдаются при очень низком общем температурном фоне. Долголетние наблюдения показывают, что и летом суточные минимумы на гмст Кара-Куль

Месяц	Температура воздуха					
	средняя		абсолютный максимум		абсолютный минимум	
	Кара-Куль	Мургаб	Кара-Куль	Мургаб	Кара-Куль	Мургаб
Январь . . . . .	-18,0	-19,2	1	3	-47	-47
Февраль . . . . .	-14,9	-14,7	3	8	-46	-47
Март . . . . .	-9,3	-7,9	9	13	-41	-37
Апрель . . . . .	-4,2	0,2	14	18	-29	-24
Май . . . . .	1,3	5,4	20	25	-16	-12
Июнь . . . . .	5,2	8,7	22	29	-11	-7
Июль . . . . .	8,7	12,9	28	33	-8	-5
Август . . . . .	8,5	11,9	24	29	-9	-5
Сентябрь . . . . .	3,8	7,3	19	25	-16	-14
Октябрь . . . . .	-2,9	-0,9	16	22	-30	-27
Ноябрь . . . . .	-8,9	-8,6	9	13	-33	-33
Декабрь . . . . .	-14,5	-15,7	3	8	-38	-42
Годовая . . . . .	-3,8	-1,7	28	33	-47	-47

Примечание. Средние многолетние данные взяты из Справочника по климату СССР, вып. 31, ч. II. Л., Гидрометеоиздат, 1965, 1966.

в большинстве своем отрицательны, а в отдельные годы даже в наиболее теплые месяцы (июль—август) абсолютный минимум опускается до  $-10^{\circ}\text{C}$ . Если таково положение на высоте станции, то можно уверенно говорить об отсутствии безморозного периода в гляциальной зоне — выше 4500 м.

В летнее время днища долин и котловин по сравнению с верхними частями склонов хребтов более значительно прогреваются. Так, например, 3/VIII 1971 г. в 13 ч над ровной каменистой площадкой на восточном склоне долины ледника Октябрьский с отметкой высоты 4815 м температура воздуха была равна  $+7,3^{\circ}\text{C}$ , в то время как на гмст Кара-Куль (3930 м)  $+13,6^{\circ}\text{C}$ . Таким образом, градиент составил  $0,73^{\circ}\text{C}$  на 100 м высоты. Близкий к этому градиент был получен при измерении температуры воздуха на леднике Ак-Байтал (на высоте 5200 м). В первой декаде сентября 1971 г. средняя суточная температура воздуха на этом леднике составила  $-8^{\circ}\text{C}$ , а на оз. Каракуль в те же даты она была близка к  $+2^{\circ}\text{C}$ . Таким образом, если принять температурный скачок между скальной поверхностью и льдом равным  $1^{\circ}\text{C}$ , градиент равнялся  $0,72^{\circ}\text{C}$  на 100 м высоты.

В зимнее время благодаря скоплениям холодного воздуха на днищах долин и котловин характерны инверсии температуры.

Средняя многолетняя величина годовой суммы осадков на гмст Кара-Куль составляет 108 мм в год, т. е. значительно меньше даже того количества осадков, которое выпадает в пустынях Средней Азии (табл. 2). Случаются годы, когда осадков выпадает значительно меньше среднего годового показателя. Так, в 1967 г. их выпало 64,9 мм, а в 1963 г. — всего 24,6 мм.

Данные табл. 2 показывают, что максимум осадков на Восточном Памире приходится в среднем на май — июнь. В это время года с юга поступают теплые влажные воздушные массы, а с севера затекают массы холодного воздуха. Летом в течение

Таблица 2

Среднее количество осадков по данным  
гмст Кара-Куль и Мургаб, мм

Станция	I	II	III	IV	V	VI	VII	VIII	IX	X	XI	XII	Год
Кара-Куль	4	4	10	13	18	14	10	9	10	9	3	4	108
Мургаб	6	4	7	9	16	17	10	11	9	3	3	2	97

Примечание. Средние многолетние данные взяты из Справочника по климату СССР, вып. 31, ч. IV. Л., Гидрометеоиздат, 1969.

месяца может выпасть количество осадков, близкое к средней годовой норме. Наименьшее количество осадков приходится на самые холодные месяцы. По всей вероятности, в ледниковой зоне, а тем более в областях питания ледников осадки в течение всего года выпадают в твердом виде. Это подтверждается и непосредственными полевыми наблюдениями.

Хребты, окружающие Каракульскую котловину и долину р. Маркансу, получают значительно большее количество осадков, о чем свидетельствуют данные суммарных осадкомеров (как известно, заниженные). Отсчеты осадков у пер. Кызыларт (табл. 3) производятся два раза в год и дают суммы за периоды ноябрь — май и июнь — октябрь. Сравнение данных осадкомера на пер. Кызыларт с осадками, измеренными на гмст Кара-Куль, показывает что в течение года градиент увеличения осадков с высотой меняется в пределах 18—33 мм на 100 м высоты. Области питания ледников, расположенные на 1000—1500 м выше гмст Кара-Куль, должны получать, таким образом, по самым заниженным данным, не менее 400 мм осадков. Ветровой перенос и концентрация снега в верхних зонах ледников обеспечивают величины аккумуляции до 1000 мм, что было подтверждено непосредственными наблюдениями летом 1970 г. на леднике Краснослободцева (№ 69) на южном склоне Заалайского хребта.

Таблица 3

Количество осадков, выпадающее на разных  
абсолютных высотах, мм

Период	гмст Кара- Куль (3930 м)	пер. Кы- зыларт (4270 м)	Раз- ность	Градиент осадков на 100 м высоты
Ноябрь—май 1967/68 г.	68	156	88	27,8
Июнь—октябрь 1968 г.	30	112	82	25,9
Ноябрь—май 1968/69 г.	66	232	166	52,5
Июнь—октябрь 1969 г.	32	88	56	17,7
Ноябрь—май 1969/70 г.	24	134	120	38,0
Июнь—октябрь 1970 г.	33	67	34	10,7
Ноябрь—май 1970/71 г.	43	140	97	30,7
Июнь—октябрь 1971 г.	23	79	56	17,7
Ноябрь—май 1971/72 г.	67	117	50	15,8
В среднем за 5 лет				
Ноябрь—май	53,6	155,8	102,2	33,0
Июнь—октябрь	29,5	86,5	57,0	18,0

## Основные характеристики оледенения

**Положение фирновой линии.** Положение фирновой линии на ледниках пустынных бассейнов оз. Каракуль и Маркансу характеризуется чрезвычайно высокими отметками. Дело в том, что основ-

ной влагонесущий воздушный поток — западный — теряет большую часть своих запасов влаги над горными цепями Западного Памира. Последним высоким барьером на пути этого потока влаги перед вторжением на территорию района является меридиональный хр. Зулумарт, на склонах которого, вероятно, выпадает наибольшее количество осадков на рассматриваемой территории, а фирновая линия на крупных ледниках, расположенных на восточном, подветренном склоне хребта, опускается ниже 5000 м. Низкое положение фирмовой линии наблюдается также на отдельных участках северной части района, где дополнительное количество осадков приносят переваливающие здесь через хребты воздушные массы северных вторжений. Наиболее низко (до 4700 м) опускается фирмовая линия в бассейне р. Коксай, расположенном на северном склоне Заалайского хребта. На остальной части территории только наиболее высокие хребты улавливают достаточное для образования ледников количество влаги. Причем при движении с запада на восток хорошо заметно повышение фирмовой линии на ледниках. Так, в верховьях р. Караджилги фирмовая линия находится в среднем на высоте 5030 м, в центральном районе — на высоте 5060 м, на Сарыкольском хребте — на высоте 5250 м (табл. 4).

Таблица 4

Положение фирмовой линии на ледниках  
различной экспозиции, м над ур. м.

Экспозиция ледников	Сарыкольский хребет	хр. Зорташкол (сев.)	Центральный район	Верховья р. Караджилга	Бассейн р. Маркансу	
					запад- ная часть	восточ- ная часть
С	5210	5100	5040	5000	4930	5050
СВ	5260	5100	5060	5000	4960	5050
В	5340		5050	5120	5070	5190
ЮВ	5350			5150	5230	5250
Ю	5600			5200	5220	5360
ЮЗ	5400				5410	5170
З	5230		5100		5170	5200
СЗ	5300		5100	4970	5020	4980
Средняя	5250	5100	5060	5030	5170	5110
Максимальная	5600		5250	5200	5500	5500
Минимальная	5000		4950	4850	4900	4700
Разница край- них отметок	600		300	350	600	850
						700

Примечание. 1. Высота фирмовой линии дается как средняя взвешенная (по площади) для ледников различной экспозиции.

2. Сложные долинные ледники расчленены на составляющие их потоки.

В южной части района, на северном склоне хр. Зорташкол (сев.) фирмовая линия, по данным Р. Д. Забирова (табл. V/4), находится на высоте 5100—5200 м. По нашим наблюдениям, на леднике Ак-Байтал фирмовая линия проходит у подножья северной тыловой стены ледника — на высоте 5100 м, а граница питания ледника расположена ниже — приблизительно на 5000 м. На севере района, в долине р. Маркансу, на склонах тех же северных экспозиций фирмовая линия на ледниках находится на высотах 4900—5050 м.

Значительно выше располагается фирмовая линия на ледниках южных экспозиций. На юг обращены главным образом ледники Заалайского хребта

та — долинные, имеющие фирновую линию на высотах 5300—5400 м, и единичные висячие с фирмой линией на высоте 5500 м. На основной части территории района с восточнопамирским типом оледенения ледники южной экспозиции практически не встречаются. На Сарыкольском хребте единичные ледники имеют фирмовую линию на высоте 5600 м.

Как уже подчеркивалось выше, для района чрезвычайно характерно, что области питания на ледниках приурочены к склонам северной экспозиции, несмотря на общую ориентировку ледника, в том числе его верховий. Таким образом, ледники нередко имеют асимметричное питание: фирновая линия располагается у подножья склона северной экспозиции, спускаясь вдоль по леднику. Примером могут служить даже крупные долинные ледники № 45 — одна из ветвей ледника Уйсу (северо-восточной экспозиции), № 296 в бассейне ледника Октябрьский (юго-западной экспозиции), № 254 в верховьях р. Байгашка (восточной экспозиции), № 1 в Сарыкольском хребте (западной экспозиции).

Небольшие ледники на высоких открытых склонах нередко имеют почти сплошную ледяную поверхность. Фирн встречается в верховьях таких ледников в виде отдельных разрозненных пятен, по нижней границе которых можно условно провести фирмовую линию. Такую особенность имеют,

например, ледники № 60—63, 180—184 в бассейне оз. Каракуль, № 96—105 в бассейне р. Курумды.

**Высотное положение ледников.** Вследствие высокого положения фирмовой линии в рассматриваемом районе ледники встречаются в сравнительно узком высотном поясе гор, т. е. там, где хребты поднимаются выше 5000 м. Ниже этого уровня, несмотря на большие абсолютные высоты, развитие оледенения ограничено чрезвычайной сухостью климата.

Наиболее характерные для Восточного Памира небольшие ледники в верховьях открытых долин, на нерасчлененных склонах имеют небольшое вертикальное распространение, языки их не спускаются вниз по долинам. Так, в наиболее типичном районе — Центральном — средний вертикальный диапазон оледенения составляет 480 м, на Сарыкольском хребте — 550 м (табл. 5). Наибольшей величины (более 600 и до 700 м) достигает средний диапазон оледенения в районах, приуроченных к высоким горным хребтам — Заалайскому и Зорташколу (сев.). Здесь ледники берут начало на гребнях высочайших хребтов, а длинные языки их спускаются низко по долинам. Наиболее мощные ледники, концы которых достигают особенно низких отметок (Октябрьский — 4440 м, Уйсу — 4390 м, Курумды — 3380 м), имеют высотный диапазон крайних отметок 2300 м.

Таблица 5

Высотные характеристики ледников, м на ур. м.

Район	Средняя высота конца ледника	Минимальная высота конца ледника	Максимальная высота конца ледника	Средняя высота высшей точки	Минимальная высота высшей точки	Максимальная высота высшей точки	Средний вертикальный диапазон оледенения	Разность высот крайних точек ледников	Положительная разность оледенения	Отрицательная разность оледенения
Сарыкольский хребет	4950	4510	5480	5500	5140	5850	550	1340	250	300
хр. Зорташкол (сев.)	4840	4660	5080	5450	4950	6010	610	1350	350	260
Центральный район	4850	4580	5250	5330	5090	5550	480	970	270	210
Верховья р. Караджилга	4830	4490	5260	5360	4920	5750	530	1260	330	200
Бассейн р. Коксай	4860	4440	5400	5560	5150	6780	700	2340	390	310
Бассейн р. Маркансы										
западная часть	4890	4320	5650	5460	4750	6600	570	2280	350	220
восточная часть	4700	4180	5400	5400	4900	6500	700	2320	200	500
В среднем	4850	4180	5650	5430	4750	6780	580	2600	290	290

Примечание. Сложные долинные ледники расчленены на составляющие их потоки.

Высоты концов ледников в среднем по основным участкам оледенения близки между собой (табл. 5). Относительно больше они на Сарыкольском хребте, где зона оледенения целиком расположена выше всего в районе, относительно меньше в бассейне р. Маркансы (восточной части) за счет низкого общего уровня зоны оледенения на невысоких западных отрогах Сарыкольского хребта и низко спускающихся языков крупных ледников долин рек Курумды и Канычсу. Наиболее развиты и низко опущены языки тех ледников, которые начинаются на самых высоких гребнях хребтов, к тому же относительно более увлажненных.

Положительная разность оледенения максимальна у крупнейших ледников района. В системе ледника Октябрьского ее величина превышает 1500 м, на леднике Уйсу она составляет 1000—1300 м, на леднике Курумды — 1000 м. На отдельных ледниках хр. Зорташкол (сев.) с их крутыми верховьями

положительная разность оледенения достигает также значительных величин — 700—900 м.

Фирновые области имеют незначительное протяжение по вертикали на небольших ледниках, типичных для Восточного Памира. Так, на ледниках Центрального района и Сарыкольского хребта положительная разность оледенения составляет в среднем 250—270 м, а в бассейне р. Коксай и в западной части долины р. Маркансы она характеризуется величиной на 100 м больше.

**Размеры и экспозиция ледников.** Всего в бассейне оз. Каракуль и р. Маркансы находится 425 ледников размерами более 0,1 км<sup>2</sup>. Они занимают площадь 533,6 км<sup>2</sup>. 202 ледника меньших размеров занимают в сумме всего 10,9 км<sup>2</sup> (табл. 6).

Основная площадь оледенения приурочена к западной и северной частям района, к мощным горным поднятиям. Наибольшая доля — свыше 23% общей площади оледенения — приходится на срав-

Размещение ледников на рассматриваемой территории

Таблица 6

Район	Ледники площадью более 0,1 км <sup>2</sup>		Ледники площадью менее 0,1 км <sup>2</sup>		Всего			
	количество	км <sup>2</sup>	количество	км <sup>2</sup>	количество	% общего количества	км <sup>2</sup>	% от общей площади
Сарыкольский хребет	89	86,3	63	3,5	152	24,2	89,8	16,5
хр. Зорташкол (сев.)	37	38,1	27	1,5	64	10,2	39,6	7,3
Центральный район	66	48,8	34	1,8	100	15,9	50,6	9,3
Верховья р. Караджилга	77	78,3	25	1,1	102	16,3	79,4	14,6
Бассейн р. Коксай	41	125,1	24	1,0	65	10,4	126,1	23,1
Всего в бассейне оз. Каракуль	310	376,6	173	8,9	483	77,0	385,5	70,8
Бассейн р. Маркансу								
западная часть	51	82,0	18	1,3	69	11,0	83,3	15,3
восточная часть	64	75,0	11	0,7	75	12,0	75,7	13,9
Всего в бассейне р. Маркансу	115	157,0	29	2,0	144	23,0	159,0	29,2
Итого	425	533,6	202	10,9	627	100	544,5	100

Примечание. Сложные долинные ледники расчленены на составляющие их потоки.

нительно небольшой район — бассейн р. Коксай. Кроме того, 16,5% общей площади занимают ледники Сарыкольского хребта, хотя их число более чем в два раза превышает число ледников бассейна р. Коксая. Оледенение долины р. Маркансу составляет почти треть общей площади ледников всей территории.

Размеры ледников в бассейнах оз. Каракуль и р. Маркансу различны. Однако для всех участков

рассматриваемой территории наблюдается общая закономерность: 60—70% общего количества ледников составляют мелкие ледники (площадью до 0,5 км<sup>2</sup>), а более 80% — ледники размерами менее 1 км<sup>2</sup> (табл. 7). Крупных ледников, площадью более 10 км<sup>2</sup>, в районе всего семь (табл. 8), но, несмотря на малочисленность, они занимают в сумме около 40% общей площади оледенения — 210,3 км<sup>2</sup>.

Таблица 7

Распределение ледников по величине их площади, км<sup>2</sup>

Район	Количество ледников площадью, км <sup>2</sup>						Всего ледников	Максимальная площадь одного ледника, км <sup>2</sup>	Средняя площадь одного ледника, км <sup>2</sup>
	<0,1	0,1—0,5	0,5—1,0	1—5	5—10	>10			
Сарыкольский хребет	63	44	17	17	4	—	145	7,9	0,6
хр. Зорташкол (сев.)	43,5	30,3	11,7	11,7	2,8	—	100	—	—
	27	12	12	11	1	—	63	5,5	0,6
Центральный район	42,9	19,0	19,0	17,5	1,6	—	100	—	—
	34	27	20	17	—	—	98	3,6	0,5
Верховья р. Караджилга	34,7	27,6	20,4	17,3	—	—	100	—	—
	25	33	21	19	—	—	99	18,1	0,8
Бассейн р. Коксай	25,3	33,3	21,2	19,2	1	—	100	—	—
	24	8	9	5	1	2	49	88,2	2,6
Бассейн р. Маркансу	49,0	16,3	18,4	10,2	2,0	4,1	100	—	—
западная часть	18	30	5	8	—	2	63	49,9	1,3
восточная часть	28,6	47,6	7,9	12,7	2	3,2	100	—	—
	11	30	10	9	2	2	64	22,3	1,2
Итого	17,2	46,9	15,6	14,1	3,1	3,1	100	—	—
	202	184	94	86	8	7	581*	88,2	—
	34,8	31,7	16,2	14,8	1,3	1,2	100	—	—

Примечание. \* Сложные долинные ледники не расчленены на составляющие их потоки.

В числителе — количество ледников, в знаменателе — процент общего количества ледников в каждом районе.

Таблица 8

Крупнейшие ледники района

Название или номер ледника	Бассейн реки	Тип ледника	Площадь, км <sup>2</sup>
Октябрьский (№ 275—287)	Коксай (Караджилга)	дендр.	88,2
Уйсу (№ 44—49)	Уйсу (Маркансу)	дендр.	49,9
Курумды (№ 91—96)	Курумды (Маркансу)	сл.дол.	22,3
Володарского (№ 243—245)	Байгашка (Караджилга)	сл.дол.	18,1
№ 88, 89	Курумды (Маркансу)	сл.дол.	10,9
№ 272—273	Коксай (Караджилга)	сл.дол.	10,5
№ 36, 37	Коксай (Маркансу)	сл.дол.	10,4

Средняя площадь одного ледника в бассейнах, имеющих единичные крупные ледники, составляет примерно 1 км<sup>2</sup>, хотя большинство ледников здесь имеет небольшие размеры. Наибольший размер среднего ледника отмечается в районе долины р. Коксай — 2,6 км<sup>2</sup>. В то же время на территории центральной части каракульского бассейна, его восточного и южного обрамления размер среднего ледника примерно одинаков — 0,5—0,6 км<sup>2</sup>.

Что касается длины ледников (табл. 9), то наибольший процент из всех градаций принадлежит ледникам длиной менее 0,1 км (исключая восточную часть бассейна р. Маркансу). Кроме этих, весьма распространены ледники средние по протяженности — от 0,6 до 2,0 км. Они составляют в бассейне р. Маркансу (вост.) 60% общего количества ледников, в центральном районе 50%.

Таблица 9

Соотношение количества ледников различной длины

Район	Количество ледников длиной, км						Всего ледников	Максимальная длина одного ледника, км
	0,1*	0,1—0,5	0,6—1,0	1,1—2,0	2,1—5,0	>5		
Сарыкольский хребет	63	18	25	23	13	3	145	6,2
хр. Зорташкол (сев.)	43,4	12,4	17,2	15,9	9,0	2,1	100	
	27	1	12	13	10	—	63	4,6
Центральный район	42,9	1,6	19,0	20,6	15,9	—	100	
	34	4	24	25	11	—	98	4,0
Верховья р. Караджилга	34,7	4,1	24,5	25,5	11,2	—	100	
	25	9	21	23	20	1	99	9,3
Бассейн р. Коксай	25,3	9,1	21,2	23,2	20,2	1,0	100	
	24	1	7	9	5	3	49	19,0
Бассейн р. Маркансу западная часть	49,0	2,0	14,3	18,4	10,2	6,1	100	
	18	17	15	12	9	2	63	13,8
восточная часть	28,6	11,1	23,8	19,0	14,3	3,2	100	
	11	4	24	14	6	5	64	13,4
Итого	17,1	6,3	37,5	21,9	9,4	7,8	100	
	202	44	128	119	74	14	581**	19,0
	34,8	7,6	22,0	20,5	12,7	2,4	100	

\* В эту графу занесены ледники размером менее 0,1 км<sup>2</sup>.

\*\* Сложные долинные ледники не расчленены на составляющие их потоки.

Примечание. В числителе — количество ледников, в знаменателе — процент общего количества ледников в каждом районе.

Очень характерна экспозиция ледников бассейнов оз. Каракуль и р. Маркансу, территории которых принадлежат, как правило, только одному из склонов окаймляющих их крупных хребтов, несущих ледники. Эти склоны обращены к четырем сторонам горизонта. Так, сюда относится западный склон Сарыкольского хребта, восточный склон хр. Зулумарт, северный склон хр. Зорташкол (сев.) и южный склон Заалайского хребта. Однако, ледники почти на всей территории, не следуя общей экспозиции склонов, имеют преимущественно северную ориентацию (табл. 10). Лишь в восточном районе бассейна р. Маркансу, где основная масса оледенения находится на южном склоне Заалайского хребта, получили преобладание по площади ледники с южной составляющей экспозиции (70%). В бассейне р. Коксая основную часть площади оледенения занимает бассейн ледника Октябрьский, ориентированного на юг. Однако и здесь северным румбам принадлежит почти треть оледенения как по количеству ледников, так и по их площади. Остальные пять районов имеют исключительное преимущество северной экспозиции ледников (рис. 9).

Очень показательно, что в центральном районе, где ледники располагаются на склонах коротких хребтов, ориентированных самым различным образом, 80% ледников, занимающих 87% площади оледенения района, «выбрали» северные румбы. Лишь 13 ледников здесь обращены на восток и запад, а ледники с экспозициями южных направлений вообще отсутствуют. На западном склоне Сарыкольского хребта западной экспози-

ции принадлежит лишь 17,4% площади оледенения, в то время как северным румбам — более 76%. В бассейне р. Музкол на северных склонах находится более 97% площади (и числа) ледников.

**Морфологические типы ледников.** Набор морфологических типов ледников на рассматриваемой территории гораздо беднее, чем в горах Западного Памира.

Во всех семи районах наиболее распространены простые долинные и склоновые ледники, составляющие более 70% общего количества ледников (табл. 11). Все виды долинных ледников (включая крупные сложные ледники) вместе со склоновыми занимают почти 97% всей площади оледенения. Немногим более 3% общей площади остается на долю мелких висячих, каровых и ледников плоских вершин.

Долинные ледники наиболее разнообразны по величине и форме, что тесно связано с различными условиями существования ледников в разных частях рассматриваемой территории.

Сложные долинные (и дендритовые) ледники немногочисленны (на всей территории насчитываются 21 такой ледник), но они занимают более половины площади всего оледенения, всегда приурочены к большим высотам и располагаются, как правило, в кутах крупных долин, где условия рельефа (расширенные, разветвленные верховья — «мешки», улавливающие осадки) способствуют накоплению большого количества снега. Большинство сложных долинных ледников состоят из 2—3 ледниковых потоков. Имеющиеся сверх этого притоки обычно более слабые, второстепенные.

Таблица 10

## Количество и площадь ледников на склонах разной экспозиции

	С	СВ	В	ЮВ	Ю	ЮЗ	З	СЗ	Всего
Сарыкольский хребет									
Количество ледников	32	13	2	2	1	1	11	27	89
% общего количества	36,0	14,6	2,2	2,2	1,1	1,1	12,4	30,4	100
Площадь, км <sup>2</sup>	32,9	7,5	0,7	2,0	0,2	2,8	15,0	25,2	86,3
% общей площади	38,2	8,7	0,8	2,3	0,2	3,2	17,4	29,2	100
хр. Зорташкол (сев.)									
Количество ледников	29	3	1					4	37
% общего количества	78,4	8,1	2,7					10,8	100
Площадь, км <sup>2</sup>	34,0	1,3	1,0					1,8	38,1
% общей площади	89,3	3,4	2,6					4,7	100
Центральный район									
Количество ледников	23	21	11				2	9	66
% общего количества	34,8	31,8	16,7				3,0	13,7	100
Площадь, км <sup>2</sup>	23,1	14,6	5,9				0,3	4,9	48,8
% общей площади	47,4	29,9	12,1				0,6	10,0	100
Верховья р. Караджилга									
Количество ледников	15	19	7	16	2	1		17	77
% общего количества	19,4	24,7	9,1	20,8	2,6	1,3		22,1	100
Площадь, км <sup>2</sup>	19,0	22,5	6,7	10,1	2,4	0,1		17,5	78,3
% общей площади	24,3	28,7	8,6	12,9	3,1	0,1		22,3	100
Бассейн р. Коксай									
Количество ледников	4	5	9	6	4	5	5	3	41
% общего количества	9,8	12,2	21,9	14,6	9,8	12,2	12,2	7,3	100
Площадь, км <sup>2</sup>	2,7	31,1	12,6	12,6	42,2	13,4	6,7	3,8	125,1
% общей площади	2,2	24,9	10,1	10,1	33,6	10,7	5,4	3,0	100
Бассейн р. Маркансу (западная часть)									
Количество ледников	8	15	4	6	10			8	51
% общего количества	15,7	29,4	7,8	11,8	19,6			15,7	100
Площадь, км <sup>2</sup>	4,9	49,0	5,3	16,0	5,1			1,7	82,0
% общей площади	6,0	59,7	6,5	19,5	6,2			2,1	100
Бассейн р. Маркансу (восточная часть)									
Количество ледников	24	4	4	2	12	3	2	13	64
% общего количества	37,5	6,3	6,3	3,1	18,7	4,7	3,1	20,3	100
Площадь, км <sup>2</sup>	14,4	0,7	2,1	0,2	49,2	3,1	0,9	4,4	75,0
% общей площади	19,2	0,9	2,8	0,3	65,6	4,1	1,2	5,9	100
Весь район оледенения									
Количество ледников	135	80	38	32	29	10	20	81	425
% общего количества	31,8	18,8	8,9	7,5	6,8	2,4	4,7	19,1	100
Площадь, км <sup>2</sup>	138,5	126,7	34,3	40,9	91,6	19,4	22,9	59,3	533,6
% общей площади	26,0	23,7	6,4	7,7	17,2	3,6	4,3	11,1	100

Примечание. Сложные долинные ледники расчленены на составляющие их потоки.

Высокие белоснежные склоны Заалайского хребта питают три крупнейших ледника — Октябрьский, Уйсу и Курумды.

Дендритовый ледник Октябрьский (№ 275—287) — первый по величине — входит в число наиболее крупных ледников Средней Азии. Площадь ледника (с притоками) составляет 88,2 км<sup>2</sup>. Основной поток ледника спускается с высот 6600—6800 до 4440 м. Верховья ледника примыкают к наиболее высокой части Заалайского хребта восточнее пика Ленина. Крутой южный склон хребта до самых гребней сплошь покрыт фирмом и снегом. Верховья ледника расширены, область питания состоит из 5—6 широких открытых камер. В центре фирновой области выступает нунатак — скальный гребень, частично бесснежный. Язык ледника на всем своем протяжении разбит в разных направлениях многочисленными трещинами, сильная раздробленность отличает также языки всех боковых притоков (рис. 8, 10, 11).

Боковые морены на леднике начинаются высоко, выше впадения первых основных притоков справа (ледник № 282) и слева (ледник № 283). Срединные морены хорошо выражены, их темные полосы прослеживаются до конца ледника. Морены правых притоков сливаются между собой, образуя общую широкую полосу вдоль правого края ледника. Поверхность льда, свободная от морены, сплошь покрыта характерными столбчатыми формами таяния (рис. 11).

Нижний правый приток ледника — Западный Октябрьский (№ 276) — один из самых больших ледников бассейна оз. Каракуль. Область питания ледника, ориентированная на северо-восток, морфологически нечетко выражена, высоко поднята, цельная и очень ровная. Верховья ледника расширяются по сравнению с языком незначительно и постепенно. Значительных притоков ледник не имеет. Склоны, поднимающиеся над ним, относи-

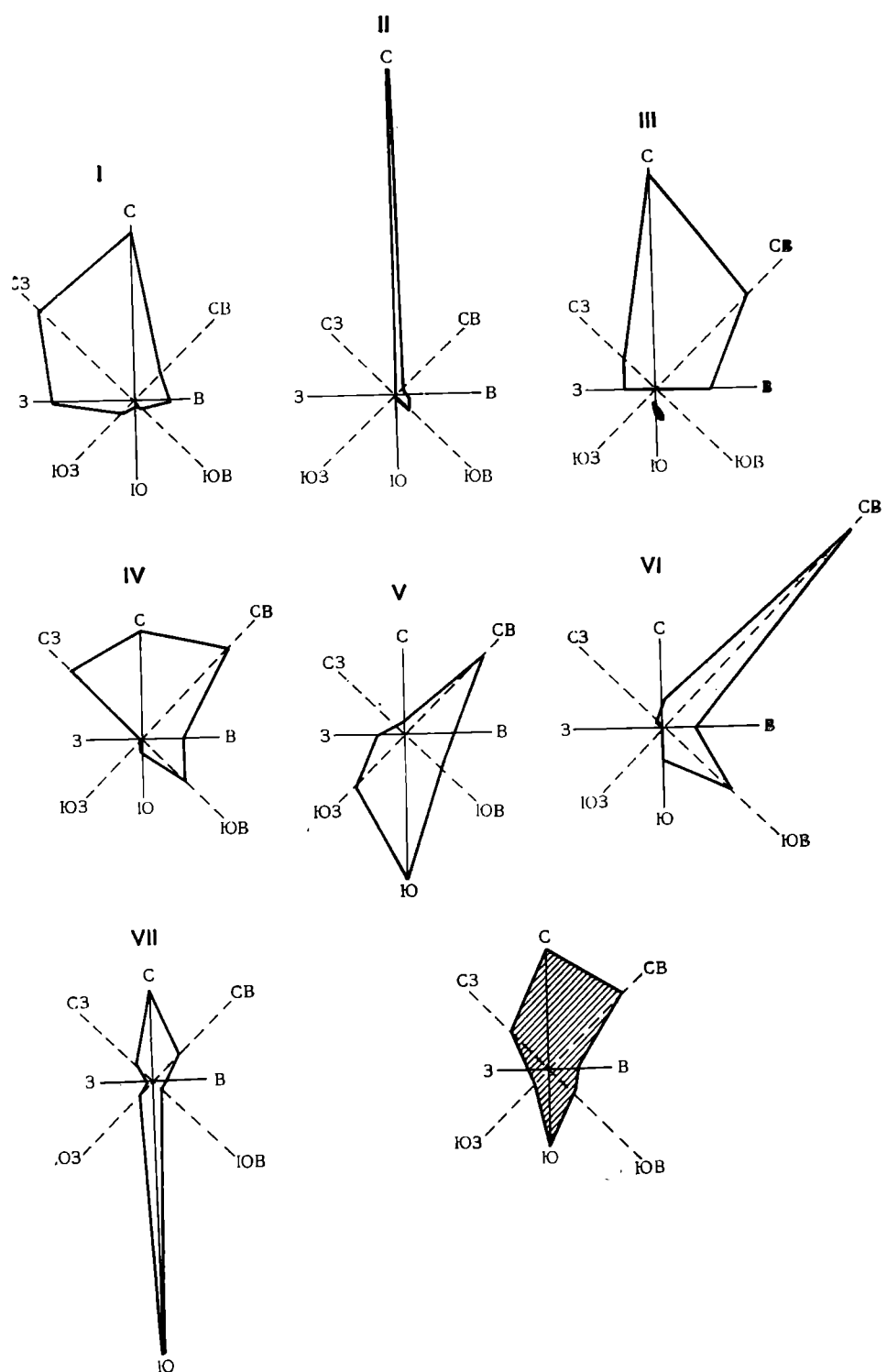


Рис. 9. Распределение площади ледников бассейнов оз. Каракуль и р. Маркансу по экспозициям.

I — Сарыкольский хребет, II — хр. Зорташкол (сев.); III — центральный район; IV — верховья р. Караджилга, V — бассейн р. Коксай, VI — Маркансу, западная часть, VII — Маркансу, восточная часть. Штрихованной обозначено распределение по экспозициям всех ледников района в целом.



Рис. 10 Верховья основного потока ледника Октябрьского (№ 275).

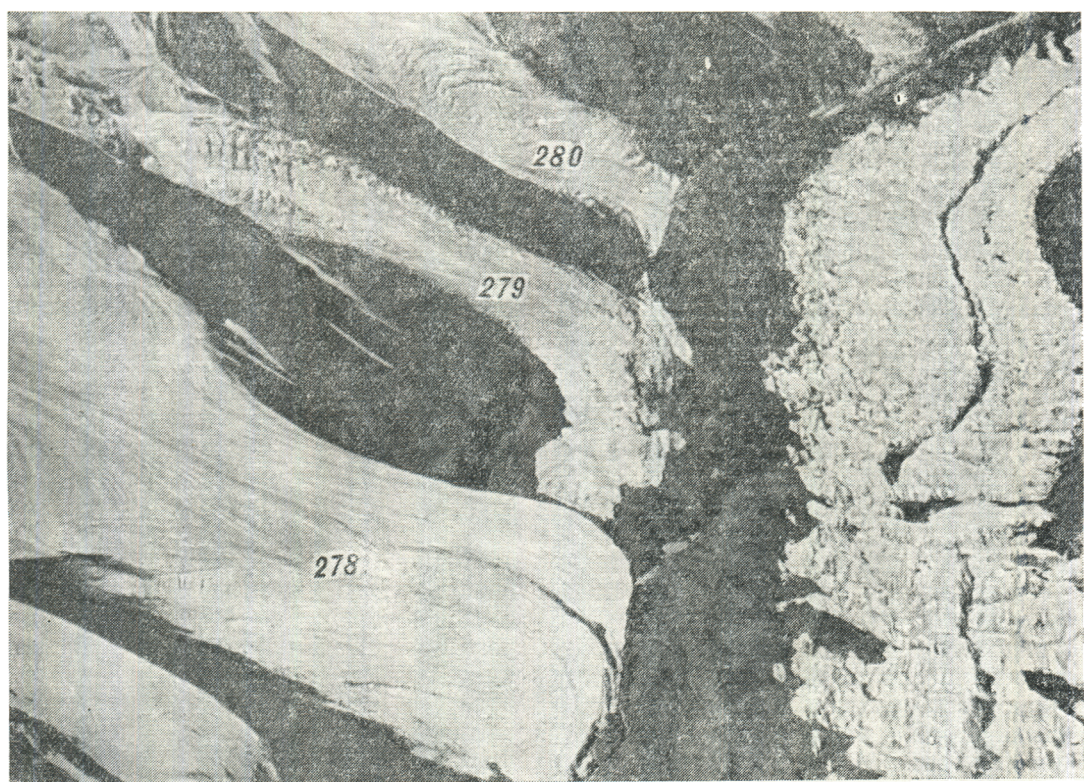


Рис. 11. Поверхность языка ледника Октябрьского (№ 275) в среднем его течении  
у впадения правых притоков (№ 278—280).

Таблица 11

## Количество и площадь ледников различных морфологических типов

	Сарыкольский хребет			хр. Зорташкол (сев.)			Центральный район			Верховья р. Караджилга		
	количество ледников	площадь, км²	% общей площади	количество ледников	площадь, км²	% общей площади	количество ледников	площадь, км²	% общей площади	количество ледников	площадь, км²	% общей площади
Дендритовые												
Сложные долинные	4	25,2	29,2	1	4,0	10,5	1	2,1	4,3	2	21,1	26,9
Простые долинные	33	36,3	42,2	18	26,9	70,7	22	21,5	44,1	30	40,1	51,2
Висячие долинные												
Асимметричные долинные	1	0,8	0,9				6	6,6	13,5	5	6,2	7,9
Карово-долинные							1	0,2	0,4	1	0,8	1,0
Каровые							2	0,9	1,8	8	1,6	2,0
Висячие	3	0,8	0,9	3	1,5	3,9	8	1,1	2,3	18	3,8	4,9
Склоновые	4	20,4	23,6	1	0,2	0,5	24	16,4	33,6	7	3,8	4,9
Плоских вершин.	1	2,8	3,2	13	5,5	14,4						
Итого	82	86,3	100	36	38,1	100	64	48,8	100	74	78,3	100

	Бассейн р. Коксай			Бассейн Маркансу						Всего		
				западная часть			восточная часть					
	количество ледников	площадь, км²	% общей площади	количество ледников	площадь, км²	% общей площади	количество ледников	площадь, км²	% общей площади	количество ледников	площадь, км²	% общей площади
Дендритовые	1	88,2	70,5	1	49,9	60,9				2	138,1	25,9
Сложные долинные	3	22,4	17,9	2	12,0	14,6	6	49,6	66,2	19	136,4	25,6
Простые долинные	5	4,3	3,4	18	11,8	14,4	11	11,7	15,6	137	152,6	28,6
Висячие долинные							1	1,8	2,4	13	15,4	2,9
Асимметричные долинные							1	1,0	1,3	3	2,0	0,4
Карово-долинные										17	4,8	0,9
Каровые										54	10,0	1,9
Висячие	4	0,7	0,6	13	2,4	2,9	7	1,0	1,3	130	70,6	13,1
Склоновые	12	9,5	7,6	7	5,1	6,2	27	9,9	13,2	1	2,8	0,5
Плоских вершин												
Итого	25	125,1	100	45	82,0	100	53	75,0	100	379	533,6	100

Примечание. Сложные долинные ледники не расчленены на составляющие их потоки.

тельно невысоки, северный склон дает небольшое дополнительное питание (рис. 12).

Значительный участок конца ледника № 276, выходящего в главную долину перед слиянием с ледником Октябрьский, в настоящее время закрыт мореной. Основная масса этой морены была отложена при таянии языка вышележащего правого притока — ледника № 277, который, судя по аэрофотосъемке, около 30 лет назад был далеко выдвинут вдоль правого борта основного потока, закрывая место впадения ледника № 276 и оканчиваясь близ конца ледника Октябрьский. Кроме того, открытая часть ледника Западный Октябрьский с тех пор несколько сократилась и сама по себе — «отступила» в глубь ледника.

Следующие выше по течению правые притоки основного потока ледника Октябрьский спускаются с высокого и короткого склона хр. Зулумарт и имеют узкие языки, прижатые к правому борту основным потоком (см. рис. 11).

Слева ледник № 275 получает два крупных притока, верхний из которых — долинный ледник № 283. В тыловой части этого ледника гребень хребта целиком закрыт снегом и фирном. Кроме основного питающего бассейна, язык ледника получает добавочное питание с правого склона, где над

ледником располагается обширное фирновое поле (ледник № 284), от нижнего края которого спускаются языки — притоки ледника № 283. На языке ледника № 283 правая быковая морена появляется высоко, занимает широкую полосу на льду, а после слияния с ледником Октябрьским прослеживается как главная составляющая самой крупной его срединной морены и затем сливается с левой боковой мореной ледника № 283, закрывая его язык сплошным чехлом на протяжении 1 км.

Второй левый приток ледника Октябрьский — сложный долинный ледник № 285—287. Очевидно, в настоящее время ледник дает как приток небольшое количество льда, но, судя по аэрофотосъемке, 25 лет назад он был более значительным. Вдоль левого борта ледника Октябрьский язык этого ледника сейчас не прослеживается, в то время как полоса его льда, судя по снимкам 1946 г., кончалась против устья ледника Западный Октябрьский (рис. 13).

Второй по площади ледник района — дендритовый ледник Уйсу — расположен в верховьях широтной долины р. Коксай — Маркансу. Наиболее мощные ледяные потоки, составляющие ледник Уйсу, — ледники № 44, 45, 47, спускающиеся на восток, северо-восток и юго-восток. Крупные долинные



Рис. 12. Ледник Западный Октябрьский (№ 276) в среднем течении.

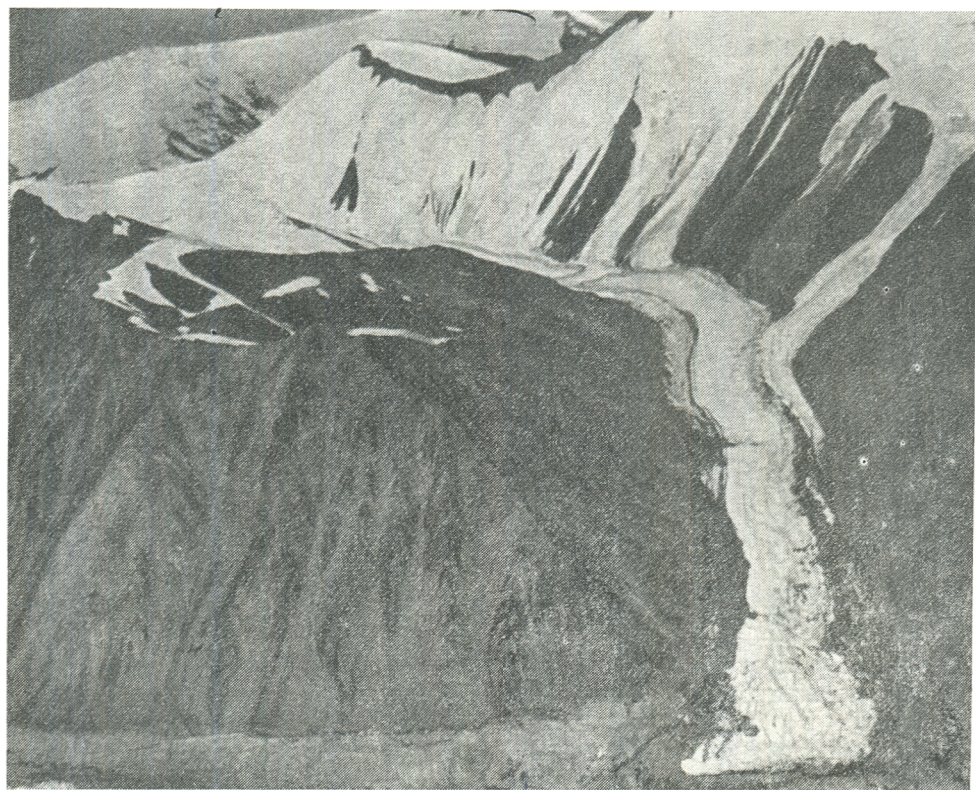


Рис. 13. Левый приток ледника Октябрьского — сложный долинный ледник № 285—287.



Рис. 14. Дендритовый ледник Уйсу.

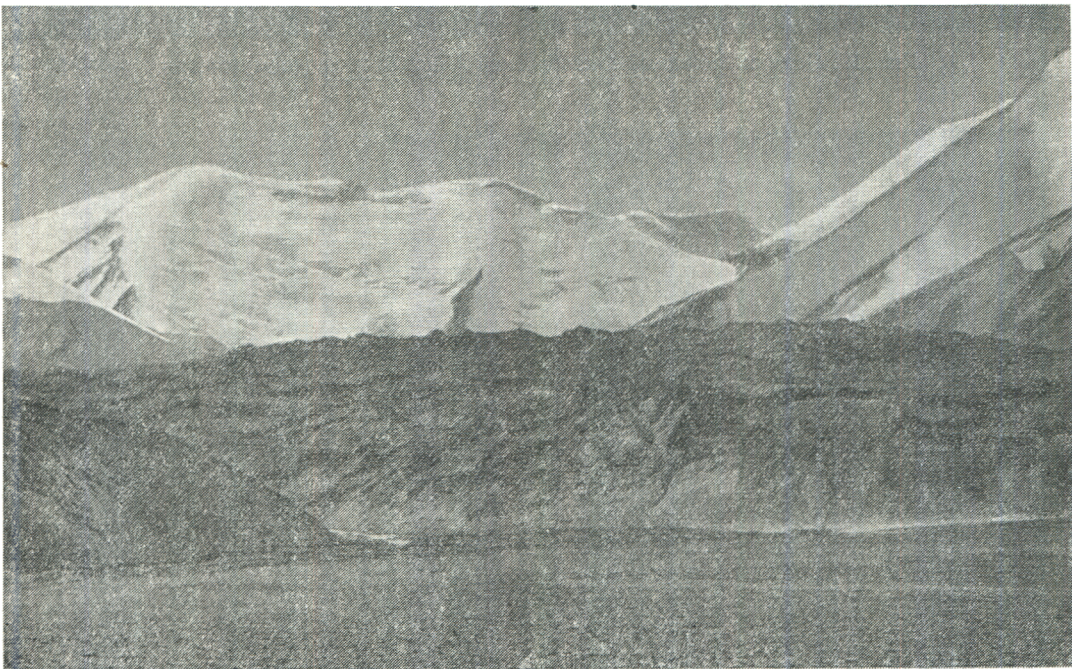


Рис. 15. Конец языка ледника Уйсу.

ледники (истоки ледника Уйсу) образуют на склонах, замыкающих долину р. Коксая, огромный веер, окаймленный шеститысячными гребнями, и соединяются на дне долины в общий язык шириной около 1,5 км, закрытый мореной на большей своей части (рис. 14). Фронт ледника Уйсу в настоящее время ровный, резко очерчен, крут, местами обрывист и покрыт постоянно осыпающейся мореной (рис. 15, 44). Фирновые области составляющих потоков обширны, расположены на крутых склонах Заалайского хребта и его юго-восточного отрога, ледниковые потоки лежат в длинных глубо-

ких долинах, разбиты трещинами и окаймлены моренами.

Сложный долинный ледник Курумды (№ 91—96) — третий по величине ледник района. Основной ствол ледника составляют два крупных потока — ледники № 91 и 93, близкие по размерам, которые спускаются на юг со склона Заалайского хребта. Параллельно им течет крупный правый приток — ледник № 92. Долины ледников узкие и глубокие. Языки, сверху донизу разбитые трещинами, в верхней части представляют ледопады, очень протяженные, захватывающие также и часть фирновых

областей, поверхность которых оказывается местами растресканной до самых бергшрундов. Перепад высот от тылового гребня до выхода ледников в основную долину достигает 2000 м. После слияния ледники № 91 и 93 поворачивают на запад, заполняя собой все днище главной долины от борта до борта.



Рис. 16. Долинный ледник № 201 в верховье р. Караджилга.

Противоположный, левый склон основной долины над ледником Курумды — короткий (500—700 м по вертикали) и покрыт целым рядом ледников,

часть которых достигает дна долины и вливается в ледник Курумды.

Ниже современного конца активной части ледника располагается обширное поле мертвого льда, площадью около 3 км<sup>2</sup>. Сюда спускается конец языка мощного ледника № 88, 89, бывшего прежде притоком ледника Курумды, а в настоящее время отделенного от последнего руслом реки. Поверхность мертвого льда рассечена во всех направлениях ложбинами водотоков, провалами, покрыта бесчисленными мелкими озерками. Основной поток р. Курумды выходит из-под конца поля мертвого льда.

Чрезвычайно распространены в районе простые долинные ледники. На Сарыкольском хребте и в центральной части каракульского бассейна они занимают более 40% площади оледенения, а в районах с более расчлененным и крутосклонным рельефом — большую площадь: в верховьях р. Караджилги более 50%, на северном склоне хр. Зорташкол (сев.) 70% площади (рис. 16). Чаще всего они располагаются в верховьях долин оледенения второго и третьего порядка и имеют области питания, обращенные на север. Северная ориентация бассейнов аккумуляции у долинных ледников настолько постоянное их свойство, что в случае иного общего направления долины ледника это приводит к образованию типичных асимметрично-долинных ледников. Такие ледники распространены в бассейнах р. Акджилга и правых притоков р. Караджилга (рис. 17).

В некоторых случаях снежные обвалы и лавины составляют основное питание ледника. Фирновый бассейн в верховьях ледника в таком случае почти отсутствует, ледник по своей морфологии приближается к туркестанскому типу. Такие ледники встречаются на склонах хр. Зорташкол (сев.), в бассейне р. Караарт, на южном склоне в низовьях р. Байгашки (рис. 18).

Так же многочисленны, как и простые долинные, склоновые ледники. Размеры их невелики. Если

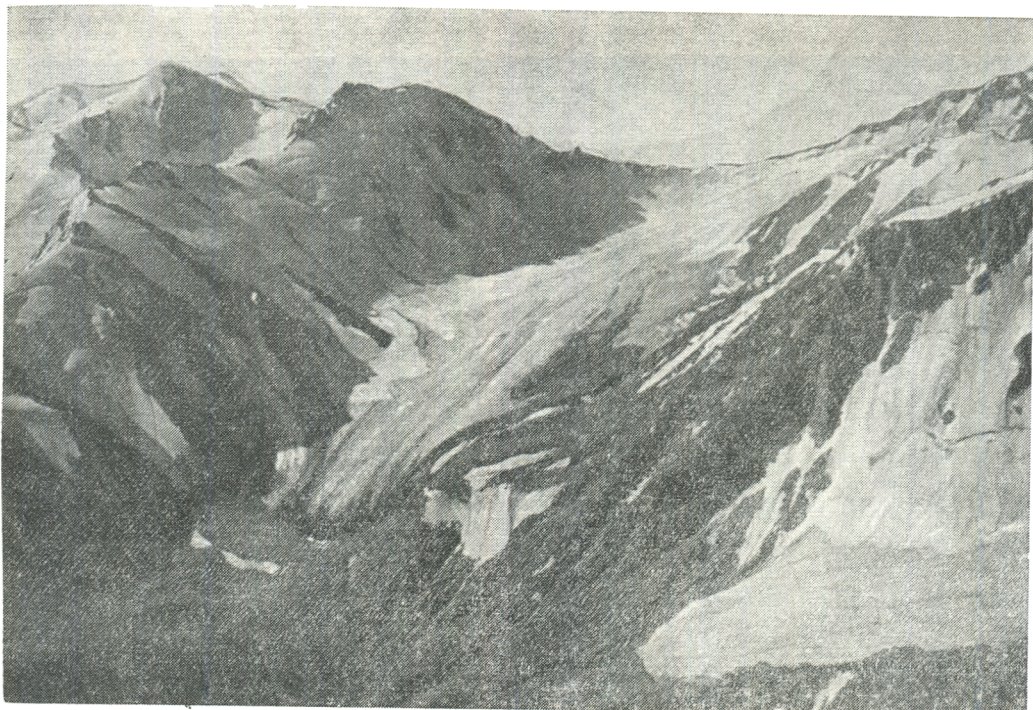


Рис. 17. Асимметричный долинный ледник № 206 (верховья р. Караджилга).



Рис. 18. Долинный ледник № 268 с преимущественно лавинным питанием.

в среднем простой долинный ледник занимает  $1,1 \text{ км}^2$ , то площадь среднего склонового ледника — немногим более  $0,5 \text{ км}^2$ . Однако значение ледников этого типа в ландшафте Восточного Памира чрезвычайно велико. На Сарыкольском хребте, в Центральном районе и в восточной части бассейна р. Маркансу склоновые ледники наиболее многочисленны среди прочих типов ледников. Они характерны для среднегорного восточнопамирского рельефа со сравнительно ровными водораздельными гребнями и неглубокими широкими долинами. Короткие склоновые ледники имеют вид пятен квадратной или неправильной формы. Нередко они покрывают склоны неглубоких долин целиком, спускаясь от гребня до тальвега, имеют небольшие уклоны поверхности по сравнению с висячими ледниками. Иногда они располагаются сплошным рядом на всем северном склоне коротких долин широтного направления (например, в бассейнах правых при-

токов р. Акджилги). На Сарыкольском хребте, в верховьях долины р. Бузджилга склоновый ледник № 58 (крупнейший на территории этого района) занимает весь ровный тыловой склон долины и имеет в ширину протяженность 4 км при средней длине 1 км.

Склоновые ледники лишены морены, имеют чистую поверхность и четкий край языка. Широкий край их часто дает начало нескольким ледниковым речкам, которые ниже, на дне долины, сливаются в единый поток (рис. 19, 20).

Висячие ледники располагаются в верхних частях крутых скалистых склонов. Они обычно сопровождают крупные сложные долинные ледники, находятся на очень больших высотах и состоят почти целиком из фирна. Многие висячие ледники питаются снегом, перенесенным воздушными потоками через понижения в гребнях хребтов.

Каровые ледники в районе редки. Настоящие кары вообще не типичны для гор Восточного Памира. Приближаются к ним по форме вогнутые вместилища отдельных небольших ледников, расположенных на крутых склонах скалистых хребтов — Зорташкол (сев.) и Коммунаров.

Наконец, в районе имеется один ледник плоской вершины (№ 3), (рис. 21), довольно значительный по площади —  $2,8 \text{ км}^2$ . Он находится в северной части Сарыкольского хребта, покрывает куполообразную вершину Кокчукурбashi (5812 м) и поднят выше всех ледников хребта. Из долины оз. Каракуль плоская шапка Кокчукурбashi хорошо видна даже с дальнего конца озера. От края шапки сползают к югу и западу короткие висячие языки, на севере она смыкается с фирновым бассейном большого долинного ледника верховий р. Коксай (вост.).

**Морена на ледниках.** На ледниках Восточного Памира морена чрезвычайно мало распространена — всего 3,3% общей площади ледников рассматриваемого района находится под моренным чехлом (табл. 12). Склоновые, висячие, ледники плоских вершин — наиболее специфичные ледники Восточного Памира — имеют исключительно чи-

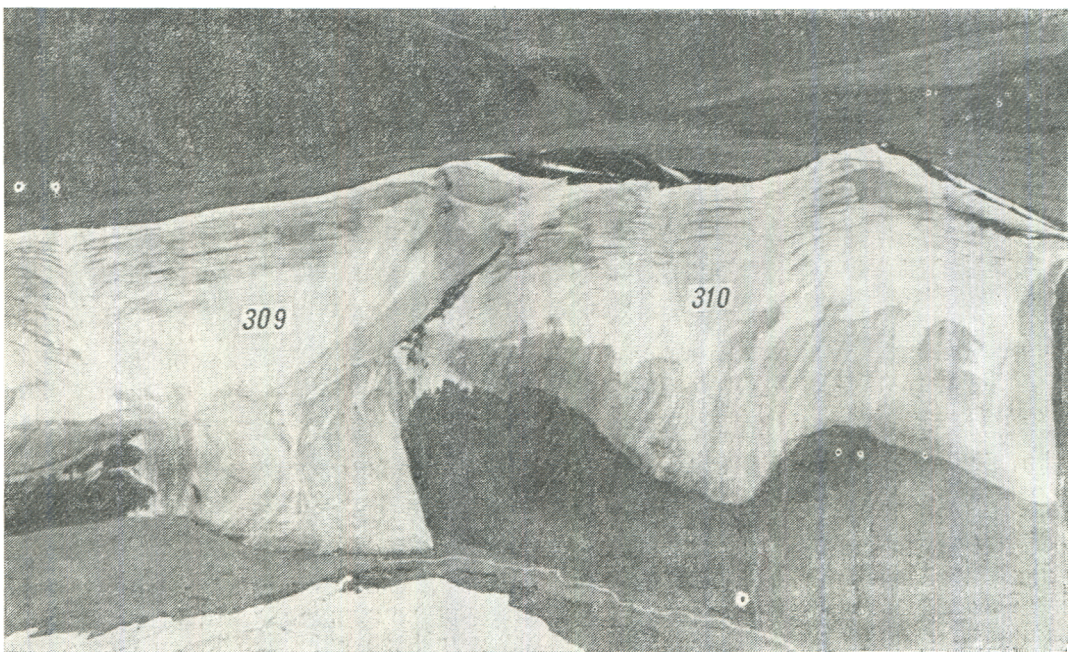


Рис. 19. Склоновые ледники № 309, 310 в бассейне р. Коксай.

## Морена на ледниках бассейнов оз. Каракуль и р. Маркансу

Район	Площадь оледенения, км <sup>2</sup>	Площадь льда, закрытого мореной		Количество ледников с закрытым мореной концом	Высота конца погребенной части ледника, м			Высота верхней границы погребенной части ледника, м		
		км <sup>2</sup>	%		средняя	минимальная	максимальная	средняя	минимальная	максимальная
Сарыкольский хребет	89,8	1,8	2,0	8	4760	4510	4900	4830	4640	4920
хр. Зорташкол (сев.)	39,6	2,1	5,3	10	4760	4660	4970	4840	4700	4990
Центральный район	50,6	0,2	0,4	1	4920	—	—	4980	—	—
Верховья р. Караджилга	79,4	1,1	1,4	6	4670	4500	4870	4710	4550	4880
Бассейн р. Коксай	126,1	5,8	4,6	16	4630	4440	4820	4680	4470	4890
Бассейн р. Маркансу	83,3	4,9	5,9	7	4510	4380	4730	4710	4600	4840
западная часть	75,7	2,0	2,6	12	4440	4180	4680	4550	4400	4880
восточная часть	544,5	17,9	3,3	60	4630	4180	4970	4710	4400	4990
Всего										

Примечание. Сложные долинные ледники расчленены на составляющие их потоки.



Рис. 20. Склоновые ледники № 218, 219 на левом склоне бассейна р. Караджилга.

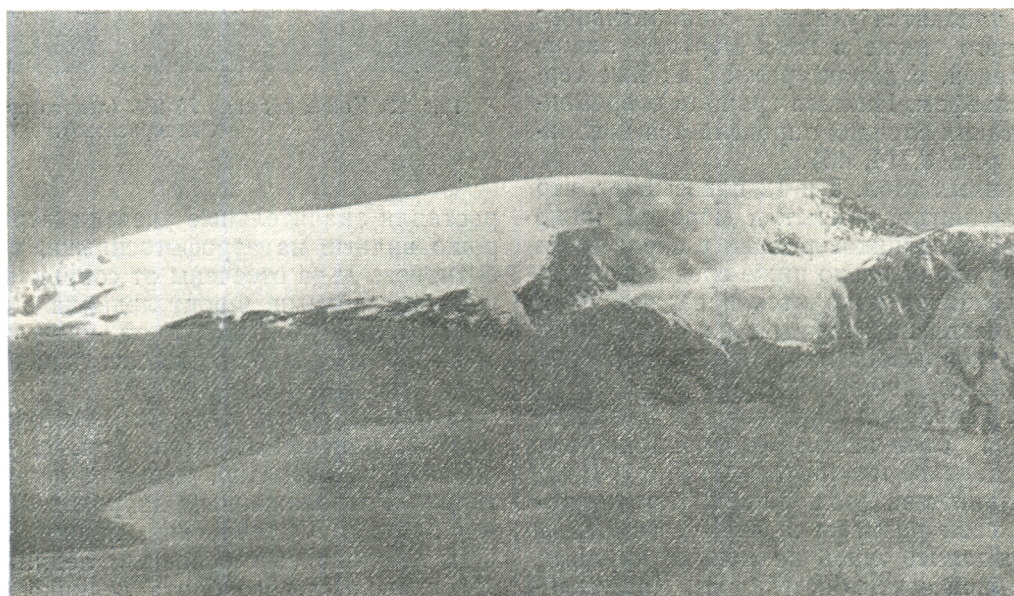


Рис. 21. Ледник плоской вершины (№ 3).

стую поверхность. Большинство долинных ледников также имеют чистую поверхность. Среди них моренные валы встречаются на узких языках в глубоких ущельях — на ледниках, приближающихся к туркестанскому типу, в районах с интенсивно разрушающимися горными породами в ледниковых бассейнах (хр. Зорташкол, р. Караарт).

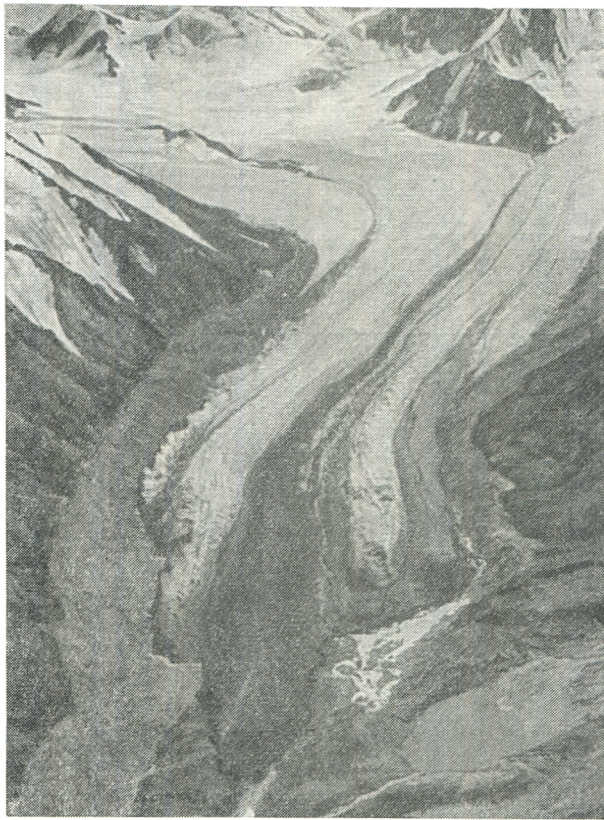


Рис. 22. Язык ледника Володарского (№ 243—245). Справа — озеро у конца ледника № 54.

Мощным развитием моренного чехла отличаются лишь языки крупнейших ледниковых районов — Октябрьского, Уйсу, Курумды. Для них характерны широкие валы боковых и срединных морен, а обширные моренные поля закрывают концы этих ледников. На концах языков ледников Октябрьского и Курумды находятся участки малоактивного льда, переходящего ниже в поля мертвых льдов, заваленных мореной, с характерным для них термокарстовым рельефом. Нижняя граница современного ледника в таких случаях определяется довольно условно (см. рис. 8, 14, 45).

Сравнение данных табл. 5 и 12 показывает, что высота концов ледников, закрытых мореной, ниже высоты концов всех ледников района в среднем на 220 м. Более того, значительно ниже средней отметки конца всех ледников находится и верхняя граница моренного чехла на закрытых языках. Таким образом, морена покрывает лишь языки наиболее низко спускающихся ледников.

**Современные колебания ледников.** Ледники Восточного Памира отличаются стационарностью. Как показало сравнение материалов 1946 и 1971 гг., большинство ледников за прошедшие 25 лет полностью сохранили свои размеры и форму. Заметные изменения наблюдались лишь на концах крупных ледников в западной части бассейна оз. Каракуль. Так, значительно сократился язык ледника Воло-

дарского (№ 243—245). Центральная, узкая часть его языка, закрытая срединной мореной, более стабильна по сравнению с краевыми частями, так что разные участки конца ледника отступили неодинаково (на 100—200 м). Часть бывшей открытой поверхности ледника по мере ставивания закрылась мореной (рис. 22).

Сократился также язык крупного долинного ледника № 254, который оканчивается близ конца ледника Володарского. Край льда отступил здесь на 100—150 мм, открытая часть льда — не менее чем на 500 м. У современного конца ледника образовалось озеро, берега которого частично сложены льдом (см. рис. 22).

Произошли заметные изменения и в бассейне ледника Октябрьского. Конец основного потока неровный, разрезанный руслами водотоков и заваленный мореной, за 25 лет еще более разрушился,



Рис. 23. Конец ледника № 285 (левого притока ледника Октябрьского).

растаяли значительные участки мертвого льда, хорошо видные на аэрофотоснимке, участки прежде активного льда отсечены от современного тела ледника водотоками. Фронт ледника в разных его частях отодвинулся вверх от прошлых границ на 100—150 м, резко поднялась граница открытого льда (см. рис. 45).

Правый поток ледника Октябрьский — ледник № 277, описанный выше (см. с. 24), незадолго до 1946 г., вероятно, испытал значительную подвижку. Расположенный напротив него левый приток ледника Октябрьский, ледник № 285—287, в 1946 г., слившись с основным ледником, прослеживался вдоль левого борта ледника Октябрьский в виде четкого потока с полосой чистого льда на по-

верхности почты до его конца. В настоящее время языки правого (ледник № 286) и левого (ледник № 287) составляющих потоков, сравнительно менее мощные, на большом протяжении выше места впадения в ледник Октябрьский «закрылись» мореной. Центральный поток (ледник № 285) практически исчез как «сопровождающий» ледник Октябрьский и сейчас кончается, упираясь в левый край последнего. В этом месте конец ледника вздут, сильно растрескан и изогнут дугой (рис. 23), что говорит о его современной активности. Здесь из-под ледника вытекает водный поток, который течет затем вдоль левого края ледника Октябрьский. Таким образом, можно предполагать, что конец ледника

№ 285—287 за 25 лет заметно сократился, а в недавнее время снова активизировался.

Конец сложного долинного ледника № 294—296 в соседней с только что описанным ледником боковой долине сократился в длину за то же время не менее чем на 100 м и значительно видоизменился. Сильно отступила открытая часть льда на всех трех составляющих его потоках, растаяли мертвые льды в долине ниже конца ледника. Конец языка, прежде терявшийся под мореной, теперь четко обозначен.

Ледники восточной части территории, к сожалению, не обследовались с воздуха, и судить об изменении их концов невозможно.

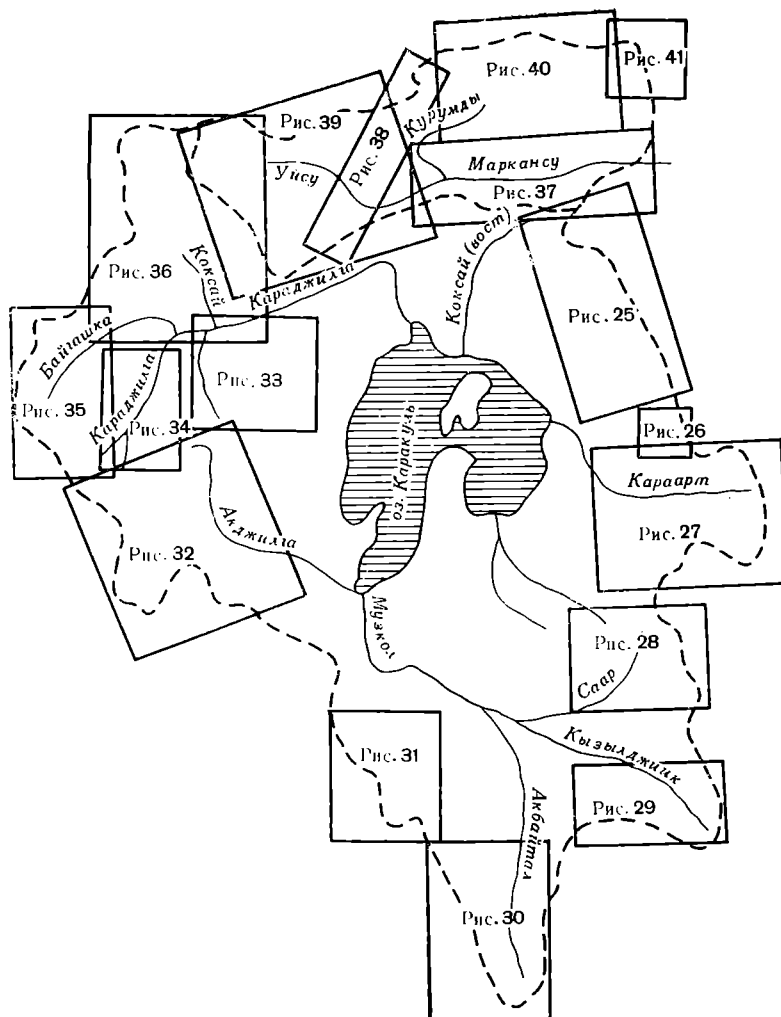


Рис. 24. Общая схема расположения бассейнов, в пределах которых размещаются ледники, показанные на рис. 25—41.

Бассейн оз. Каракуль: рис. 25 — ледники № 1—16; рис. 26 — ледники № 17, 18; рис. 27 — ледники № 19—51; рис. 28 — ледники № 52—76; рис. 29 — ледники № 77—89; рис. 30 — ледники № 90—114; рис. 31 — ледники № 115—126; рис. 32 — ледники № 127—168; рис. 33 — ледники № 169—192; рис. 34 — ледники № 193—229; рис. 35 — ледники № 230—269; рис. 36 — ледники № 270—310. Бассейн р. Маркансу: рис. 37 — ледники № 1—23; рис. 38 — ледники № 24—31, 70—74; рис. 39 — ледники № 32—69; рис. 40 — ледники № 75—105; рис. 41 — ледники № 106—115.

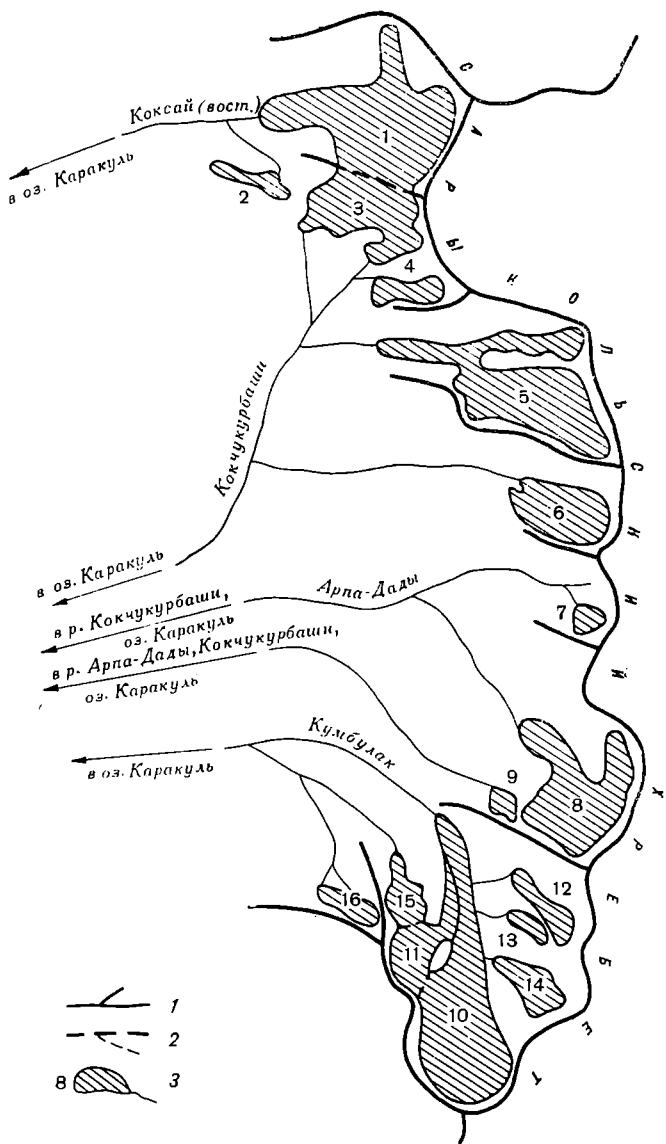


Рис. 25. Схема расположения ледников на северном участке Сарыкольского хребта.  
1 — водораздел, 2 — ледораздел, 3 — ледник и его номер по табл. I.

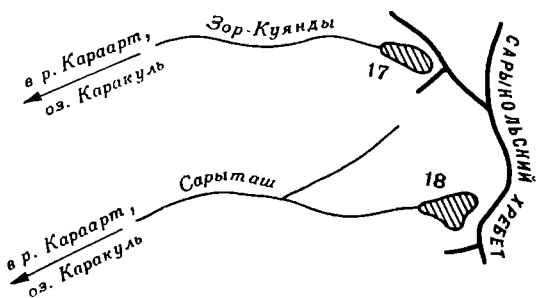


Рис. 26. Схема расположения ледников № 17, 18.

Усл. обозначения см. на рис. 25.

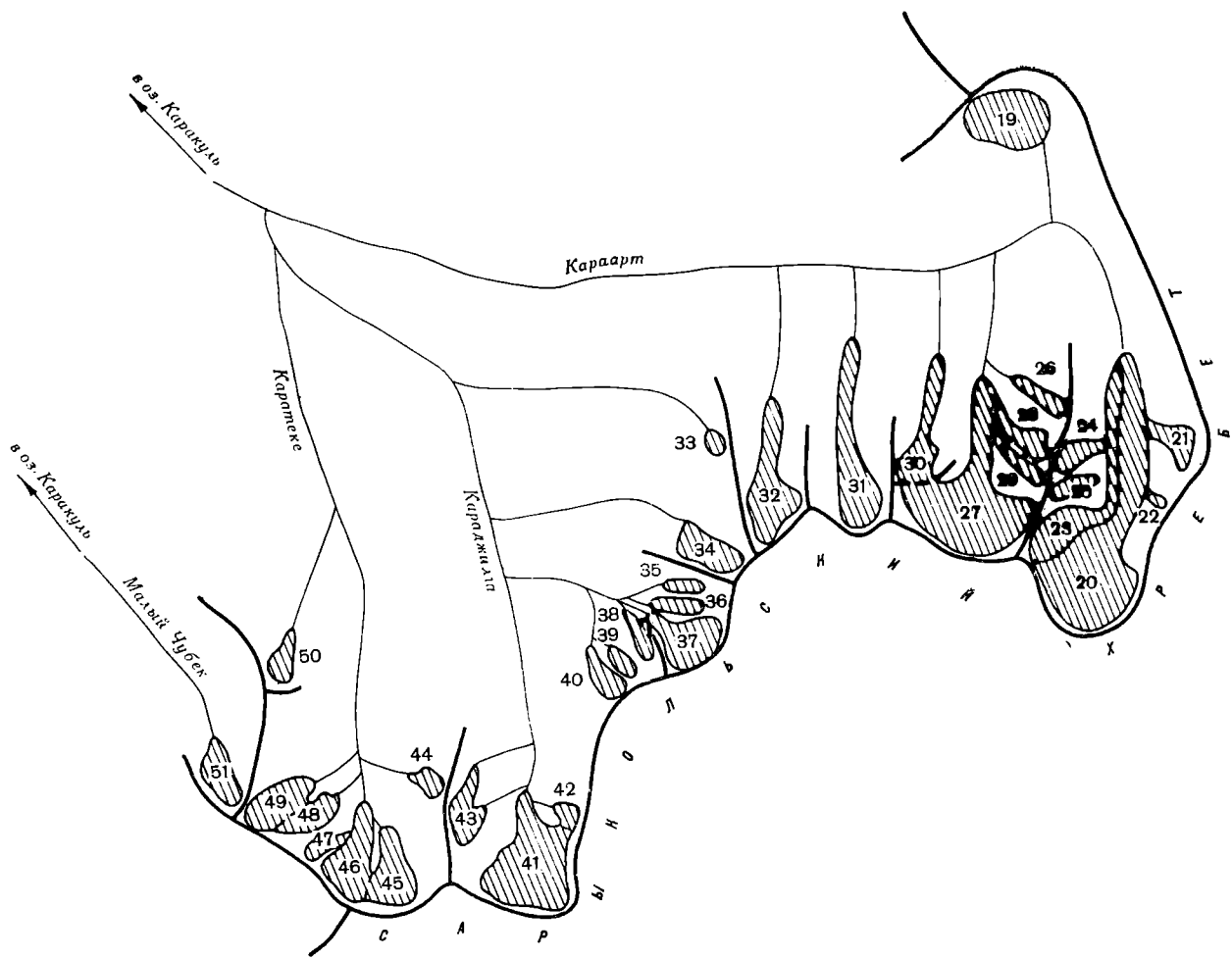


Рис. 27. Схема расположения ледников в бассейне р. Карапт.  
Усл. обозначения см. на рис. 25.

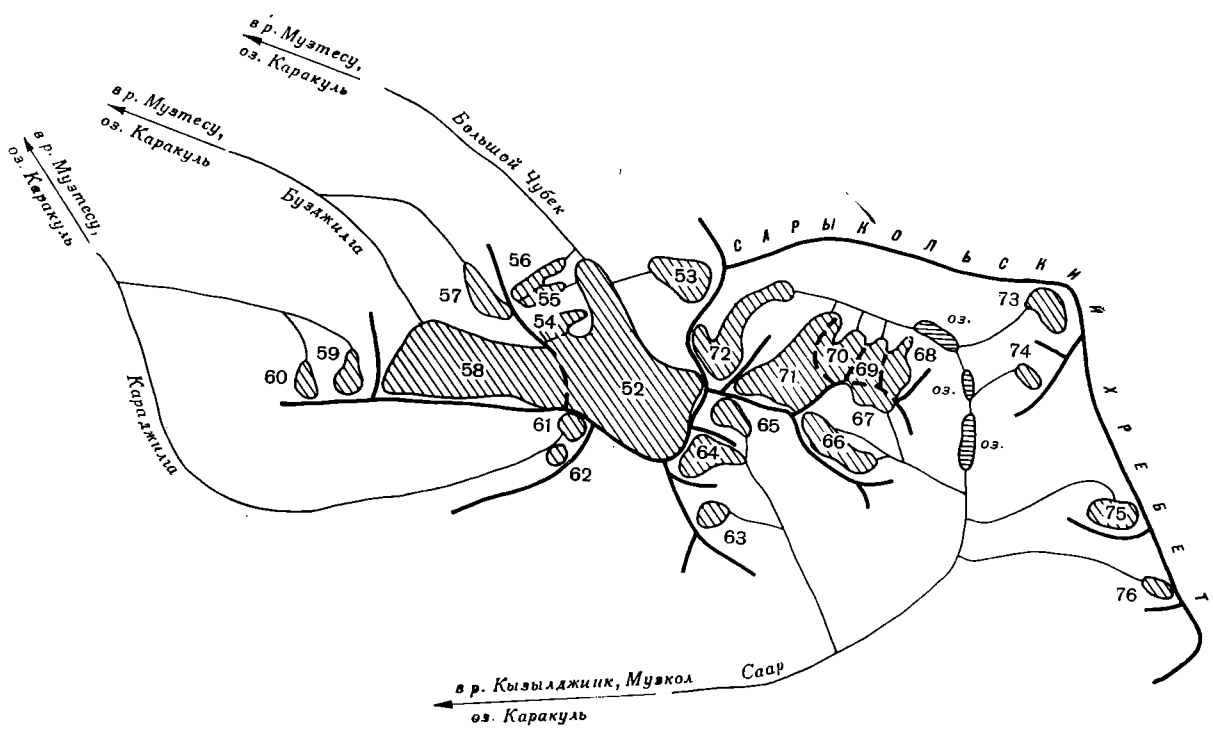


Рис. 28. Схема расположения ледников в бассейнах рек Музесу и Саар.  
Усл. обозначения см. на рис. 25.

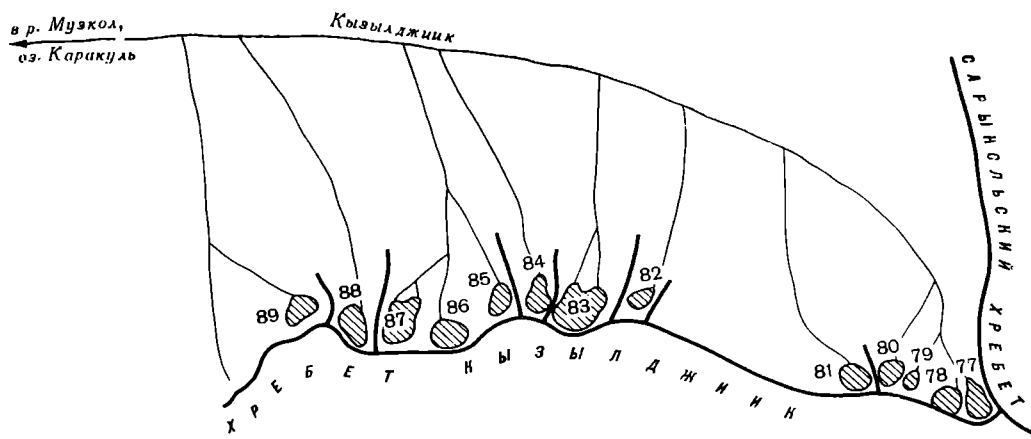


Рис. 29. Схема расположения ледников в бассейне р. Қызылджик.  
Усл. обозначения см. на рис. 25.

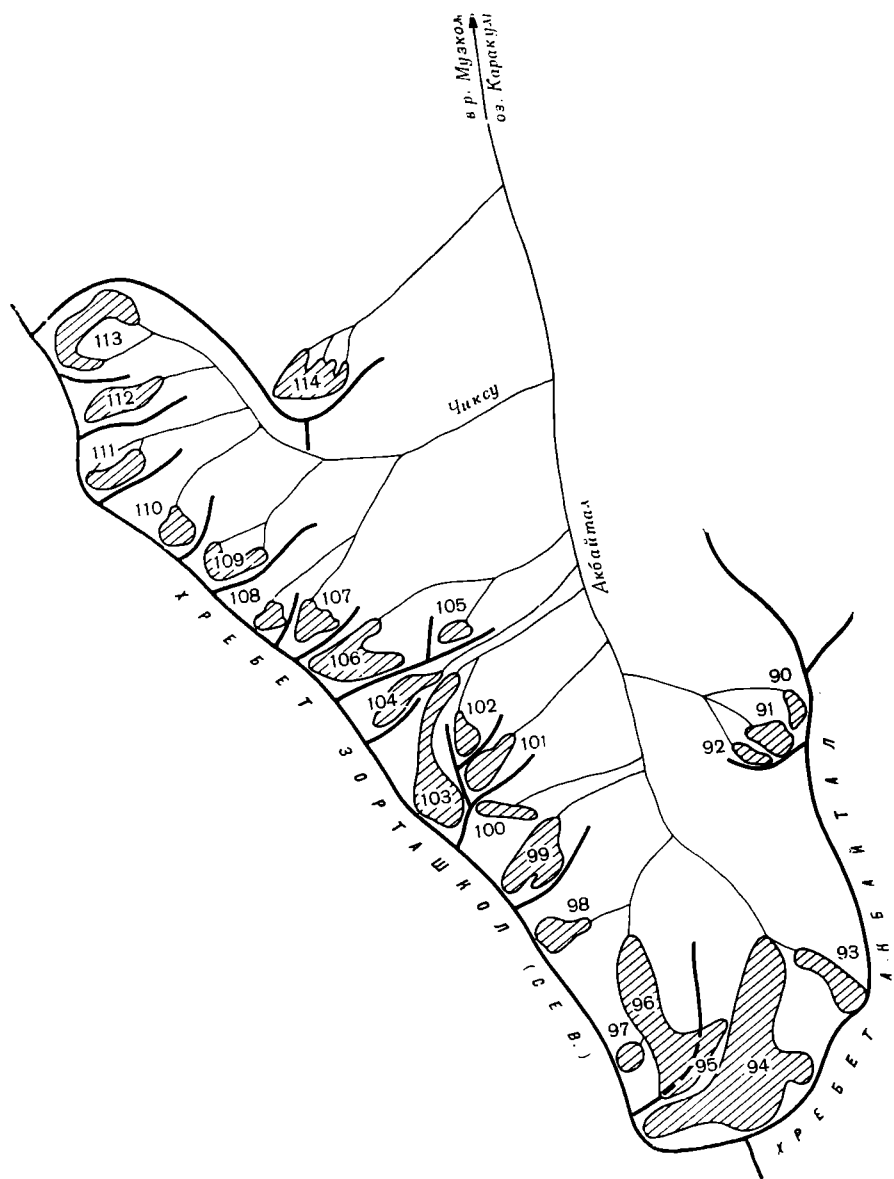


Рис. 30. Схема расположения ледников в бассейне р. Акбайтал.  
Усл. обозначения см. на рис. 25.

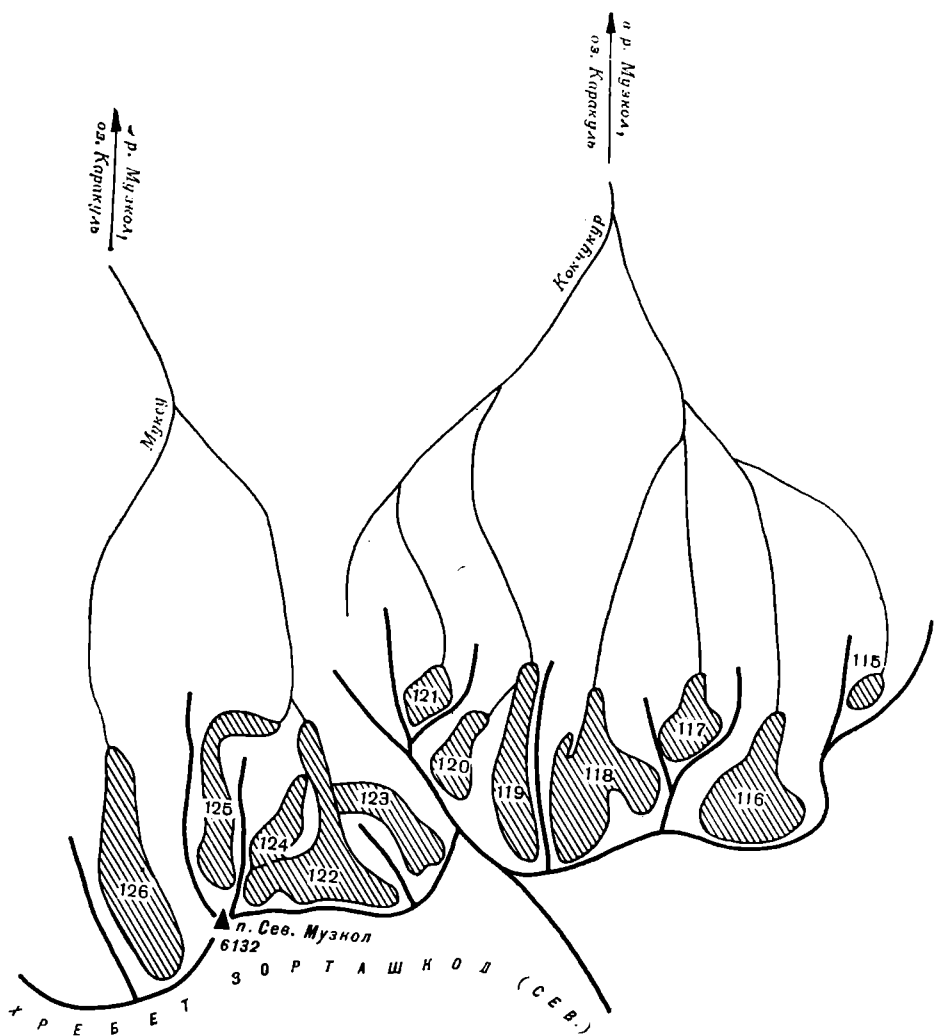


Рис. 31. Схема расположения ледников в бассейнах рек Кокчукур.  
Усл. обозначения см. на рис. 25.

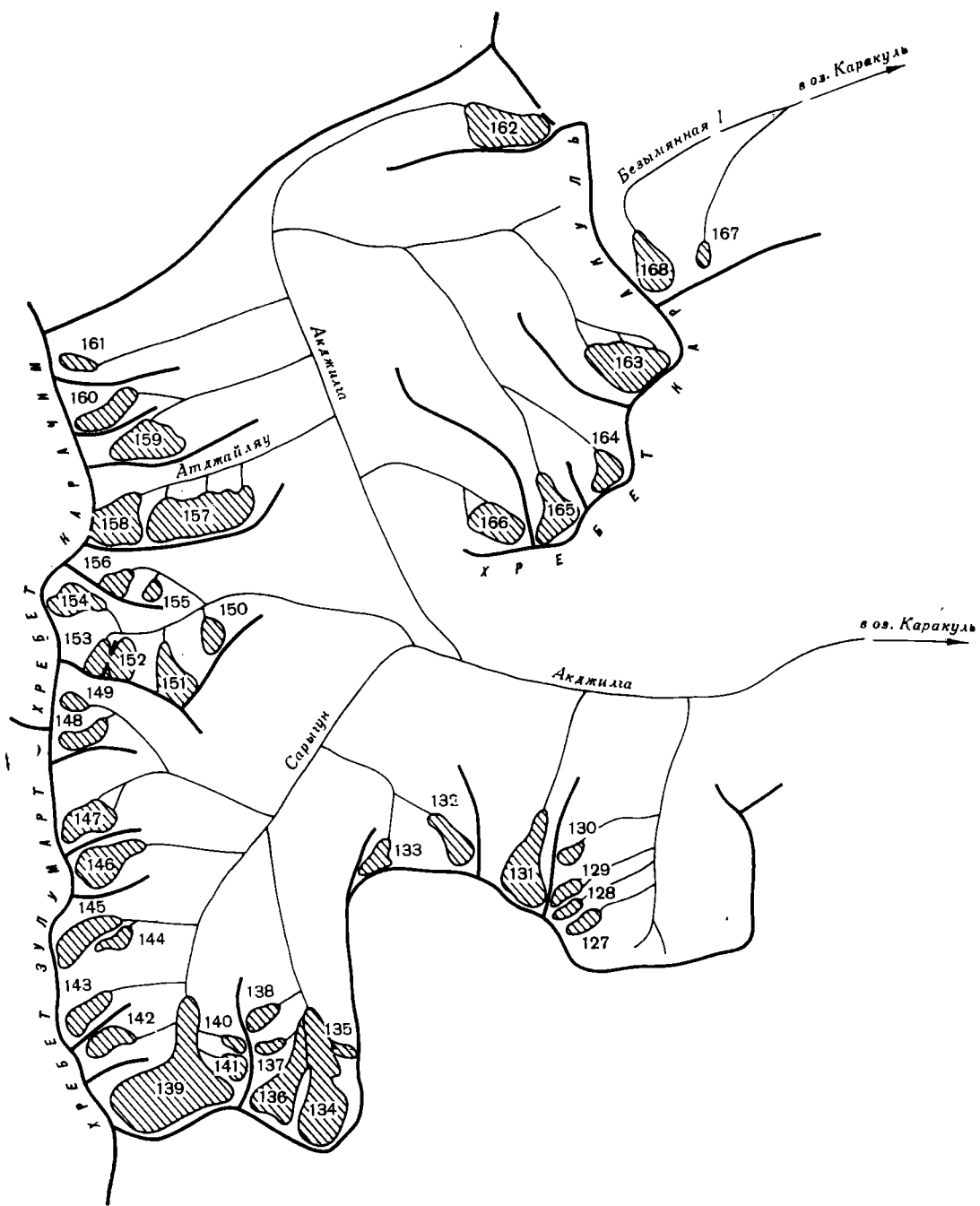


Рис. 32. Схема расположения ледников в бассейнах рек Акжилга и Безымянная I.  
Усл. обозначения см. на рис. 25.

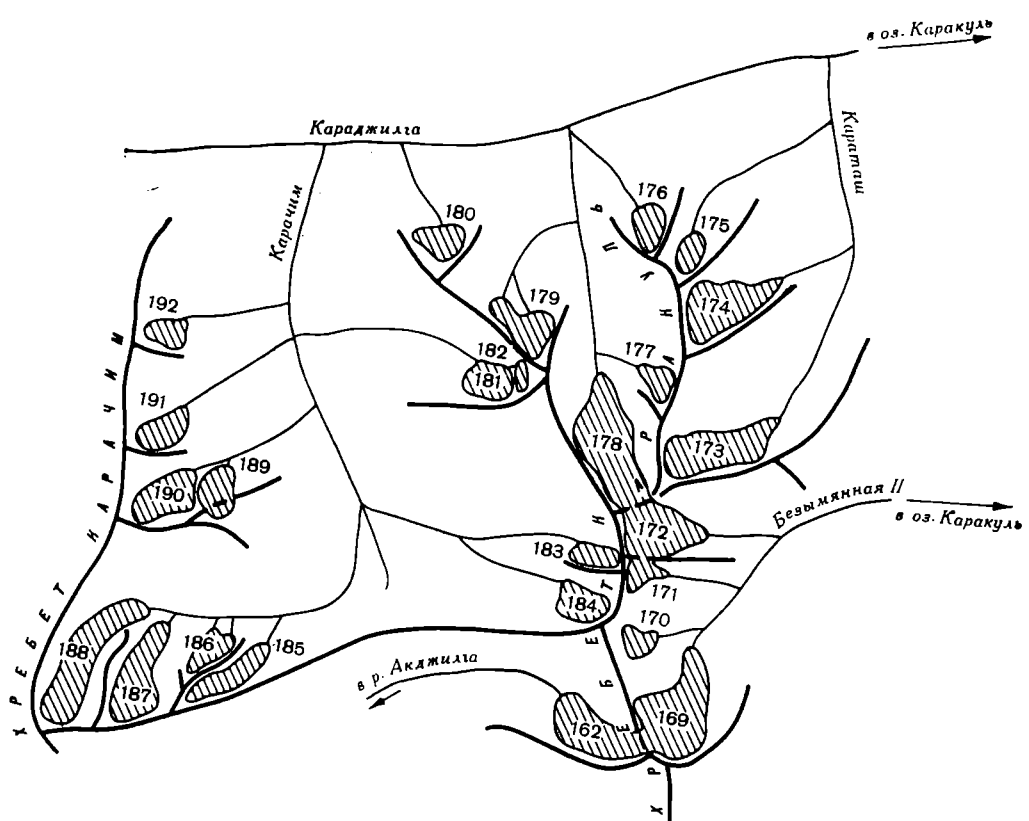


Рис. 33. Схема расположения ледников в бассейнах рек Безымянная II, Караташ и Караким.  
Усл. обозначения см. на рис. 25.

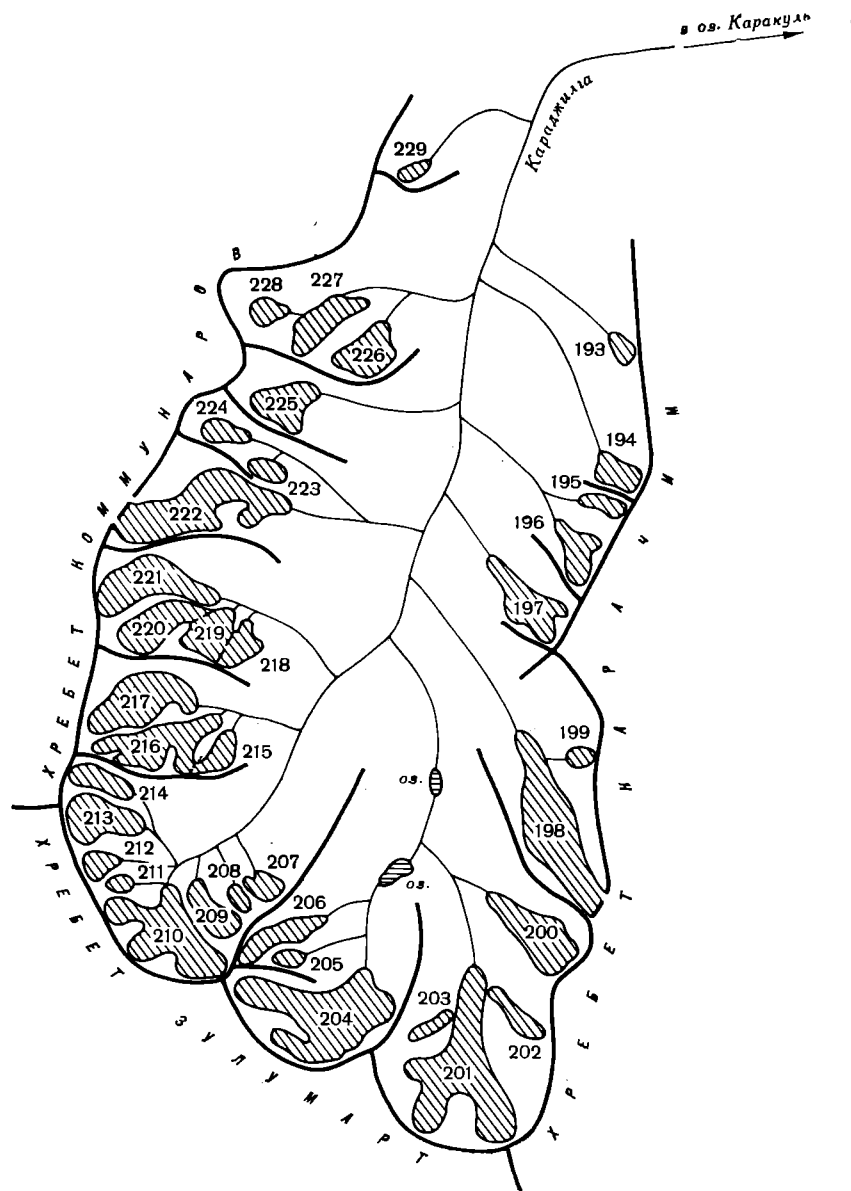


Рис. 34. Схема расположения ледников в бассейне верховьев р. Караджилга.

Усл. обозначения см. на рис. 25.

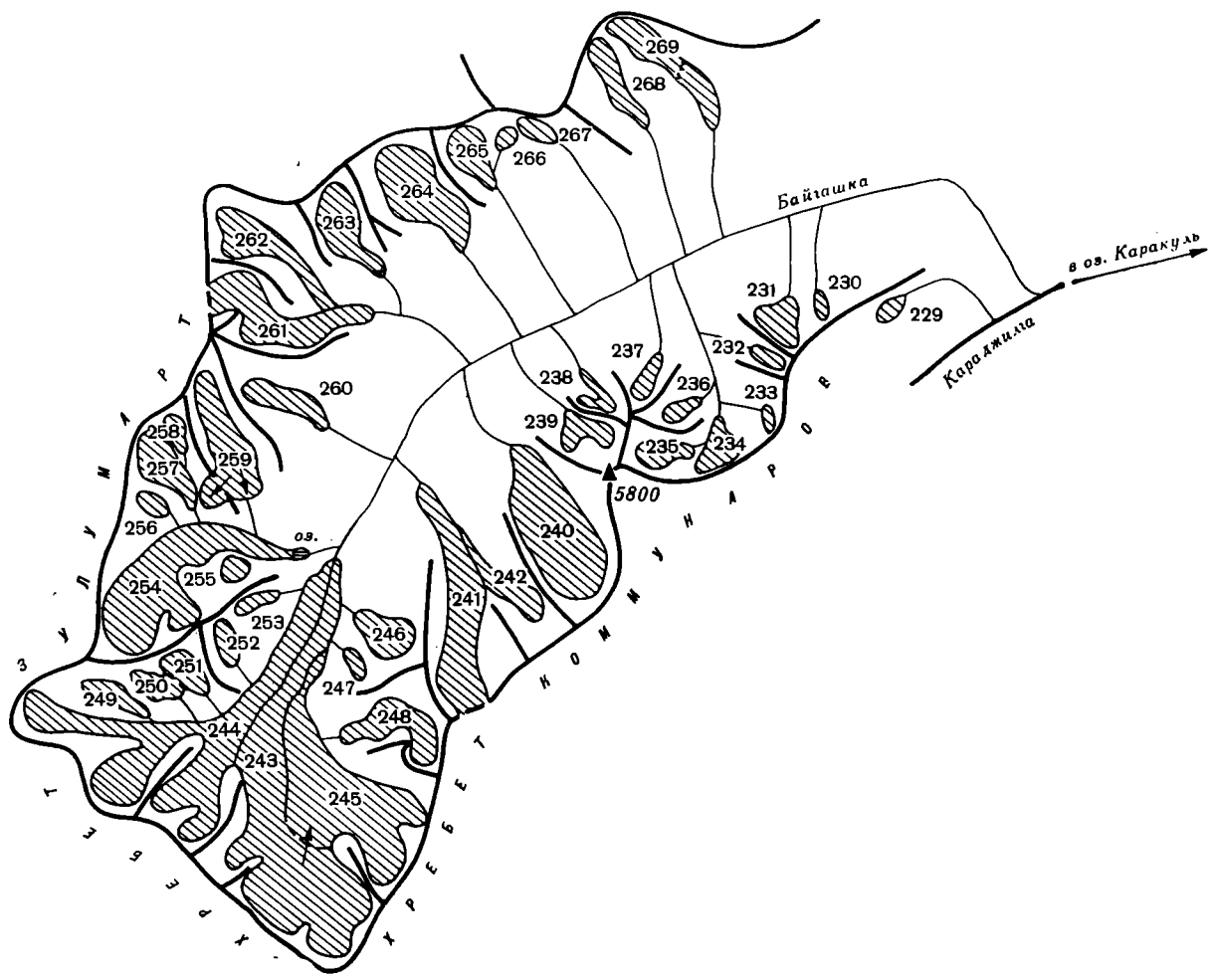


Рис. 35. Схема расположения ледников в бассейне р. Байгашка.  
Усл. обозначения см. на рис. 25.



Рис. 36. Схема расположения ледников в бассейне р. Коксай.  
Усл. обозначения см. на рис. 25.

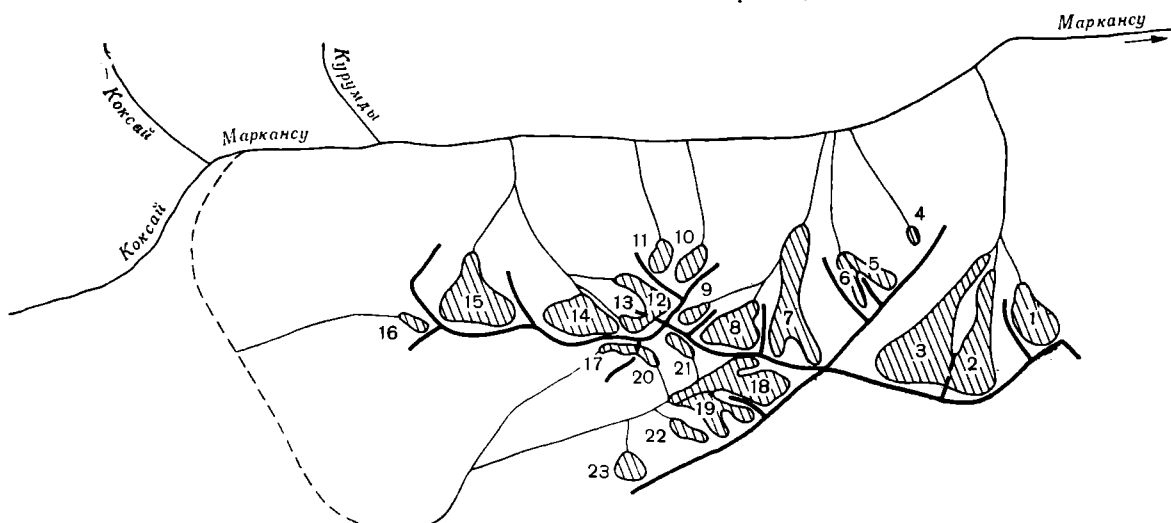


Рис. 37. Схема расположения ледников в бассейнах нижних правых притоков р. Маркансу.  
Усл. обозначения см. на рис. 25.

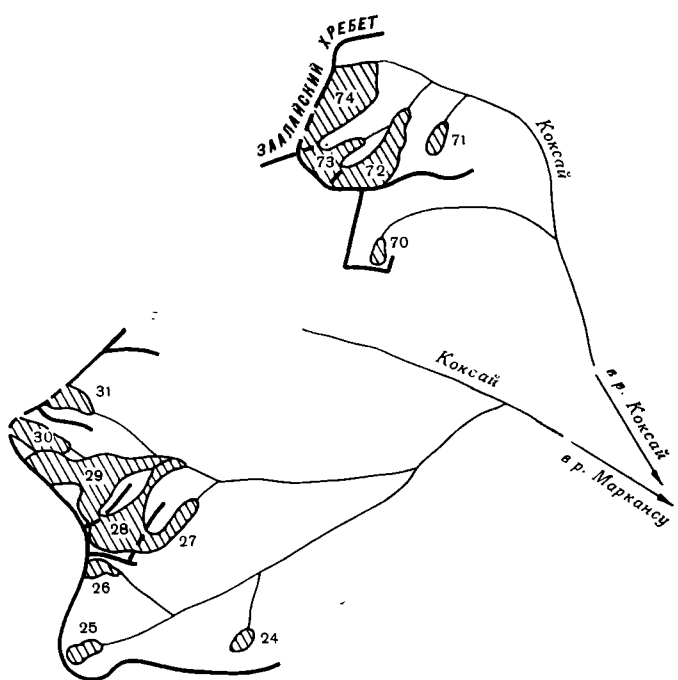


Рис. 38. Схема расположения ледников в бассейнах право-  
го притока р. Коксан и р. Коксай.  
Усл. обозначения см. на рис. 25.

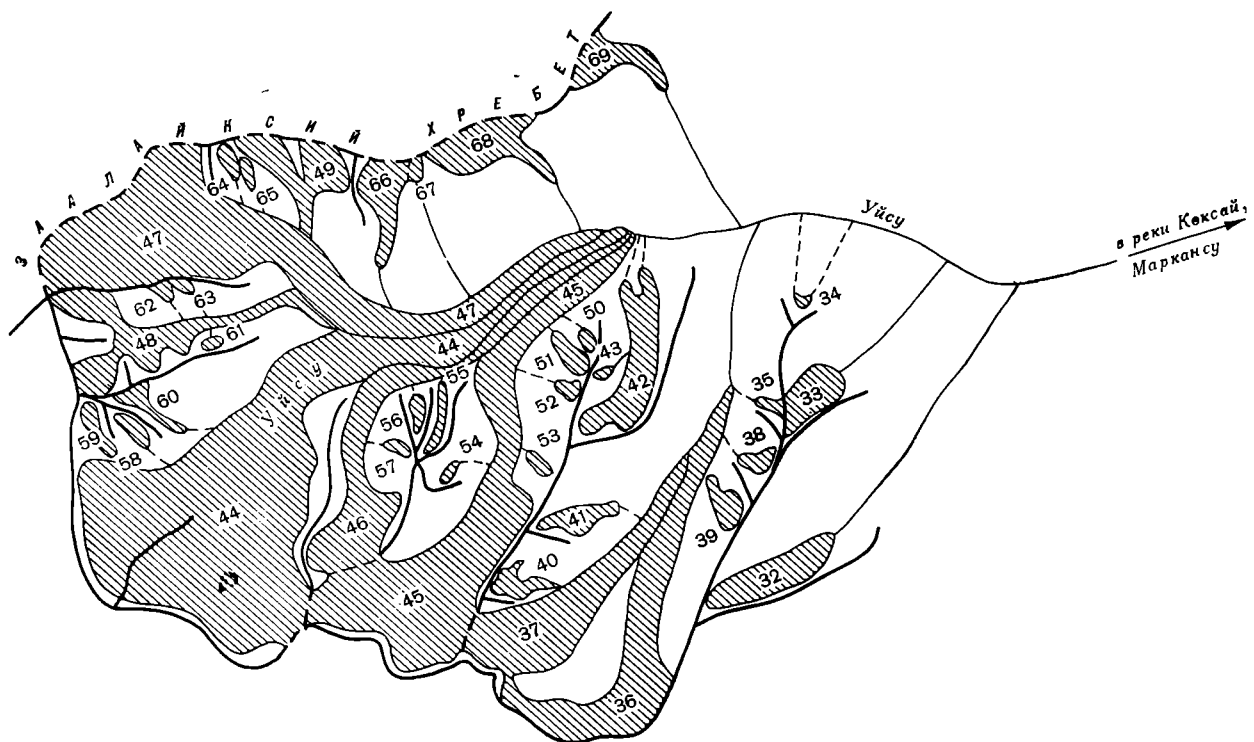


Рис. 39. Схема расположения ледников в бассейне р. Уйсу.  
Усл. обозначения см. на рис. 25.

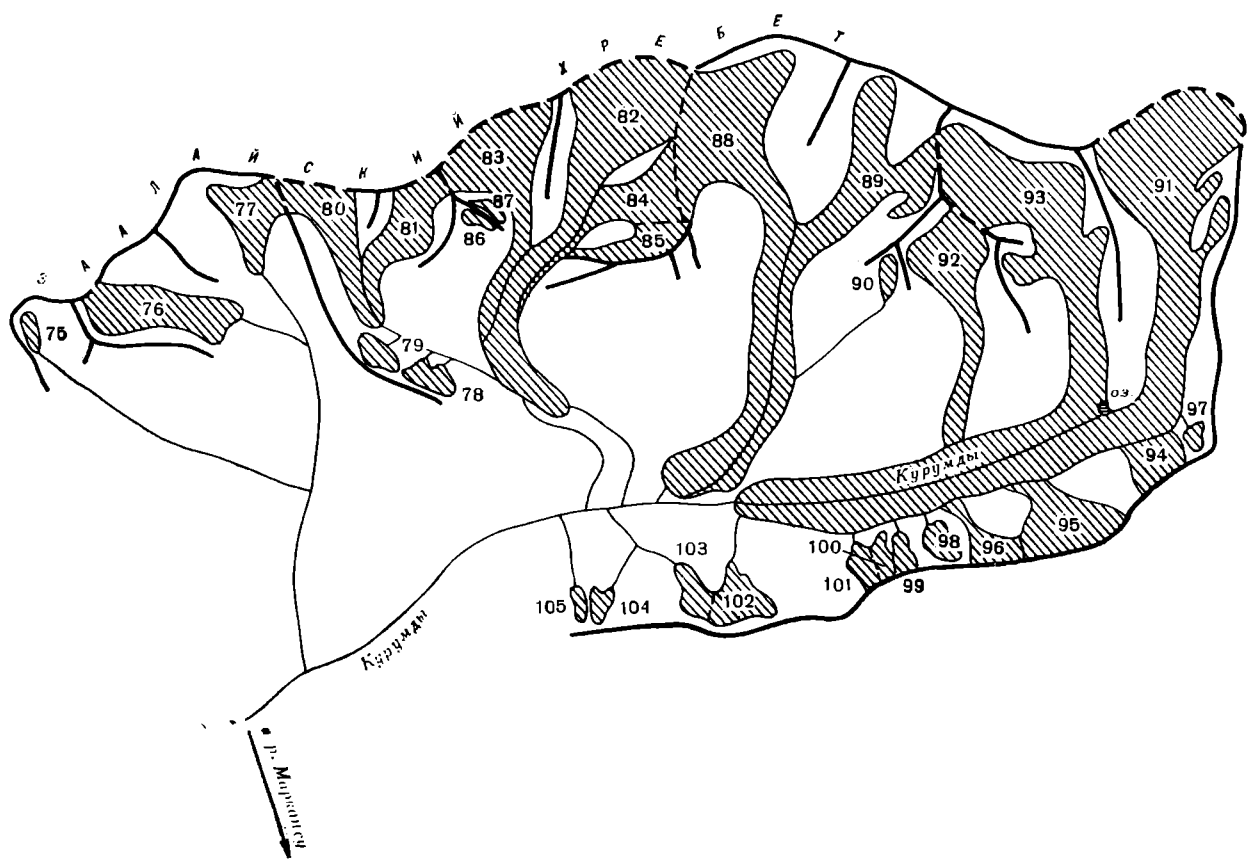


Рис. 40. Схема расположения ледников в бассейне р. Курумды.  
Усл. обозначения см. на рис. 25.

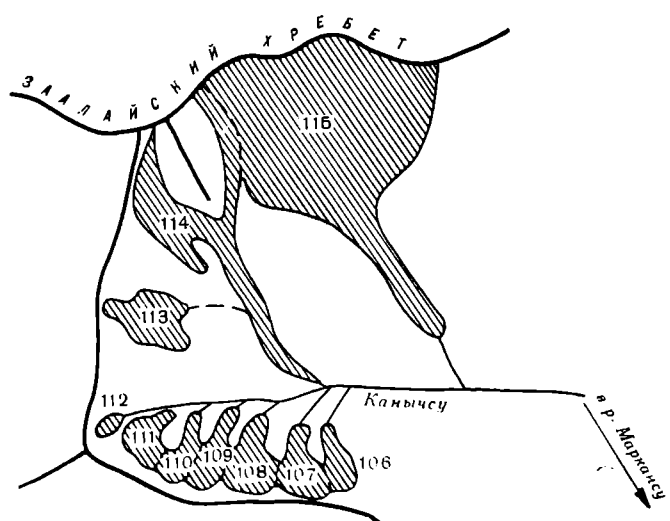


Рис. 41. Схема расположения ледников в бассейне р. Канышсу.  
Усл. обозначения см. на рис. 25.

# ОСНОВНЫЕ ТАБЛИЦЫ КАТАЛОГА ЛЕДНИКОВ

### ОСНОВНЫЕ СВЕДЕНИЯ

№ по схеме	Название	Название реки, вытекающей из ледника	Морфологический тип	Общая экспозиция	Наибольшая длина, км		Площадь, км <sup>2</sup>					
					всего ледника	в том числе открытой части	всего ледника	в том числе открытой части				
1	2	3	4	5	6	7	8	9				
<b>Бассейн р. Коксай (восточная)</b>												
Западный склон												
1	№ 1 № 2 2 ледника	Коксай (вост.) пр. р. Коксай (вост.)	дол. склон.	C 3	4,8 0,9	4,8 0,9	4,8 0,4 5,2	4,8 0,4 5,2				
2	Кроме того, в бассейне р. Коксай (восточная) имеется 4 ледника размерами менее 0,1 км <sup>2</sup> каждый, общей площадью				1	1	1	1				
	Итого 3 ледника					5,4						
<b>Бассейн р. Кокчукурбashi</b>												
Западный склон												
3*	№ 3	пр. р. Кокчукурбashi	пл.верш.	ЮЗ	2,1	2,1	2,8	2,8				
4*	№ 4	пр. р. Кокчукурбashi	склон.	СЗ	1,0	1,0	0,5	0,5				
5*	№ 5	Кокчукурбashi	сл.дол.	3	5,8	5,8	6,5	6,5				
6	№ 6	пр. р. Кокчукурбashi	склон.	С3	2,1	2,1	1,6	1,6				
7	№ 7	пр. р. Арпа-Дады	склон.	С3	0,2	0,2	0,2	0,2				
8	№ 8	Арпа-Дады	дол.	С3	2,8	2,8	3,9	3,9				
9	№ 9	пр. р. Арпа-Дады	склон.	C	0,3	0,3	0,2	0,2				
	7 ледников						15,7	15,7				
	Кроме того, в бассейне р. Кокчукурбashi имеется один ледник площадью 0,06 км <sup>2</sup>											
	Итого 8 ледников					15,8						
<b>Бассейн р. Кумбулак</b>												
Западный склон												
10*	№ 10	Кумбулак	дол., часть сл.дол.	C3	6,2	6,2	4,8	4,7				
11*	№ 11	Кумбулак	дол., часть сл.дол.	C	2,8	2,7	1,4	1,3				
	Сложный долинный ледник (№ 10, 11) имеет наибольшую длину 6,2 км, площадь				6,2	6,2 км <sup>2</sup> (в том числе 0,2 км <sup>2</sup> за						
12	№ 12	пр. р. Кумбулак	дол.	C3	1,7	1,7	0,6	0,6				
13*	№ 13	пр. р. Кумбулак	дол.	3	0,8	0,8	0,1	0,1				
14	№ 14	пр. р. Кумбулак	склон.	3	1,9	1,9	1,0	1,0				
15*	№ 15	пр. р. Кумбулак	дол.	C3	1,4	1,4	0,8	0,8				
16	№ 16	пр. р. Кумбулак	склон.	C3	0,7	0,7	0,7	0,7				
	7 ледников						9,4	9,2				
	Кроме того, в бассейне р. Кумбулак имеется 1 ледник площадью 0,06 км <sup>2</sup>											
	Итого 8 ледников					9,5						
<b>Бассейн р. Каараарт</b>												
Западный и северо-западный склоны												
17*	№ 17	Зор-Куянды	склон.	C3	0,7	0,7	0,1	0,1				
18	№ 18	Сарыташ	вис.	C3	0,6	0,6	0,3	0,3				
19	№ 19	пр. р. Каараарт	склон.	ЮВ	1,8	1,8	1,6	1,6				
20	Кара-Арт	Караарт	дол., часть сл. дол.	C	6,2	6,0	5,2	5,0				
21*		пр. р. Каараарт	вис.дол., часть сл.дол.	3	1,6	1,6	0,4	0,4				
22*	№ 22	пр. р. Каараарт	вис.дол., часть сл.дол.	C3	0,7	0,7	0,1	0,1				
23*	№ 23	Караарт	дол., часть сл.дол.	СВ, С	5,2	4,8	1,8	1,7				
24*	№ 24	пр. р. Каараарт	вис.дол., часть сл.дол.	СВ	1,1	1,1	0,4	0,4				
	Сложный долинный ледник Караарт (№ 20—24) имеет наибольшую длину				6,2	6,2 км, площадь	7,9	7,9 км <sup>2</sup> (в том числе				
25*	№ 25	пр. Каараарт	дол.	B	1,0	1,0	0,2	0,2				
26	№ 26	пр. Каараарт	дол.	C3	1,3	1,3	0,3	0,3				
27	№ 27	пр. Каараарт	дол., часть сл.дол.	C	3,8	3,8	3,9	3,7				
28	№ 28	пр. Каараарт	дол., часть сл.дол.	C3	1,6	1,6	0,4	0,4				
29	№ 29	пр. Каараарт	дол., часть сл.дол.	C3	1,7	1,7	0,3	0,3				
	Сложный долинный ледник (№ 27—29) имеет наибольшую длину				3,8	3,8 км, площадь	4,6	4,6 км <sup>2</sup> (в том числе 0,2 км <sup>2</sup> за				
30	№ 30	пр. Каараарт	дол.	C	2,7	2,6	1,1	0,9				
31*	№ 31	пр. Каараарт	дол.	C	4,1	3,2	2,1	1,6				
32*	№ 32	пр. Каараарт	дол.	C	3,1	2,8	1,9	1,6				
33*	№ 33	пр. р. Караджилга	склон.	C	0,4	0,4	0,1	0,1				
34	№ 34	пр. р. Караджилга	склон.	C3	1,4	1,4	0,8	0,8				
35*	№ 35	пр. р. Караджилга	дол.	3	1,0	1,0	0,1	0,1				
36*	№ 36	пр. р. Караджилга	дол.	3	1,4	1,4	0,2	0,2				
37*	№ 37	пр. р. Караджилга	склон.	C3	1,6	1,6	1,2	1,2				
38*	№ 38	пр. р. Караджилга	дол.	C3	1,1	0,8	0,3	0,2				

ТАБЛИЦА I (часть 17)

## О ЛЕДНИКАХ

Высота, м			Фирновая линия		Площадь области аблации, км <sup>2</sup>		Объем льда, км <sup>3</sup>	Ссылки на последующие таблицы (илюстрации) № таблиц иллюстрций порядковые № сведений в таблицах
нижней точки конца ледника	нижней точки открытой части ледника	высшей точки ледника	высота, м	способ определения и дата	общая	в том числе открытой части		
10	11	12	13	14	15	16	17	18
<b>(оз. Каракуль)</b>								
Сарыкольского хребта								
4810 4920	4810 4920	5810 5320	5200 5320	АФС 1946 г. АФС 1946 г.	2,0 0,2 2,2	2,0 0,2		V/4
0,2 км <sup>2</sup>								
<b>(оз. Каракуль)</b>								
Сарыкольского хребта								
5170 5140 4610 4820 5100 4920 5000	5170 5140 4610 4820 5100 4920 5000	5810 5450 5570 5390 5380 5560 5440	5400 5300 5200 5200 5250 5350 5300	АФС 1946 г. АФС 1946 г. АФС 1946 г. АФС 1946 г. АФС 1946 г. АФС 1946 г. АФС 1946 г.	1,2 0,2 2,8 1,2 0,1 1,9 0,1	1,2 0,2 2,8 1,2 0,1 1,9 0,1		IV/3; V/7; рис. 21 V/4
<b>(оз. Каракуль)</b>								
Сарыкольского хребта								
4620 4750	4620 4860	5710 5680	5250 5250	АФС 1946 г. АФС 1946 г.	1,9 0,6	1,8 0,5		V/4
крыто мореной) и площадь области аблации 2,5 км <sup>2</sup>								
5020 5300 5200 4980 5000	5020 5300 5200 4980 5000	5800 5800 5600 5600 5580	5300 5400 5300 5300 5300	АФС 1946 г. АФС 1946 г. АФС 1946 г. АФС 1946 г. АФС 1946 г.	0,2 — 0,3 0,3 0,5	0,2 — 0,3 0,3 0,5		
<b>(оз. Каракуль)</b>								
Сарыкольского хребта								
5200 5100 4980 4860 4960  5190  4900 5000	5200 5100 4890 4900 4960  5100  4920 5000	5450 5400 5550 5700 5700  5600  5800 5680	5350 5200 5200 5300 5400  5400  5300 5300	АФС 1946 г. АФС 1946 г. АФС 1946 г. АФС 1946 г. АФС 1946 г.  АФС 1946 г.  АФС 1946 г. АФС 1946 г.	0,1 0,1 0,5 2,5 0,1  —  0,9 0,2	0,1 0,1 0,5 2,3 0,1  —  0,8 0,2		
0,3 км <sup>2</sup> закрыто мореной) и площадь области аблации 3,7 км <sup>2</sup>								
5140 4800 4700 4760 4810	5140 4800 4700 4760 4810	5850 5620 5770 5720 5850	(5300) 5400 5250 5350 5350	АФС 1946 г. АФС 1946 г. АФС 1946 г. АФС 1946 г. АФС 1946 г.	— 0,1 1,3 0,2 0,1	— 0,1 1,1 0,2 0,1		
крыто мореной) и площадь области аблации 1,6 км <sup>2</sup>								
4740 4510 4700 4950 4910 4860 4800 4820 4790	4780 4640 4740 4950 4910 4860 4800 4820 4840	5640 5700 5660 5220 5500 (5480) (5360) 5790 5140	5250 (5100) (5100) 5100 5100 (5200) (5200) (5200) 5050	АФС 1946 г. АФС 1946 г.	0,6 (1,0) (1,0) 0,1 0,4 (0,1) (0,1) (0,5) 0,2	0,3 (0,5) (0,7) 0,1 0,4 (0,1) (0,1) (0,5) 0,1		

№ по схеме	Название	Название реки, вытекающей из ледника	Морфологический тип	Общая экспозиция	Наибольшая длина, км		Площадь, км²	
					всего ледника	в том числе открытой части	всего ледника	в том числе открытой части
1	2	3	4	5	6	7	8	9
39*	№ 39	пр. р. Караджилга	склон.	C3	1,0	1,0	0,2	0,2
40	№ 40	пр. р. Караджилга	дол.	C3	1,3	1,3	0,4	0,4
41*	№ 41	Караджилга	дол.	C	2,6	2,6	2,7	2,7
42*	№ 42	пр. р. Караджилга	склон.	C3	0,5	0,5	0,2	0,2
43*	№ 43	пр. р. Караджилга	дол.	CB	1,8	1,8	0,6	0,6
44	№ 44	пр. р. Каратеке	склон.	C3	0,7	0,7	0,2	0,2
45*	№ 45	Каратеке	дол.	C	1,8	1,8	1,2	1,2
46*	№ 46	пр. р. Каратеке	дол.	C	2,0	2,0	1,1	1,1
47*	№ 47	пр. р. Каратеке	дол.	CB	0,9	0,9	0,2	0,2
48*	№ 48	пр. р. Каратеке	дол.	CB	1,3	1,3	0,5	0,5
49*	№ 49	пр. р. Каратеке	дол.	CB	1,4	1,4	0,9	0,9
50	№ 50	пр. р. Каратеке	дол.	C	1,0	1,0	0,4	0,4
	34 ледника						31,4	29,8

Кроме того, в бассейне р. Караарт имеется 25 ледников размерами менее 0,1 км² каждый, общей площадью 1,4 км²  
Итого 59 ледников

#### Бассейн р. Малого Чубека

Северный склон западного отрога

51	№ 51 1 ледник	Малый Чубек	дол.	C	1,4	1,4	0,8 0,8	0,8 0,8
----	------------------	-------------	------	---	-----	-----	------------	------------

Кроме того, в бассейне р. Малого Чубека имеется 2 ледника размерами менее 0,1 км² каждый, общей площадью 0,1 км²  
Итого 3 ледника

#### Бассейн р. Большого Чубека

Северный и западный склоны западного

52*	Буз-Чубек	Большой Чубек	дол.	C3	4,5	4,5	5,4	5,4
53*	№ 53	пр. р. Большого Чубека	асимм. дол.	3	1,3	1,3	0,8	0,8
54*	№ 54	пр. р. Большого Чубека	дол.	CB	0,8	0,8	0,2	0,2
55*	№ 55	пр. р. Большого Чубека	дол.	CB	0,8	0,8	0,2	0,2
56*	№ 56	пр. р. Большого Чубека	дол.	CB	1,1	1,1	0,2	0,2
	5 ледников						6,8	6,8

Кроме того, в бассейне р. Большого Чубека имеются 3 ледника размерами менее 0,1 км² каждый, общей площадью 0,1 км²  
Итого 8 ледников

#### Бассейн р. Музтесу

Северный склон западного отрога

57	№ 57	пр. р. Бузджилга	дол.	C3	1,3	1,3	0,5	0,5
58*	Буз-Джилга	Бузджилга	склон.	C	2,1	2,1	4,2	4,2
59*	№ 59	пр. р. Караджилга	дол.	C	0,7	0,7	0,3	0,3
60*	№ 60	пр. р. Караджилга	дол.	C	0,5	0,5	0,2	0,2
61	№ 61	Караджилга	склон.	3	0,5	0,5	0,2	0,2
62*	№ 62	пр. р. Караджилга	вис.	C3	0,3	0,3	0,1	0,1
	6 ледников						5,5	5,5

Кроме того, в бассейне р. Музтесу имеется 4 ледника размерами менее 0,1 км² каждый, общей площадью 0,2 км²  
Итого 10 ледников

#### Бассейн р. Саар (реки Кызылджик,

Западный склон Сарыкольского хребта,

63*	№ 63	пр. р. Саар	склон.	CB	0,4	0,4	0,1	0,1
64	№ 64	пр. р. Саар	склон.	B	1,2	1,2	0,5	0,5
65	№ 65	пр. р. Саар	склон.	ЮВ	0,7	0,7	0,4	0,4
66	№ 66	пр. р. Саар	склон.	CB	0,5	0,5	0,8	0,8
67*	№ 67	пр. р. Саар	склон.	Ю	0,6	0,6	0,2	0,2
68*	№ 68	пр. р. Саар	вис.	C	1,2	1,2	0,4	0,4
69*	№ 69	пр. р. Саар	склон.	C	1,4	1,4	0,5	0,5
70*	№ 70	Саар	склон.	C	1,0	1,0	0,5	0,5
71*	№ 71	Саар	дол.	C	2,1	2,1	2,4	2,4
72	№ 72	пр. р. Саар	дол.	CB	2,2	2,2	1,5	1,5
73	№ 73	пр. р. Саар	склон.	3	0,6	0,6	0,3	0,3
74*	№ 74	пр. р. Саар	склон.	C3	0,8	0,8	0,1	0,1
75	№ 75	пр. р. Саар	склон.	C	0,4	0,4	0,4	0,4
76*	№ 76	пр. р. Саар	склон.	C3	(0,4)	(0,4)	(0,1)	(0,1)
	14 ледников						(8,2)	(8,2)

Кроме того, в бассейне р. Саар имеется 16 ледников размерами менее 0,1 км² каждый, общей площадью 0,8 км²  
Итого 30 ледников

Высота, м			Фирновая линия		Площадь области абляции, км <sup>2</sup>		Объем льда, км <sup>3</sup>	Ссылки на последующие таблицы (илюстрации) № таблиц и иллюстраций порядковые № сведений в таблицах	18
нижней точки конца ледника	нижней точки открытой части ледника	высшей точки ледника	высота, м	способ определения и дата	общая	в том числе открытой части			
10	11	12	13	14	15	16	17		
4820	4820	5400	5100	АФС 1946 г.	0,1	0,1			
4800	4800	5360	5100	АФС 1946 г.	0,1	0,1			
4700	4700	5580	5100	АФС 1946 г.	1,2	1,2			
5100	5100	5380	5150	АФС 1946 г.	0,1	0,1			
4950	4950	5530	5250	АФС 1946 г.	0,3	0,3			
4990	4990	5320	5100	АФС 1946 г.	0,1	0,1			
4910	4910	5460	5150	АФС 1946 г.	0,7	0,7			
4750	4750	5660	5150	АФС 1946 г.	0,5	0,5			
4980	4980	5560	5150	АФС 1946 г.	0,1	0,1			
4920	4920	5640	5150	АФС 1946 г.	0,3	0,3			
4970	4970	5640	5150	АФС 1946 г.	0,5	0,5			
4800	4800	5320	5150	АФС 1946 г.	0,3	0,3			
					14,4				

(оз. Каракуль)

Сарыкольского хребта

5010	5010	5620	5200	АФС 1946 г.	0,4 0,4	0,4		
------	------	------	------	-------------	------------	-----	--	--

(оз. Каракуль)

отрога Сарыкольского хребта

4690	4690	5720	5250	АФС 1946 г.	2,4	2,4		
5050	5050	5670	5300	АФС 1946 г.	0,4	0,4		
4860	4860	5540	5200	АФС 1946 г.	0,1	0,1		
4900	4900	5610	5250	АФС 1946 г.	0,1	0,1		
4760	4760	5560	5250	АФС 1946 г.	0,1	0,1		

площадью 0,2 км<sup>2</sup>

(оз. Каракуль)

Сарыкольского хребта

4980	4980	5600	5300	АФС 1946 г.	0,3	0,3		
4880	4880	5590	5300	АФС 1946 г.	2,0	2,0		
4940	4940	5450	5300	АФС 1946 г.	0,2	0,2		
4940	4940	5360	5300	АФС 1946 г.	0,2	0,2		
5300	5300	5510	5400	АФС 1946 г.	0,1	0,1		
5200	5200	5360	5300	АФС 1946 г.	0,1	0,1		
					2,9			

Музкол, оз. Каракуль)

восточный склон его отрога

5130	5130	5400	5300	АФС 1946 г.	0,1	0,1		
5070	5070	5700	5350	АФС 1946 г.	0,3	0,3		
5290	5290	5740	5450	АФС 1946 г.	0,3	0,3		
5250	5250	5680	5350	АФС 1946 г.	(0,5)	(0,5)		
5480	5480	5740	5600	АФС 1946 г.	0,1	0,1		
4800	4800	5520	5250	АФС 1946 г.	0,2	0,2		
4830	4830	5740	5250	АФС 1946 г.	0,3	0,3		
4780	4780	5460	5250	АФС 1946 г.	0,2	0,2		
4780	4780	5740	5250	АФС 1946 г.	0,6	0,6		
4990	4990	5740	5300	АФС 1946 г.	0,6	0,6		
5300	5300	5620	5400	АФС 1946 г.	0,1	0,1		
(5300)	(5300)	5400	5350	АФС 1946 г.	0,1	0,1		
5190	5190	5610	5350	АФС 1946 г.	0,2	0,2		
(5120)	(5120)	(5400)	(5350)	АФС 1946 г.	(0,1)	(0,1)		
					(3,7)			

№ по схеме	Название	Название реки, вытекающей из ледника	Морфологический тип	Общая экспозиция	Наибольшая длина, км		Площадь, км²	
					всего ледника	в том числе открытой части	всего ледника	в том числе открытой части
1	2	3	4	5	6	7	8	9

#### Бассейн верховьев р. Кызылджик

Северный склон

77	№ 77	Кызылджик	склон.	C	0,3	0,3	0,2	0,2
78	№ 78	пр. р. Кызылджик	склон.	C	0,4	0,4	0,2	0,2
79*	№ 79	пр. р. Кызылджик	склон.	C	0,2	0,2	0,1	0,1
80	№ 80	пр. р. Кызылджик	склон.	C	0,4	0,4	0,2	0,2
81	№ 81	пр. р. Кызылджик	склон.	C	0,5	0,5	0,2	0,2
82*	№ 82	пр. р. Кызылджик	склон.	CB	0,2	0,2	0,1	0,1
83	№ 83	пр. р. Кызылджик	склон.	C	0,8	0,8	0,6	0,6
84	№ 84	пр. р. Кызылджик	дол.	C	0,6	0,6	0,2	0,2
85*	№ 85	пр. р. Кызылджик	склон.	C	0,4	0,4	0,1	0,1
86	№ 86	пр. р. Кызылджик	склон.	C	0,6	0,6	0,3	0,3
87	№ 87	пр. р. Кызылджик	склон.	C	1,1	1,1	0,5	0,5
88	№ 88	пр. р. Кызылджик	склон.	C	0,8	0,8	0,3	0,3
89	№ 89	пр. р. Кызылджик	склон.	C3	0,8	0,8	0,3	0,3
13 ледников						3,3		3,3

Кроме того, в бассейне верховьев р. Кызылджик имеется 7 ледников размерами менее 0,1 км² каждый, общей

Итого 20 ледников

3,7

#### Бассейн р. Акбайтал

Западный склон хр. Акбайтал,

90	№ 90	пр. р. Акбайтал	склон.	C3	0,7	0,7	0,1	0,1
91	№ 91	пр. р. Акбайтал	склон.	C3	0,8	0,8	0,4	0,4
92	№ 92	пр. р. Акбайтал	склон.	C3	0,9	0,9	0,1	0,1
93	№ 93	пр. р. Акбайтал	дол.	C, C3	1,6	1,6	0,5	0,5
94*	Ак-Байтал	Акбайтал	дол.	C, CB	4,6	4,0	5,5	5,3
95*		Акбайтал	склон.	CB	1,5	1,5	0,3	0,3
96*	№ 96	пр. р. Акбайтал	дол.	C	3,4	3,2	2,5	2,3
97	№ 97	пр. р. Акбайтал	вис.	CB	0,6	0,6	0,2	0,2
98	№ 98	пр. р. Акбайтал	кар.	CB	1,1	1,1	0,5	0,5
99	№ 99	пр. р. Акбайтал	склон.	C	1,6	1,6	0,9	0,9
100	№ 100	пр. р. Акбайтал	склон.	C	1,0	1,0	0,3	0,3
101	№ 101	пр. р. Акбайтал	дол.	C, CB	1,6	1,6	0,5	0,5
102	№ 102	пр. р. Акбайтал	дол.	C	0,8	0,8	0,2	0,2
103*	№ 103	пр. р. Акбайтал	дол.	C	3,0	2,8	1,6	1,2
104*	№ 104	пр. р. Акбайтал	дол.	CB	1,8	1,2	0,6	0,4
105	№ 105	пр. р. Акбайтал	склон.	C	0,4	0,4	0,1	0,1
106	№ 106	пр. р. Акбайтал	дол.	C	1,6	1,6	1,4	1,4
107	№ 107	пр. р. Чиксун	склон.	C	1,0	1,0	0,4	0,4
108	№ 108	пр. р. Чиксун	склон.	C	0,6	0,6	0,3	0,3
109	№ 109	пр. р. Чиксун	склон.	C	0,6	0,6	0,4	0,4
110	№ 110	пр. р. Чиксун	кар.	C	1,0	1,0	0,5	0,5
111	№ 111	пр. р. Чиксун	склон.	C	0,8	0,8	0,5	0,5
112	№ 112	пр. р. Чиксун	склон.	C	1,1	1,1	0,8	0,8
113	№ 113	Чиксун	дол.	B	2,3	2,3	1,0	1,0
114*	№ 114	пр. р. Акбайтал	склон.	C	1,5	1,5	0,9	0,9
25 ледников						20,5		19,5

Кроме того, в бассейне р. Акбайтал имеется 19 ледников размерами менее 0,1 км² каждый, общей площадью 1,1 км²

Итого 44 ледника

21,6

#### Бассейн р. Кокчукур

Северный склон

115	№ 115	пр. р. Кокчукур	дол.	C	0,9	0,9	0,4	0,4
116	№ 116	пр. р. Кокчукур	дол.	C	2,6	2,5	2,2	2,1
117	№ 117	пр. р. Кокчукур	дол.	C	1,6	1,6	0,9	0,9
118*	№ 118	пр. р. Кокчукур	дол.	C	3,5	2,7	2,2	2,0
119*	№ 119	Кокчукур	дол.	C	4,6	2,7	1,7	1,3
120	№ 120	пр. р. Кокчукур	дол.	C	1,8	1,8	1,0	1,0
121	№ 121	пр. р. Кокчукур	кар.	C	1,1	1,1	0,5	0,5
7 ледников						8,9		8,2

Кроме того, в бассейне р. Кокчукур имеется 5 ледников размерами менее 0,1 км² каждый, общей площадью 0,2 км²

Итого 12 ледников

9,1

#### Бассейн р. Муксус

Северный склон

122*	№ 122	пр. р. Муксус	дол., часть сл. дол.	C	4,2	3,7	2,8	2,6
123	№ 123	пр. р. Муксус	дол., часть сл. дол.	C3	2,0	2,0	1,2	1,2

Сложный долинный ледник (№ 122, 123) имеет наибольшую длину 4,2 км, общую площадь 4,0 км² (в том числе

Высота, м			Фирновая линия		Площадь области аблляции, км <sup>2</sup>		Объем льда, км <sup>3</sup>	Ссылки на последующие таблицы (илюстрации) № таблиц и иллюстраций порядковые № сведений в таблицах
найменее точки конца ледника	найменее точки открытой части ледника	наиболее точки ледника	высота, м	способ определения и дата	общая	в том числе открытой части		
10	11	12	13	14	15	16	17	18

(р. Музкол, оз. Каракуль)

хр. Кызылдженник

4920	4920	5080	(5000)	АФС 1947 г.	(0,1)	(0,1)		
4900	4900	5060	(5000)	АФС 1947 г.	(0,1)	(0,1)		
4980	4980	5060	(5000)	АФС 1947 г.	—	—		
4960	4960	5120	(5000)	АФС 1947 г.	(0,1)	(0,1)		
4900	4900	5140	(5050)	АФС 1947 г.	(0,1)	(0,1)		
4950	4950	5100	(5050)	АФС 1947 г.	—	—		
4880	4880	5290	(5050)	АФС 1947 г.	(0,2)	(0,2)		
4840	4840	5240	(5050)	АФС 1947 г.	(0,1)	(0,1)		
4950	4950	5240	(5100)	АФС 1947 г.	—	—		
4950	4950	5270	(5100)	АФС 1947 г.	(0,1)	(0,1)		
5080	5080	5410	(5150)	АФС 1947 г.	(0,2)	(0,2)		
4900	4900	5320	(5150)	АФС 1947 г.	(0,1)	(0,1)		
5000	5000	5240	(5150)	АФС 1947 г.	(0,1)	(0,1)		

площадью 0,4 км<sup>2</sup>

(р. Музкол, оз. Каракуль)

восточный склон хр. Зорташкол (сев.)

4980	4980	5400						
5060	5060	5490						
5080	5080	5510						
4920	4920	5320	5100	наз.-виз. 1970	0,2	0,2		IV/6
4750	4800	5920	5100	наз.-виз. 1970	2,2	2,0		IV/6; V/4
4980	4980	5350	5100	наз.-виз. 1970	0,1	0,1		
4790	4810	5360	5100	наз.-виз. 1970	1,7	1,5		V/4
5050	5050	5510						
4890	4890	5310						
4760	4760	5470						
4990	4990	5360						
4730	4730	(5370)						
4880	4880	5040						
4660	4720	5380						
4660	4800	5230						
4780	4780	(4950)						
4720	4720	5550						
4800	4800	5420						
4800	4800	5120						
4890	4890	5360						
4850	4850	5270						
4810	4810	5290						
4820	4820	5350						
4800	4800	5640						
4700	4700	5380						

(р. Музкол, оз. Каракуль)

хр. Зорташкол (сев.)

4900	4900	5260						
4680	4700	5510						
4700	4700	5420						
4700	4850	5580						
4750	4980	5540						
5040	5040	5710						
4890	4890	5580						V/4

(р. Музкол, оз. Каракуль)

хр. Зорташкол (сев.)

4790	4830	6010						
4980	4980	5680						V/4

0,2 км<sup>2</sup> закрыто мореной).

№ по схеме	Название	Название реки, вытекающей из ледника	Морфологический тип	Общая экспозиция	Наибольшая длина, км		Площадь, км²	
					всего ледника	в том числе открытой части	всего ледника	в том числе открытой части
1	2	3	4	5	6	7	8	9

124\* № 124 пр. р. Муксу дол. СБ 1,8 1,8 0,8 0,8  
 125\* № 125 пр. р. Муксу дол. С, В 4,5 3,9 1,4 1,3  
 126 № 126 Муксу дол. С 4,4 4,1 2,5 2,4  
 5 ледников 8,7 8,3

Кроме того, в бассейне р. Муксу имеется 3 ледника размерами менее 0,1 км² каждый, общей площадью 0,2 км²  
 Итого 8 ледников 8,9

Всего в бассейне р. Музкол имеется 114 ледников общей площадью 52,3 км², в том числе 64 ледника размерами менее 0,1 км² каждый, общей площадью 2,7 км²

#### Бассейн правых притоков р. Акдзилга ниже

##### Северный склон восточного

127	№ 127	пр. р. Акдзилга	склон.	СВ	1,0	1,0	0,2	0,2
128*	№ 128	пр. р. Акдзилга	вис.	СВ	0,6	0,6	0,1	0,1
129*	№ 129	пр. р. Акдзилга	вис.	СВ	0,6	0,6	0,1	0,1
130*	№ 130	пр. р. Акдзилга	вис.	СВ	0,5	0,5	0,1	0,1
131	№ 131	пр. р. Акдзилга	дол.	С	2,4	2,3	1,5	1,4
5 ледников							2,0	1,9

##### Бассейн р. Сарыгун

##### Восточные склоны хребтов

132	№ 132	пр. р. Сарыгун	дол.	СЗ	1,6	1,6	0,5	0,5
133	№ 133	пр. р. Сарыгун	дол.	СБ	1,2	1,2	0,3	0,3
134*	№ 134	пр. р. Сарыгун	дол., часть сл.дол.	С	2,8	2,7	1,2	1,2
135*	№ 135		склон., часть сл.дол.	СЗ	0,8	0,8	0,1	0,1
136*	№ 136		дол., часть сл.дол.	С	2,3	2,3	0,8	0,8

Сложный долинный ледник (№ 134—136) имеет наибольшую длину 2,8 км, площадь 2,1 км² и площадь области

137*	№ 137		дол.	В	0,7	0,7	0,1	0,1
138	№ 138	пр. р. Сарыгун	кар.-дол.	СВ	0,7	0,7	0,2	0,2
139*	№ 139	Сарыгун	дол.	С	4,0	3,9	3,6	3,5
140*	№ 140		дол.	З	0,6	0,6	0,1	0,1
141*	№ 141		вис.	З	0,6	0,6	0,2	0,2
142	№ 142		дол.	В	1,7	1,7	0,6	0,6
143	№ 143	пр. р. Сарыгун	склон.	В	1,5	1,5	0,6	0,6
144	№ 144	пр. р. Сарыгун	склон.	С	0,7	0,7	0,4	0,4
145	№ 145	пр. р. Сарыгун	дол.	СВ	2,0	2,0	0,7	0,7
146	№ 146	пр. р. Сарыгун	дол.	В	1,9	1,9	1,2	1,2
147	№ 147	пр. р. Сарыгун	склон.	СВ	1,5	1,5	0,9	0,9
148	№ 148	пр. р. Сарыгун	асимм. дол.	В	1,4	1,4	0,5	0,5
149	№ 149	пр. р. Сарыгун	дол.	В	0,6	0,6	0,2	0,2
150	№ 150	пр. р. Сарыгун	склон.	С	1,0	1,0	0,5	0,5
151	№ 151	пр. р. Сарыгун	дол.	С	1,6	1,6	0,7	0,7
152	№ 152	пр. р. Сарыгун	склон.	С	1,2	1,2	0,5	0,5
153*	№ 153	пр. р. Сарыгун	склон.	С	0,9	0,9	0,4	0,4
154*	№ 154	пр. р. Сарыгун	кар.	В	1,4	1,2	0,7	0,7
155*	№ 155	пр. р. Сарыгун	вис.	С	0,5	0,5	0,1	0,1
156	№ 156	пр. р. Сарыгун	склон.	СВ	0,7	0,7	0,3	0,3
25 ледников							15,4	15,3

Кроме того, в бассейне р. Сарыгун имеется 3 ледника размерами менее 0,1 км² каждый, общей площадью 0,2 км²  
 Итого 28 ледников 15,6

#### Бассейн верховьев р. Акдзилга

##### Восточный склон хр. Карабич,

157*	№ 157	Атджайляу	склон.	С	1,1	1,1	2,0	2,0
158*	№ 158	Атджайляу	дол.	СВ	1,6	1,6	1,0	1,0
159	№ 159	пр. р. Акдзилга	склон.	С	1,4	1,4	0,9	0,9
160	№ 160	пр. р. Акдзилга	асимм. дол.	В	2,1	2,1	0,7	0,7
161	№ 161	пр. р. Акдзилга	кар.	В	0,9	0,9	0,2	0,2
162*	№ 162	Акдзилга	склон.	СЗ	2,1	2,1	1,5	1,5
163	№ 163	пр. р. Акдзилга	склон.	С	1,4	1,4	1,4	1,4
164	№ 164	пр. р. Акдзилга	склон.	С	1,0	1,0	0,3	0,3
165	№ 165	пр. р. Акдзилга	склон.	С	1,5	1,5	0,9	0,9
166	№ 166	пр. р. Акдзилга	дол.	СЗ	1,1	1,1	0,7	0,7
10 ледников			склон.				9,6	9,6

Кроме того, в бассейне верховьев р. Акдзилга имеется 6 ледников размерами менее 0,1 км² каждый, общей

Итого 16 ледников

Всего в бассейне р. Акдзилга имеется 49 ледников общей площадью 27,5 км², в том числе 40 ледников размерами 0,1 км² каждый, общей площадью 0,5 км²

Высота, м			Фирновая линия		Площадь области аблации, км <sup>2</sup>		Объем льда, км <sup>3</sup>	Ссылки на последующие таблицы и иллюстрации № таблиц и иллюстраций порядковые № сведений в таблицах
нижней точки конца ледника	нижней точки открытой части ледника	высшей точки ледника	высота, м	способ определения и дата	Общая	в том числе открытой части		
10	11	12	13	14	15	16	17	18
4950	4950	5820						
4800	4890	5820						
4970	4990	5650						V/4

более 0,1 км<sup>2</sup> каждый, общей площадью 49,6 км<sup>2</sup> (из них 2,1 км<sup>2</sup> покрыто мореной) и 50 ледников размерами

#### устья р. Сарыгун (р. Акджилга, оз. Каракуль)

отрога хр. Зулумарт

4900	4900	5260	5100	АФС 1946 г.	0,1	0,1		
5000	5000	5360	5100	АФС 1946 г.	—	—		
4910	4910	5370	5100	АФС 1946 г.	—	—		
4930	4930	5260	5100	АФС 1946 г.	—	—		
4680	4690	5210	4950	АФС 1946 г.	0,5 0,6	0,4		

#### (р. Акджилга, оз. Каракуль)

Зулумарт и Караким

4680	4680	5410	5100	АФС 1946 г.	0,2	0,2		
4680	4680	5360	5100	АФС 1946 г.	0,1	0,1		
4710	4710	5550	5000	АФС 1946 г.	0,5	0,5		
4810	4810	5240	5000	АФС 1946 г.	—	—		
4720	4720	5500	5000	АФС 1946 г.	0,3	0,3		

абляции 0,8 км<sup>2</sup>

4870	4870	5160	5000	АФС 1946 г.	—	—		
4830	4830	5230	5000	АФС 1946 г.	0,1	0,1		
4580	4580	5500	(5000)	АФС 1946 г.	(1,4)	(1,4)		
5040	5040	5180	5100	АФС 1946 г.	0,1	0,1		
5060	5060	5200	5100	АФС 1946 г.	—	—		
4760	4760	5460	(5100)	АФС 1946 г.	(0,3)	(0,3)		
4800	4800	5400	(5100)	АФС 1946 г.	(0,2)	(0,2)		
4900	4900	5210	(5000)	АФС 1946 г.	(0,2)	(0,2)		
4870	4870	5420	(5000)	АФС 1946 г.	(0,2)	(0,2)		
4750	4750	5280	(4950)	АФС 1946 г.	(0,4)	(0,4)		
4740	4740	5350	(4950)	АФС 1946 г.	(0,2)	(0,2)		
4680	4680	5270	(4950)	АФС 1946 г.	(0,2)	(0,2)		
4820	4820	5090	(4950)	АФС 1946 г.	(0,1)	(0,1)		
4720	4720	5320	(4950)	АФС 1946 г.	(0,2)	(0,2)		
4690	4690	5330						
4800	4800	5250	(4950)	АФС 1946 г.	(0,2)	(0,2)		
4840	4840	5240						
4920	4980	5550						
4820	4820	5140	(4950)	АФС 1946 г.	—	—		
4900	4900	5200	(4950)	АФС 1946 г.	(0,1)	(0,1)		

#### (оз. Каракуль)

западный склон хр. Каракуль

4780	4780	5320	4950	АФС 1946 г.	0,8	0,8		
4820	4820	5310	(4950)	АФС 1946 г.	(0,3)	(0,3)		
4850	4850	5230						
4950	4950	5410	(5000)	АФС 1946 г.	(0,2)	(0,2)		
4990	4990	5450	(5050)	АФС 1946 г.	(0,1)	(0,1)		
4900	4900	5400	5100	АФС 1946 г.	(0,6)	(0,6)		
4850	4850	5340	5000	АФС 1946 г.	0,5	0,5		
4700	4700	5160	5000	АФС 1946 г.	0,2	0,2		
4750	4750	5250	5000	АФС 1946 г.	0,5	0,5		
4900	4900	5280	5050	АФС 1946 г.	0,4	0,4		

площадью 0,3 км<sup>2</sup>

более 0,1 км<sup>2</sup> каждый, общей площадью 27,0 км<sup>2</sup> (из них 0,2 км<sup>2</sup> покрыто мореной) и 9 ледников размерами менее

рис. 5

№ по схеме	Название	Название реки, вытекающей из ледника	Морфологический тип	Общая экспозиция	Наибольшая длина, км		Площадь, км²	
					всего ледника	в том числе открытой части	всего ледника	в том числе открытой части
1	2	3	4	5	6	7	8	9

**Бассейн р. Безымянной I\***

Восточный склон

167*	№ 167 № 168 2 ледника	пр. р. Безымянной I Безымянная I	вис. дол.	СВ С	0,5 1,5	0,5 1,5	0,1 0,3 0,4	0,1 0,3 0,4
------	-----------------------------	-------------------------------------	-----------	------	------------	------------	-------------------	-------------------

Кроме того, в бассейне р. Безымянной I имеется 2 ледника размерами менее 0,1 км² каждый, общей площадью 0,1 км²  
Итого 4 ледника

**Бассейн р. Безымянной II\*\***

Восточный склон

169*	№ 169 № 170 № 171 № 172 4 ледника	Безымянная II пр. р. Безымянной II пр. р. Безымянной II пр. р. Безымянной II	дол. склон. дол. асимм. дол.	С В В	2,6 0,7 0,8 1,8	2,6 0,7 0,8 1,8	2,4 0,3 0,3 1,2 4,2	2,4 0,3 0,3 1,2 4,2
------	---	---	---------------------------------	-------	--------------------------	--------------------------	---------------------------------	---------------------------------

Кроме того, в бассейне р. Безымянной II имеется 3 ледника размерами менее 0,1 км², общей площадью 0,2 км²  
Итого 7 ледников

**Бассейн р. Карагаш (р. Караджилга,**

Восточный склон

173* 174* 175	№ 173 № 174 № 175 3 ледника	Карагаш пр. п. Карагаш пр. п. Карагаш	асимм. дол. асимм. дол. дол.	СВ СВ С	2,4 2,4 0,9	2,4 2,4 0,9	1,8 1,6 0,4 3,8	1,8 1,6 0,4 3,8
---------------------	--------------------------------------	---	------------------------------------	---------	-------------------	-------------------	--------------------------	--------------------------

Кроме того, в бассейне р. Карагаш имеется 2 ледника размерами менее 0,1 км² каждый, общей площадью 0,1 км²  
Итого 5 ледников

**Бассейн правого притока Караджилга выше устья**

Западный склон хр. Каракуль

176* 177 178* 179 4 ледника	№ 176 № 177 № 178 № 179 4 ледника	пр. р. Караджилга пр. р. Караджилга пр. р. Караджилга пр. р. Караджилга	склон. склон. дол. асимм. дол.	С СЗ С	0,8 0,7 2,7 1,4	0,8 0,7 2,7 1,4	0,4 0,5 2,4 1,3 4,6	0,4 0,5 2,4 1,3 4,6
---	---	--	-----------------------------------	--------	--------------------------	--------------------------	---------------------------------	---------------------------------

Кроме того, в бассейне правого притока р. Караджилга выше устья р. Карагаш имеется 6 ледников размерами 4,9

**Бассейн правого притока р. Караджилга ниже устья**

Северный склон отрога

180*	№ 180 1 ледник	пр. р. Караджилга	склон.	С	1,0	1,0	0,4 0,4	0,4 0,4
------	-------------------	-------------------	--------	---	-----	-----	------------	------------

**Бассейн р. Карагаш (р. Караджилга),  
Западный склон отрога хр. Каракуль**

181 182* 183* 184* 185 186 187* 188* 189* 190 191 192*	№ 181 № 182 № 183 № 184 № 185 № 186 № 187 № 188 № 189 № 190 № 191 № 192	пр. р. Карагаш пр. р. Карагаш пр. р. Карагаш пр. р. Карагаш пр. р. Карагаш пр. р. Карагаш пр. р. Карагаш Карагаш пр. р. Карагаш пр. р. Карагаш пр. р. Карагаш пр. р. Карагаш	склон. вис. склон. дол. асимм. дол. вис. дол. дол. склон. дол. склон.	С3 С3 С С В С В С В С В С	1,1 0,2 1,0 1,1 1,8 1,0 2,6 3,2 1,0 1,5 1,3 1,0	1,1 0,2 1,0 1,1 1,8 1,0 2,6 3,2 1,0 1,5 1,3 1,0	0,5 0,1 0,4 0,6 0,8 0,3 1,4 1,8 0,5 1,1 0,5 0,4	0,5 0,1 0,4 0,6 0,8 0,3 1,4 1,8 0,5 1,1 0,5 0,4
12 ледников							8,4	8,4

Кроме того, в бассейне р. Карагаш имеется 12 ледников размерами менее 0,1 км² каждый, общей площадью 0,6 км²  
Итого 24 ледника

**Бассейн верховьев р. Караджилга, выше устья**

Западный склон хр. Карагаш, восточный склон

193* 194 195* 196 197* 198*	№ 193 № 194 № 195 № 196 № 197 № 198	пр. р. Караджилга пр. р. Караджилга пр. р. Караджилга пр. р. Караджилга пр. р. Караджилга пр. р. Караджилга	вис. дол. вис. дол. дол. асимм. дол. дол.	С3 С С3 С С3	0,4 1,1 1,0 1,5 2,2 4,0	0,4 1,1 1,0 1,5 2,2 4,0	0,1 0,6 0,2 0,8 1,0 2,8	0,1 0,6 0,2 0,8 1,0 2,8
--	--	--	--	--------------	--	--	--	--

Высота, м			Фирновая линия		Площадь области аблации, км <sup>2</sup>		Объем льда, км <sup>3</sup>	Ссылки на последующие таблицы (иллюстрации) № таблиц и иллюстраций порядковые № сведений в таблицах
нижней точки конца ледника	нижней точки открытой части ледника	высшей точки ледника	высота, м	способ определения и дата	общая	в том числе открытой части		
10	11	12	13	14	15	16	17	18

## (оз. Каракуль)

хр. Каракуль

4920	4920	5180	5100	АФС 1946 г.	0,1	0,1		
4900	4900	5250	5150	АФС 1946 г.	0,2	0,2		

## (оз. Каракуль)

хр. Каракуль

4680	4680	5330	5100	АФС 1946 г.	1,2	1,2		
4930	4930	5320	5100	АФС 1946 г.	0,1	0,1		
5100	5100	5520	(5150)	АФС 1946 г.	(0,1)	(0,1)		
4840	4840	5440	(5150)	АФС 1946 г.	(0,7)	(0,7)		

рис. 6

## оз. Каракуль)

хр. Каракуль

4770	4770	5310	5150	АФС 1946 г.	1,4	1,4		
4860	4860	5440	5200	АФС 1946 г.	1,0	1,0		
4870	4870	5300	5200	АФС 1946 г.	0,3	0,3		

## р. Каараташ (р. Караджилга, оз. Каракуль)

и восточный склон его отрога

5000	5000	5320	(5200)	АФС 1946 г.	(0,3)	(0,3)		
5200	5200	5460	5250	АФС 1946 г.	0,1	0,1		
4620	4620	5380	5150	АФС 1946 г.	1,1	1,1		
4920	4920	5360	5150	АФС 1946 г.	0,9	0,9		

менее 0,1 км<sup>2</sup> каждый, общей площадью 0,3 км<sup>2</sup>

## р. Каачим (р. Караджилга, оз. Каракуль)

хр. Каракуль

4960	4960	5200	(5150)	АФС 1946 г.	(0,3)	(0,3)		
------	------	------	--------	-------------	-------	-------	--	--

## оз. Каракуль)

и восточный склон хр. Каачим

4980	4980	5300	5150	АФС 1946 г.	0,3	0,3		
5250	5250	5320						
4990	4990	5420	(5150)	АФС 1946 г.	(0,3)	(0,3)		
4970	4970	5400	(5150)	АФС 1946 г.	(0,4)	(0,4)		
4700	4700	5470	5050	АФС 1946 г.	0,4	0,4		
4680	4680	(5350)	5050	АФС 1946 г.	0,2	0,2		
4780	4780	5680	5050	АФС 1946 г.	0,6	0,6		
4860	4860	5540	5050	АФС 1946 г.	0,7	0,7		
4670	4670	5250	5050	АФС 1946 г.	0,3	0,3		
4770	4770	5270	5050	АФС 1946 г.	0,6	0,6		
4800	4800	(5200)	5050	АФС 1946 г.	0,3	0,3		
4790	4790	5450	5050	АФС 1946 г.	0,2	0,2		

рис. 5

## р. Байгашка (р. Караджилга, оз. Каракуль)

хр. Зулумарт, северо-восточный склон хр. Коммунаров

4980	4980	5140	5100	АФС 1946 г.	—	—		
4790	4790	5350	5100	АФС 1946 г.	0,3	0,3		
4890	4890	5400	5100	АФС 1946 г.	—	—		
4800	4800	5310	5100	АФС 1946 г.	0,3	0,3		
4640	4640	5300	5100	АФС 1946 г.	0,5	0,5		
4790	4790	5300	5100	АФС 1946 г.	1,0	1,0		

№ по схеме	Название:	Название реки, вытекающей из ледника	Морфологический тип	Общая экспози- ция	Наибольшая длина, км		Площадь, км²	
					всего ледника	в том числе открытой части	всего ледника	в том числе открытой части
1	2	3	4	5	6	7	8	9
199*	№ 199	пр. р. Караджилга	вис.	C3	0,6	0,6	0,2	0,2
200	№ 200	пр. р. Караджилга	дол.	C3	2,2	2,2	1,3	1,3
201*	№ 201	Караджилга	дол.	C	3,9	3,9	3,3	3,3
202*	№ 202	пр. р. Караджилга	дол.	C3	1,5	1,5	0,3	0,3
203*	№ 203	пр. р. Караджилга	вис.	CB	0,9	0,9	0,1	0,1
204*	№ 204	пр. р. Караджилга	дол.	CB	3,5	3,5	2,9	2,8
205*	№ 205	пр. р. Караджилга	(вис.)	(B)	(0,5)	(0,5)	(0,1)	(0,1)
206*	№ 206	пр. р. Караджилга	асимм. дол.	CB	1,9	1,9	0,6	0,6
207*	№ 207	пр. р. Караджилга	вис.	C	0,7	0,7	0,2	0,2
208*	№ 208	пр. р. Караджилга	вис.	C	0,5	0,5	0,1	0,1
209*	№ 209	пр. р. Караджилга	склон.	C	1,7	1,7	0,6	0,6
210*	№ 210	пр. р. Караджилга	дол.	C	(2,0)	(2,0)	(1,6)	(1,6)
211*	№ 211	пр. р. Караджилга	кар.	CB	(0,4)	(0,4)	(0,1)	(0,1)
212*	№ 212	пр. р. Караджилга	кар.	CB	(0,4)	(0,4)	(0,2)	(0,2)
213	№ 213	пр. р. Караджилга	дол.	B	1,6	1,6	0,9	0,9
214	№ 214	пр. р. Караджилга	дол.	ЮВ	1,2	1,2	0,5	0,5
215*	№ 215	пр. р. Караджилга	дол.	C	1,4	1,4	0,6	0,6
216*	№ 216	пр. р. Караджилга	дол.	CB	2,6	2,6	1,4	1,4
217	№ 217	пр. р. Караджилга	дол.	B	2,5	2,5	1,5	1,5
218*	№ 218	пр. р. Караджилга	склон.	CB	1,1	1,1	0,5	0,5
219*	№ 219	пр. р. Караджилга	склон.	CB	1,4	1,4	0,7	0,7
220*	№ 220	пр. р. Караджилга	дол.	CB	1,8	1,8	0,8	0,8
221	№ 221	пр. р. Караджилга	дол.	B, ЮВ	2,5	2,5	1,5	1,5
222*	№ 222	пр. р. Караджилга	дол.	CB, B	4,2	4,2	2,3	2,3
223*	№ 223	пр. р. Караджилга	вис.	CB	0,3	0,3	0,1	0,1
224	№ 224	пр. р. Караджилга	кар.	ЮВ	0,9	0,9	0,3	0,3
225	№ 225	пр. р. Караджилга	кар.-дол.	CB	1,0	1,0	0,8	0,8
226	№ 226	пр. р. Караджилга	асимм. дол.	CB	1,6	1,6	0,8	0,8
227	№ 227	пр. р. Караджилга	склон.	C	0,8	0,8	0,8	0,8
228	№ 228	пр. р. Караджилга	кар.	B	0,7	0,7	0,3	0,3
229	№ 229	пр. р. Караджилга	склон.	CB	0,7	0,7	0,1	0,1
37 ледников							31,1	30,9

Кроме того, в бассейне верховьев р. Караджилга имеется 9 ледников размерами менее 0,1 км² каждый, общей

Итого 46 ледников

Бассейн р. Байгашка								
230*	№ 230	пр. р. Байгашка	вис.	C3	0,4	0,4	0,1	0,1
231	№ 231	пр. р. Байгашка	вис.	CB	0,9	0,9	0,5	0,5
232*	№ 232	пр. р. Байгашка	вис.	C3	0,8	0,8	0,2	0,2
233	№ 233	пр. р. Байгашка	вис.	C3	0,5	0,5	0,1	0,1
234*	№ 234	пр. р. Байгашка	асимм. дол.	CB	1,5	1,5	0,4	0,4
235	№ 235	пр. р. Байгашка	дол.	B	1,3	1,3	0,3	0,3
236	№ 236	пр. р. Байгашка	кар.	CB	0,9	0,9	0,2	0,2
237	№ 237	пр. р. Байгашка	дол.	CB	1,0	1,0	0,2	0,2
238*	№ 238	пр. р. Байгашка	вис.дол.	C	1,2	1,2	0,3	0,3
239*	№ 239	пр. р. Байгашка	вис.дол.	C	1,1	1,1	0,4	0,4
240*	№ 240	пр. р. Байгашка	асимм. дол.	C3	3,8	3,8	3,4	3,4
241*	№ 241	пр. р. Байгашка	дол., часть сл.дол.	C3	4,7	4,7	2,1	2,1
242*	№ 242	пр. р. Байгашка	вис.дол., часть сл.дол.	C3	3,5	3,0	0,9	0,8
Сложный долинный ледник (№ 241, 242) имеет наибольшую длину 4,7 км.				площадь	3,0 км²	(в том числе	0,1 км²	
243*	Володарского	пр. р. Байгашка	дол., часть сл.дол.	C	9,3	9,0	7,0	6,9
244*	Володарского	пр. р. Байгашка	дол., часть сл.дол.	CB	9,2	8,9	6,4	6,2
245*	Володарского	пр. р. Байгашка	дол., часть сл.дол.	C3, C	5,9	5,2	4,7	4,6
Сложный долинный ледник Володарского (№ 243—245) имеет наибольшую длину 9,3 км.				площадь	18,1 км²	(в том числе	0,1 км²	
246*	№ 246		склон.	C3	1,4	1,4	0,8	0,8
247*	№ 247		вис.	C3	0,7	0,7	0,1	0,1
248*	№ 248		дол.	C3, ЮЗ	2,6	2,5	1,2	1,2
249*	№ 249		вис.	ЮВ	1,2	1,2	0,3	0,3
250*	№ 250		вис.	ЮВ	1,0	1,0	0,4	0,4
251*	№ 251		вис.	ЮВ	1,1	1,1	0,5	0,5
252*	№ 252		вис.	ЮВ	1,0	1,0	0,4	0,4
253*	№ 253	пр. р. Байгашка	кар.	CB	0,7	0,7	0,2	0,2
254*	№ 254	пр. р. Байгашка	дол.	CB, B	4,9	4,9	3,5	3,5
255*	№ 255	пр. р. Байгашка	склон.	C	0,6	0,6	0,3	0,3
256*	№ 256	пр. р. Байгашка	кар.	ЮВ	0,6	0,6	0,1	0,1
257*	№ 257	пр. р. Байгашка	дол.	ЮВ	2,0	2,0	0,9	0,9
258*	№ 258	пр. р. Байгашка	кар.	ЮВ	0,8	0,8	0,2	0,2
259*	№ 259	пр. р. Байгашка	дол.	Ю	2,8	2,8	1,7	1,7
260.	№ 260	пр. р. Байгашка	дол.	ЮВ	1,8	1,8	0,7	0,7
261*	№ 261	пр. р. Байгашка	дол.	B	3,9	3,5	2,1	2,0
262*	№ 262	пр. р. Байгашка	дол.	ЮВ	3,3	3,3	1,4	1,4

Высота, м			Фирновая линия		Площадь области аблации, км <sup>2</sup>		Объем льда, км <sup>3</sup>	Ссылки на последующие таблицы (илюстрации) № таблиц и иллюстраций порядковые № свидетельств в таблицах
нижней точки конца ледника	нижней точки открытой части ледника	высшей точки ледника	высота, м	способ определения и дата	общая	в том числе открытой части		
10	11	12	13	14	15	16	17	18
5050	5050	5310	5100	АФС 1946 г.	—	—		
4850	4850	5600	5100	АФС 1946 г.	0,4	0,4		
4750	4750	5500	5100	АФС 1946 г.	1,6	1,6		
4780	4780	5590	5100	АФС 1946 г.	0,1	0,1		
4960	4960	5340	5100	АФС 1946 г.	—	—		
4650	4650	5450	4950	а.-виз. 1971 г.	1,0	0,9		
(5200)	(5200)	(5420)	(5200)	а.-виз. 1971 г.	—	—		
4720	4720	5380	5100	а.-виз. 1971 г.	0,3	0,3		
4900	4900	5200	5000	а.-виз. 1971 г.	—	—		
4980	4980	5300	5000	а.-виз. 1971 г.	—	—		
4700	4700	5380	5000	а.-виз. 1971 г.	0,2	0,2		
(4780)	(4780)	(5320)	(5000)	а.-виз. 1971 г.	(0,8)	(0,7)		
(5000)	(5000)	(5250)	(5100)	а.-виз. 1971 г.	—	—		
(5100)	(5100)	(5300)	(5150)	а.-виз. 1971 г.	(0,1)	(0,1)		
5000	5000	5480	(5200)	АФС 1946 г.	(0,3)	(0,3)		
5080	5080	(5520)	(5200)	АФС 1946 г.	(0,2)	(0,2)		
4850	4850	5380	(5000)	а.-виз. 1971 г.	(0,3)	(0,3)		
4850	4850	5450	(5000)	а.-виз. 1971 г.	(0,6)	(0,6)		
4900	4900	5500	(5050)	а.-виз. 1971 г.	(0,6)	(0,6)		
4880	4880	5480	(5100)	а.-виз. 1971 г.	(0,2)	(0,2)		
4900	4900	5520	(5100)	а.-виз. 1971 г.	(0,3)	(0,3)		
5000	5000	5400	(5150)	а.-виз. 1971 г.	(0,4)	(0,4)		
4960	4960	(5500)	(5100)	а.-виз. 1971 г.	(0,6)	(0,6)		
4800	4800	5580	(5000)	а.-виз. 1971 г.	(1,0)	(1,0)		
(5000)	(5000)	(5150)	(5100)	а.-виз. 1971 г.	—	—		
5080	5080	5280	(5150)	а.-виз. 1971 г.	(0,1)	(0,1)		
4840	4840	5300	(5000)	а.-виз. 1971 г.	(0,3)	(0,3)		
(4700)	(4700)	(5400)	(5000)	а.-виз. 1971 г.	(0,3)	(0,3)		
(4720)	(4720)	(5300)	(5000)	а.-виз. 1971 г.	(0,3)	(0,3)		
(4880)	(4880)	(5100)	(5000)	а.-виз. 1971 г.	(0,1)	(0,1)		
4800	4800	5100	(5000)	а.-виз. 1971 г.	(0,1)	(0,1)		

площадью 0,5 км<sup>2</sup>

рис. 16

рис. 17

рис. 20

рис. 20

#### (р. Караджилга, оз. Каракуль)

северо-западный склон хр. Коммунаров

4600	4600	5000	(4900)	а.-виз. 1971 г.	—	—		
4600	4600	5250	4900	а.-виз. 1971 г.	0,2	0,2		
4780	4780	5300	(4900)	а.-виз. 1971 г.	—	—		
4900	4900	5150						
4640	4640	5050						
4830	4830	5200						
4660	4660	4920						
4700	4700	(4950)						
(4520)	(4520)	(5340)						
4650	4650	(5200)						
4650	4650	5460	(4950)	а.-виз. 1971 г.	1,5	1,5		
4490	4490	5540	5000	а.-виз. 1971 г.	1,0	1,0		
4710	4750	5500	5000	а.-виз. 1971 г.	0,4	0,3		
закрыто мореной) и площадь области аблации 1,4 км <sup>2</sup>								
4500	4550	5560	4900	АФС 1946 г.	2,0	1,9	V/4,5; рис. 7, 22	
4500	4550	5540	5000	АФС 1946 г.	3,2	3,0	V/4,5; рис. 22	
4640	4690	5750	4850	АФС 1946 г.	1,5	1,4	V/4,5; рис. 22	
числе 0,4 км <sup>2</sup> закрыто мореной) и площадь области аблации 6,7 км <sup>2</sup>								
4700	4700	5660	5000	а.-виз. 1971 г.	0,3	0,3		
4700	4700	5230	5000	а.-виз. 1971 г.	—	—		
4790	4800	5360						
4910	4910	5550	5100	а.-виз. 1971 г.	0,1	0,1		
4890	4890	(5500)	5100	а.-виз. 1971 г.	0,2	0,2		
4900	4900	(5520)	5150	а.-виз. 1971 г.	0,2	0,2		
4920	4920	(5540)	5150	а.-виз. 1971 г.	0,1	0,1		
4940	4940	(5250)						
4570	4570	5650						
4740	4740	5550						
4950	4950	5200	(5150)	а.-виз. 1971 г.	—	—		
4840	4840	5400	(5150)	а.-виз. 1971 г.	(0,4)	(0,4)		
5180	5180	5440	(5200)	а.-виз. 1971 г.	—	—		
4920	4920	5560	5200	а.-виз. 1971 г.	0,8	0,8		
4900	4900	5400	5200	а.-виз. 1971 г.	0,4	0,4		
4600	4620	5640	5150	а.-виз. 1971 г.	1,1	1,0		
4700	4700	5340	(5150)	а.-виз. 1971 г.	(0,7)	(0,7)		

рис. 7

рис. 25

№ по схеме	Название	Название реки, вытекающей из ледника	Морфологический тип	Общая экспозиция	Наибольшая длина, км		Площадь, км²	
					всего ледника	в том числе открытой части	всего ледника	в том числе открытой части
1	2	3	4	5	6	7	8	9
263	№ 263	пр. р. Байгашка	дол.	ЮВ	2,3	2,3	0,9	0,9
264*	№ 264	пр. р. Байгашка	дол.	ЮВ	3,0	2,6	1,4	1,4
265*	№ 265	пр. р. Байгашка	дол.	Ю	1,6	1,5	0,7	0,7
266*	№ 266		вис.	ЮЗ	0,4	0,4	0,1	0,1
267*	№ 267	пр. р. Байгашка	вис.	ЮВ	0,7	0,7	0,2	0,2
268*	№ 268	пр. р. Байгашка	дол.	ЮВ	2,2	2,0	0,8	0,7
269*	№ 269	пр. р. Байгашка	дол.	ЮВ	3,5	3,3	1,1	1,0
40 ледников						47,2	46,3	
Кроме того, в бассейне р. Байгашка имеется 16 ледников размерами менее 0,1 км² каждый, общей площадью 0,6 км²								
Итого 56 ледников								
Бассейн р. Коксай								
Восточный склон хр. Зулумарт, южный склон Заалайского								
270	№ 270	Кокчукур	склон.	СВ	1,4	1,4	1,0	1,0
271*	№ 271	пр. р. Коксай	склон.	СВ	1,6	1,6	1,2	1,2
272*	№ 272	пр. р. Коксай	дол., часть сл.дол.	СВ	6,9	6,6	7,0	6,9
273*	№ 273	пр. р. Коксай	дол., часть сл.дол.	СВ	4,9	4,4	3,5	3,4
Сложный долинный ледник (№ 272, 273)				имеет наибольшую длину 6,9 км², площадь 10,5 км² (в том числе 0,2 км²)				
274*	№ 274		вис.	СЗ	0,8	0,8	0,1	0,1
275*	Октябрьский	Коксай	дол., часть дендр.	Ю, ЮВ	19,0	18,3	32,0	29,4
276*	Западный Октябрьский		дол., часть дендр.	СВ	13,6	13,1	18,4	17,8
277*	№ 277		дол., часть дендр.	В	8,4	4,6	4,7	4,0
278*	№ 278		(склон.), часть дендр.	В	4,4	3,4	2,4	2,3
279*	№ 279		(склон.), часть дендр.	В	2,8	2,8	1,4	1,4
280*	№ 280		(склон.), часть дендр.	В	2,2	1,9	1,5	1,5
281*	№ 281		(склон.), часть дендр.	ЮВ	3,5	2,5	1,7	1,6
282*	№ 282		дол., часть дендр.	ЮВ	7,3	6,3	3,9	3,7
283*	№ 283		дол., часть сл.дол.	ЮЗ	15,2	14,1	9,3	8,8
284*	№ 284		(вис.дол.), часть сл.дол.	ЮВ	1,5	1,5	2,6	2,6
Сложный долинный ледник (№ 283, 284), часть дендритового ледника				Октябрьский, имеет наибольшую длину				
285*	№ 285		дол., часть сл.дол.	Ю	6,8	6,8	6,9	6,8
286*	№ 286		дол., часть сл.дол.	В, ЮЗ	4,4	4,0	1,8	1,7
287*	№ 287		дол., часть сл.дол.	ЮЗ	4,6	4,1	1,6	1,5
Сложный долинный ледник (№ 285—287), част. дендритового ледника				Октябрьский, имеет наибольшую длину				
Дендритовый ледник (№ 275—287) имеет наибольшую длину 19,0 км, общую площадь 88,2 км² (в том числе				общую площадь 88,2 км² (в том числе				
288	№ 288		склон.	В	0,9	0,9	0,2	0,2
289*	№ 289		вис.	В	0,9	0,9	0,2	0,2
290*	№ 290		вис.	В	1,0	1,0	0,3	0,3
291*	№ 291		склон.	З	1,8	1,8	0,8	0,8
292*	№ 292		дол.	З	2,1	2,1	0,6	0,6
293*	№ 293		склон.	В	0,4	0,4	0,1	0,1
294*	№ 294		дол., часть сл.дол.	ЮВ, ЮЗ	5,5	5,2	2,9	2,8
295*	№ 295		дол., часть сл.дол.	ЮЗ	5,7	5,7	1,8	1,8
296*	№ 296		дол., часть сл.дол.	З	6,6	6,2	4,2	4,0
Сложный долинный ледник (№ 294—296) имеет наибольшую длину 6,6 км, площадь 8,9 км² (в том числе 0,3 км²				длину 6,6 км, площадь 8,9 км² (в том числе 0,3 км²				
297*	№ 297		дол.	ЮВ	1,3	1,3	0,5	0,5
298*	№ 298		склон.	ЮЗ	0,9	0,9	0,2	0,2
299*	№ 299		дол.	З	2,6	2,6	0,9	0,9
Итого в бассейне дендритового ледника Октябрьский находится 25 ледников размерами более 0,1 км² каждый, общей				размерами более 0,1 км² каждый, общей				
300*	№ 300	пр. р. Коксай	дол., часть сл.дол.	ЮВ, ЮЗ	3,6	3,5	1,4	1,3
301*	№ 301	пр. р. Коксай	дол., часть сл.дол.	Ю, ЮЗ	3,9	3,8	1,6	1,5
Сложный долинный ледник (№ 300, 301) имеет наибольшую длину 3,9 км, общую площадь 3,0 км² (в том числе				общую площадь 3,0 км² (в том числе				
302	№ 302	пр. р. Коксай	дол.	Ю	3,7	3,7	1,7	1,7
303*	№ 303		вис.	ЮВ	0,6	0,6	0,1	0,1
304	№ 304	пр. р. Коксай	дол.	СЗ, Ю	1,4	1,4	0,6	0,6
305	№ 305		склон.	С, З	1,2	1,2	0,5	0,5
306*	№ 306	пр. р. Коксай	склон.	СЗ	2,7	2,7	3,1	3,1
307*	№ 307	пр. р. Коксай	склон.	С	2,3	1,3	0,8	0,8
308	№ 308	пр. р. Коксай	склон.	З	0,7	0,7	0,2	0,2
309*	№ 309	пр. р. Коксай	склон.	С	1,2	1,2	0,7	0,7
310*	№ 310	пр. р. Коксай	склон.	С	1,1	1,1	0,7	0,7
41 ледник					125,1	119,3		
Кроме того, в бассейне р. Коксай имеется 24 ледника размерами менее 0,1 км² каждый, общей площадью 1,0 км²				размерами менее 0,1 км² каждый, общей площадью 1,0 км²				
Итого 65 ледников					126,1			

Всего в бассейне р. Караджилга имеется 207 ледников общей площадью 223,7 км², в том числе 138 ледников размером 0,1 км² каждый, общей площадью 3,1 км²

Всего в бассейне оз. Каракуль имеется 483 ледника общей площадью 385,5 км², в том числе 310 ледников размерами каждый, общей площадью 8,9 км²

нижней точки конца ледника	Высота, м			Фирновая линия		Площадь области, аблакции, км <sup>2</sup>	Объем льда, км <sup>3</sup>	Ссылки на последующие таблицы (илюстрации) № таблиц и иллюстраций порядковые № сведений в таблицах
	нижней точки открытой части ледника	высшей точки ледника	высота, м	способ определения и дата		общая		
10	11	12	13	14	15	16	17	18
4780	4780	5400	(5200)	а.-виз. 1971 г.	(0,4)	(0,4)		
4750	4800	5400	(5150)	а.-виз. 1971 г.	(0,4)	(0,4)		
4870	4880	5350						
5260	5260	5430						
5100	5100	5260						
4790	4800	5300	5100	а.-виз. 1971 г.	0,6	0,5		
4610	4650	5540	5100	а.-виз. 1971 г.	0,7	0,6		

рис. 18

#### (р. Караджилга, оз. Каракуль)

хребта, юго-западный склон южного отрога Заалайского хребта

4700	4700	5180	5000	АФС 1946 г.	0,5	0,5		
4790	4790	5150	5000	АФС 1946 г.	0,6	0,6		
4570	4590	5440	5000	АФС 1946 г.	3,0	2,9		
4570	4620	5410	4950	АФС 1946 г.	1,5	1,4		
закрыто мореной) и площадь области аблакции 4,5 км <sup>2</sup>								
4800	4800	5180	5000	АФС 1946 г.	—	—		
4440	4470	6780	5200	АФС 1946 г.	9,9	7,3		
4520	4550	6710	4950	АФС 1946 г.	4,9	4,3		
4460	4620	5960	(5000)	АФС 1946 г.	(2,0)	(1,3)		
4660	4720	6100	(5050)	АФС 1946 г.	(0,6)	(0,5)		
4760	4760	6100	(5050)	АФС 1946 г.	(0,4)	(0,4)		
4810	4830	6140	(5050)	АФС 1946 г.	(0,4)	(0,4)		
4820	4860	6260	(5050)	АФС 1946 г.	(0,5)	(0,4)		
4820	4890	6600	(5100)	АФС 1946 г.	(1,5)	(1,3)		
4580	4680	6620	5500	АФС 1946 г.	4,2	3,7		
5300	5300	6600	5500	АФС 1946 г.	—	—		
15,2 км, площадь 11,9 км <sup>2</sup> (в том числе 0,5 км <sup>2</sup> закрыто мореной) и								
4570	4570	6120	5300	АФС 1946 г.	1,0	0,9		
4590	4700	6000	5250	АФС 1946 г.	0,5	0,4		
4570	4570	5830	5200	АФС 1946 г.	0,5	0,4		
6,8 км, общую площадь 10,3 км <sup>2</sup> (в том числе 0,3 км <sup>2</sup> закрыто мореной) и площадь области аблакции 2,0 км <sup>2</sup>								
5,1 км <sup>2</sup> закрыто мореной) и площадь области аблакции 26,4 км <sup>2</sup>								
4870	4870	5380	5000	АФС 1946 г.	0,1	0,1		
5020	5020	5620	5050	АФС 1946 г.	—	—		
(5400)	(5400)	(5900)	(5400)	АФС 1946 г.	—	—		
5010	5010	5800	5250	АФС 1946 г.	0,3	0,3		
4880	4880	5900	5250	АФС 1946 г.	0,2	0,2		
5160	5160	5400	(5200)	АФС 1946 г.	—	—		
4610	4640	5820	5250	АФС 1946 г.	1,0	0,9		
4610	4640	5800	5250	АФС 1946 г.	0,6	0,6		
4560	4620	5630	5150	АФС 1946 г.	1,2	1,0		
закрыто мореной) и площадь области аблакции 2,8 км <sup>2</sup>								
5030	5000	5830	(5200)	АФС 1946 г.	(0,1)	(0,1)		
5200	5200	5580	5250	АФС 1946 г.	—	—		
4890	4890	5800	5200	АФС 1946 г.	0,4	0,4		
площадью 72,9 км <sup>2</sup> (в том числе 5,5 км <sup>2</sup> закрыто мореной) и 7 ледниками размерами менее 0,1 км <sup>2</sup> каждый, общей площадью 0,3 км <sup>2</sup>								
4740	4760	5810	5250	АФС 1946 г.	0,6	0,5		
4740	4760	5700	5200	АФС 1946 г.	0,7	0,6		
0,2 км <sup>2</sup> закрыто мореной) и площадь области аблакции 1,3 км <sup>2</sup>								
4750	4750	5870	5200	АФС 1946 г.	0,7	0,7		
5160	5160	5640	5200	АФС 1946 г.	—	—		
4890	4890	5390	5150	АФС 1946 г.	0,2	0,2		
4880	4880	5370	5000	АФС 1946 г.	0,2	0,2		
4660	4660	5280	5000	АФС 1946 г.	1,6	1,6		
4660	4660	5210	4950	АФС 1946 г.	0,4	0,4		
4960	4960	5180	5000	АФС 1946 г.	0,1	0,1		
4730	4730	5170	4900	АФС 1946 г.	0,2	0,2		
4750	4750	5210	4900	АФС 1946 г.	0,2	0,2		

рис. 13, 23  
рис. 13  
рис. 13

рис. 19  
рис. 19

мерами более 0,1 км<sup>2</sup> каждый, общей площадью 220,6 км<sup>2</sup> (из них 6,9 км<sup>2</sup> покрыто мореной) и 69 ледников размерами более 0,1 км<sup>2</sup> каждый, общей площадью 376,6 км<sup>2</sup> (из них 11,0 км<sup>2</sup> покрыто мореной) и 173 ледника размерами менее 0,1 км<sup>2</sup>

**ПОЯСНЕНИЯ К ТАБЛИЦЕ I (часть 17)**

№ ледника по таблице	Название	№ граф	Пояснения	
			1	2
	р. Коксай (восточная)			
3	№ 3	3, 4		
4	№ 4	4		
5	№ 5	4		
10, 11	№ 10, 11	4		
11, 15	№ 11, 15	4	Название «восточная» дано условно при составлении каталога, так как в данном районе есть несколько рек с тем же названием	
13	№ 13	15	Ледник плоской вершины имеет два небольших языка: основной сток льда на юг и меньший — на запад. Южный крутой язык ледника получает дополнительное питание из северо-восточного цирка	
17	№ 17	15	Фирновая область отделена от языка ледника ступенью	
21—24	№ 21—24	4	Ледник имеет правый приток — долинный ледник длиной 2,6 км, площадь которого ( $1,4 \text{ км}^2$ ) включена в общую площадь ледника	
22, 25	№ 22, 25	15	Языки ледников разделены четким моренным валом и окаймлены валами боковых морен. Ниже конца главного языка и слева от него под мореной погребены мертвые льды площадью около $0,2 \text{ км}^2$ .	
31	№ 31	4	Ледники получают питание с северных склонов отрога Сарыкольского хребта	
32	№ 32	4	Верховья ледников соединены друг с другом	
33, 35	№ 33, 35	15	Площадь области аблации менее $0,1 \text{ км}^2$	
35—39	№ 35—39	6—16	Площадь области аккумуляции менее $0,1 \text{ км}^2$ (см. пояснение к ледникам № 59, 60, 62, 63)	
41, 42	№ 41, 42	4	Из-за плохого качества аэрофотосъемки все данные в табл. 1 приближенные	
41	№ 41	4	Ледники в верховьях соединены друг с другом	
43	№ 43	4	Верхняя, выровненная часть фирновой области обрывается на северо-запад крутым уступом	
45, 46	№ 45, 46	4	Ледник имеет два языка, дающие сток в две соседние небольшие долины	
46, 47	№ 46, 47	4	В верховьях ледники соединены друг с другом	
48, 49	№ 48, 49	4	Язык ледника № 47 получает дополнительное питание — в правой его части с крутой ступенью	
52, 54	№ 52, 54	4	Ледники соединены над ним перетекает часть льда от ледника № 46	
52, 58	№ 52, Бузджилга	4	В верховьях ледники соединены друг с другом	
53—55	№ 53—55	3	В верховьях ледники соединены друг с другом	
55, 56	№ 55, 56	4	Ледники находятся в бассейне ледника № 52	
59, 60, 62, 63	№ 59, 60, 62, 63	13, 15, 16	Ледники соединены друг с другом боковыми частями	
			Ледники имеют почти сплошную ледяную поверхность. Фирн встречается в виде отдельных пятен в верховьях ледников, по нижней границе которых условно проведена фирновая линия. В том случае, если часть ледяной поверхности относится не к зоне аблации, а к зоне ледяного питания, площадь области аблации на таких ледниках, возможно, завышена. Без наземных исследований, только по АФС, это установить невозможно	
67—69	№ 67—69	4	В верховьях ледники соединены друг с другом	
69, 70	№ 69, 70	4	Ледники соединяются друг с другом боковыми частями	
70, 71	№ 70, 71	4	Эти ледники можно считать за одним ледниковым телом, но ледник № 70 по своей морфологии — склоновый ледник, хотя левая часть его широкого языка вытянута вниз, подобно языкам долинных ледников. Она соединяется с боковой частью долинного ледника № 71. Концы этих ледников окаймлены общим валом конечной морены, вероятно, имеющейся внутри ядро мертвого льда	
74, 76	№ 74, 76	15	Площадь области аккумуляции менее $0,1 \text{ км}^2$ (см. пояснение к ледникам № 59, 60, 62, 63)	
79, 82, 85	№ 79, 82, 85	15	Площадь области аблации на каждом леднике менее $0,1 \text{ км}^2$	
90—126	№ 90—126	13, 14	В бассейнах рек Акбайтал, Кокчукур и Муксу высоты фирновой линии на ледниках (и площадь области аблации) по аэрофотоснимкам не определены, так как на снимках ледники целиком закрыты снегом. Звездочки в табл. I эти ледники не отмечены	
94, 95	Ак-Байтал, № 95	13	По данным непосредственных полевых наблюдений в 1970 и 1971 гг., фирновая область на этих ледниках занимает небольшую полосу под крутыми тыловыми склонами. Ниже, примерно до высоты 5000 м, располагается зона ледяного питания	
95	№ 95	4	Ледник отнесен к типу склоновых условно. Большая часть его поверхности ровная, почти горизонтальная, это небольшое плато с незначительным уклоном к северо-востоку	
95, 96	№ 95, 96	4	Верховья ледников соединены друг с другом	
103, 104	№ 103, 104	4	Ледники в недалеком прошлом сливались друг с другом. Сейчас ниже их концов в общей долине находится длинное поле мертвого льда (площадью $0,3 \text{ км}^2$ ) с хорошо выраженным термокарстовым рельефом, с многочисленными мелкими озерами. Мореной покрыты и значительные площади на современных языках	
114	№ 114	4	Нижний край ледника разделен на несколько небольших узких языков, спускающихся по параллельным долинкам	

№ ледника по таблице	Название	№ граф	Пояснения			
			1	2	3	4
118	№ 118	4				
119	№ 119	4				
122	№ 122	4				
124	№ 124	3				
125	№ 125	4				
128, 129, 130, 135, 137	№ 128—130, 135, 137	15				
134, 136 137	№ 134, 136 № 137	8, 9, 15, 16 3				
140—142	№ 140—142	3				
140	№ 140	15				
141	№ 141	15				
151, 153, 154, 159	№ 151, 153, 154, 159	13				
152, 153 154	№ 152, 153 № 154	4 8, 9				
155	№ 155	15				
157	№ 157	4				
158, 198 162, 169	№ 158, 198 № 162, 169	4 4				
Безымянная I, Безы- мянная II						
167	№ 167	15				
171, 172	№ 171, 172	4				
172—174	№ 172—174	4				
172, 178	№ 172, 178	4				
176, 180, 183, 184	№ 176, 180, 183, 184	13, 15				
182	№ 182	3, 15				
187, 188	№ 187, 188	4				
189	№ 189	5				
192	№ 192	4				
193, 195, 199, 203, 205 197	№ 193, 195, 199, 203, 205 № 197	15				
198, 158	№ 198, 158	4				
199	№ 199	3				
201, 202	№ 201, 202	4				
202, 203	№ 202, 203	3				
204—212	№ 204—212	6—16				
204	№ 204	4				
206	№ 206	13				
207, 208	№ 207, 208	15				
209	№ 209	4				
210	№ 210	4, 9, 16				
211	№ 211	15				
215, 216	№ 215, 216	4				
216	№ 216	4				
218, 219	№ 218, 219	4				
219, 220	№ 219, 220	4				
222	№ 222	4				
222, 241 223, 230, 232 234	№ 222, 241 № 223, 230, 232 № 234	4 15 4				

№ ледника по таблице	Название	№ граф	Пояснения			
			1	2	3	4
238, 239	№ 238, 239	4				Небольшие висячие долинные ледники с крутыми склонами в верховьях. Язык ледника № 238 висит в узком ущелье на крутом склоне, обрывающемся к долине р. Байшаки. У ледника № 239 с устьевой ступени свешивается лишь конец языка
240	№ 240	4				Значительную часть питания ледник получает с левого северо-восточной экспозиции борта
241, 242	№ 241, 242	4				Долины ледников узкие, с высокими крутыми скалистыми склонами. Области питания морфологически не выражены. Ледник № 242 — более крупный поток — оканчивается значительно ниже, чем ледник № 241. В боковых моренах и ниже конца сложного долинного ледника сохранились погребенные льды
241, 222 243—245	№ 241, 222 Володарского	4 4				Ледники в верховьях соединены друг с другом Сложный долинный ледник Володарского состоит из трех крупных потоков с разветвленными многокамерными областями питания. Выше фирновой линии, на высоте 5100—5200 м, часть льда ледника № 247 переходит через понижение на его правом борту к леднику № 246. На языке ледника составляющие его потоки разграничены валами срединных морен
246	№ 246	4				Верховья ледника крутые, рассеченные трещинами, язык постепенно выплаживается
247 248	№ 247 № 248	15 4				Площадь области абляции менее 0,1 км <sup>2</sup> Язык ледника получает дополнительное питание с левого северной экспозиции борта долины. Морено закрыто менее 0,1 км <sup>2</sup>
246—253	№ 246—253	3				Кроме этих ледников в бассейне ледника Володарского еще имеется 6 ледников меньших размеров
250, 251 254	№ 250, 251 № 254	4 4				В боковых частях ледники соединяются друг с другом Основное питание ледник получает с правого склона долины, ориентированного на север и почти сплошь покрытого снегом и фирмом
255—259 256—258 259	№ 255—259 № 256—258 № 259	3 15 4				Ледники находятся в бассейне ледника № 254 Площадь области абляции менее 0,1 км <sup>2</sup> Язык ледника расширен, его фронтальная часть кончается над краем устьевой ступени (на высоте 4980 м). Бровка ступени закрыта фронтальной морено. Правая часть языка в виде широкой короткой лопасти спускается в соседнюю долину и упирается в левую береговую морену ледника № 257. Поверхность ледника чистая; береговые морены отсутствуют. Область питания морфологически не выражена
261	№ 261	4				В верховьях ледник соединен с одним из правых притоков ледника Северный Зулумарт. В среднем и нижнем течении ледник получает значительное дополнительное питание с правого склона долины, почти сплошь покрытого снегом и фирмом. На языке имеется полоса срединной морены
262	№ 262	3, 4				Ледник находится в бассейне ледника № 261. Язык ледника кончается, достигнув левой боковой морены ледника № 261, окаймлен широкими валами боковых морен
264	№ 264	4, 9				Ниже конца языка, закрытого морено, есть поля мертвых льдов общей площадью около 0,1 км <sup>2</sup>
265 266, 267	№ 265 № 266, 267	9 4, 15				Морено закрыто менее 0,1 км <sup>2</sup> Висячие ледники расположены в верхней части склона долины. Поверхность ледников почти полностью закрыта снегом и фирмом. Площадь области абляции ничтожно мала
268, 269	№ 268, 269	4, 13				Оба ледника имеют сравнительно небольшую фирмовую область, морфологически не выраженную. Каждый ледник получает дополнительное лавинное питание с правого борта своей долины. Лавинные конусы у подножья склона смыкаются. Фирновая линия соответственно понижается у правого края ледника. Языки ледников окаймлены моренами. Ниже концов ледников на дне долин лежат мертвые льды площадью 0,2—0,3 км <sup>2</sup> .
271 272, 273	№ 271 № 272, 273	4 4				Ледник имеет два языка, разделенные небольшим скальным гребнем В верхнем течении ледник № 273 находится на более высоком уровне по сравнению с основным потоком (ледником № 272). В средней части ледник № 273 круто спускается со ступени, ниже которой языки ледников соединяются. Хорошо выражена срединная морена
274 275	№ 274 № 275	15 4, 9				Площадь области абляции менее 0,1 км <sup>2</sup> Основной поток ледника Октябрьский (описание ледника приведено в тексте). Верховья его соединяются с истоками ледника Корженевского (северный склон Заалайского хребта)
275, 276—299 276—283, 285 276	№ 275, 276—299 Западный Октябрьский, № 277—283, 285 Западный Октябрьский	3 3, 4 4, 9				Конец ледника заметно изменился по сравнению с 1946 г.: резко сократилась открытая часть, исчезли большие участки мертвого льда Находятся в бассейне ледника Октябрьский (включая его притоки) Ледники являются притоками первого порядка ледника Октябрьский
						Один из крупнейших ледников бассейна оз. Каракуль. Верховья ледника соединены на небольших участках с ледниками бассейна ледника Большой Саукдара. Значительных притоков ледник не имеет, в верхней части области абляции принимает короткий левый приток, площадь которого включена в площадь основного ледника

№ ледника по таблице	Название	№ граф	Пояснения	
			1	2
3	4	5	6	7
277	№ 277	4, 10	Верховья ледника широкие. Язык его вплоть до слияния с ледником Октябрьским получает дополнительное питание с правого (северного) склона долины, сплошь покрытого снегом и фирном. Ниже слияния язык ледника прослеживается в виде узкого потока льда, совершенно заваленного мореной, местами с руслами водотоков на поверхности, а ниже впадения ледника № 276 — размытого талыми водами. Закрытая часть ледника № 277 в настоящее время, по-видимому, мало активна, однако она еще не отделилась от основного потока ледника Октябрьский	
277—281	№ 277—281	4	Верховья ледников на отдельных участках соединены последовательно друг с другом	
278—281	№ 278—281	4	Морфологический тип ледников выражен не определенно. Это склоновые ледники, близкие к висячим долинным, один за другим покрывающие почти сплошь кругой правый склон долины ледника Октябрьский. Сливаясь с ледником Октябрьский, каждый из них кончается коротким узким языком, закрытым мореной, который прослеживается вдоль края основного потока лишь до впадения следующего ниже по течению притока (см. рис. 11)	
279, 280 281, 289 282	№ 279, 280 № 280, 289 № 282	9 4 4, 10	Площадь льда, закрытого мореной, на каждом леднике менее 0,1 км <sup>2</sup> . В верховьях ледники соединяются	
			Широкие верховья ледника занимают крутые южной, восточной и северной экспозиций склоны долины, сплошь покрытые снегом и фирмом, разбитым трещинами. Язык ледника после слияния с ледником Октябрьский меняет направление с восточного на южное и в виде полосы чистого льда, разбитой трещинами и окаймленной моренами, хорошо прослеживается вдоль правого края основного потока до слияния с ледником № 281. На небольших участках в верховьях ледник соединен с ледниками № 275, 290	
283	№ 283	4, 10	В тыловой части ледник соединен с верховьями одного из истоков ледника Корженевского (северный склон Заалайского хребта). Кроме верхнего, основного шитающего бассейна, язык ледника получает значительное добавочное питание с левого борта долины, на участке северной экспозиции, от гребня до языка, одетого фирмом, покрытым трещинами. Здесь ледник № 283 соединяется с верховьями ледника № 285	
284	№ 284	4, 15	Морфологический тип определен условно — это широко вытянутое фирмовое поле, занимающее верхнюю часть кругого правого склона долины в верховьях ледника № 283. Нижний край его по всей своей длине находит над ледником № 283 и дает лавины и обвалы фирна. В правой части склоны имеют два круго спускающихся потока, которые сливаются с ледником № 283. Верхняя, пригребневая часть относительно выположена. Область абляции на леднике занимает менее 0,1 км <sup>2</sup> и представлена узкой полоской льда, зажатого между правым бортом ледника № 283 и скалистым склоном	
285	№ 285	4	В верховьях ледник соединяется с ледниками № 283 и 286. Язык ледника в верхней части получает дополнительное питание с кругого левого склона, покрытого фирмовыми полями, от которых спускаются короткие языки-притоки.	
			По сравнению с 1946 г. язык ледника в настоящее время сократился (см. описание в тексте)	
286, 287	№ 286, 287	9	По сравнению с 1946 г. длина открытой части на языках ледников сократилась на 500—700 м	
287	№ 287	4	До слияния с ледником № 285 ледник получает дополнительное питание с левого борта (северо-западной экспозиции) долины, сплошь покрытого фирмом. Фирновая линия имеет высшую отметку 5300 м у правого края ледника и понижается вдоль подножья левого склона до крайней отметки 5050 м	
287, 294, 297 289	№ 287, 294, 297 № 289	4 4, 15	В верховьях ледник № 287 соединен с ледниками № 294 и 297. Площадь области абляции менее 0,1 км <sup>2</sup> . В верховьях ледник соединяется с ледником № 280	
290	№ 290	15	Ледник висит на кругом склоне и практически целиком расположен в области аккумуляции. Расход вещества осуществляется обвалами льда и фирна и снежными лавинами. Узкий лог ниже конца ледника забит снегом круглый год. Каменный материал, захваченный обвалами и лавинами, выносится далеко на поверхность ледника Октябрьский и движется вместе с ним вниз	
291	№ 291	4	Язык ледника разделен на две части небольшим продольным гребнем-нуннаком, от которого спускается срединная морена	
291, 292	№ 291, 292	10	Языки ледников кончаются низко, у левой боковой морены ледника Октябрьский	
293, 298	№ 293, 298	15	Площадь области абляции менее 0,1 км <sup>2</sup>	

№ ледника по таблице	Название	№ граф	Пояснения	
			1	2
294—296	№ 294—296	4, 9, 16		Основные составляющие сложного долинного ледника — правая и левая (наиболее мощная) ветви. Фирновые бассейны расширенные, языки ледников длинные и узкие. Мореной закрыт общий конец ледника и левая часть ледника № 296. С левого крутого склона долины, поднимающегося над языком ледника № 296, который изобилует кулуарами и в верхней своей части снежинками, поступает на ледник большое количество обломочного материала. В верховьях ледника этот склон имеет северную экспозицию, сплошь покрыт снегом и фирном и дает леднику значительное дополнительное питание. В верховьях ледник № 295 на небольшом участке соединен с ледником № 46 бассейна р. Уйсу, а ледник № 296 — с ледником № 300
297, 298	№ 297, 298	3		Ледники находятся в бассейне сложного долинного ледника № 294—296
299	№ 299	4		Ледник расположен высоко на склоне и не имеет глубоко врезанной долины. Ледник сильно заснегжен, язык его короткий, чистый. Область питания и язык морфологически не разделены.
299, 300	№ 299, 300	4		В верховьях ледники разделяют снежный гребень с карнизами обращенными на восток
300, 301	№ 300, 301	4		Языки ледников окаймлены хорошо выраженным моренными валами. Ниже общего конца ледников есть участки мертвого льда
301	№ 301	4		Долина ледника в верховьях и средней части лежит на более высоком гипсометрическом уровне, чем долина ледника № 300. Язык ледника, резко изменив направление течения с южного на западное, спускается крутым ледопадом вправо, в долину ледника № 300, где оба ледника сливаются. Выше ледопада верхняя часть языка ледника № 301 расширена, фестончатый левый край его перекрывает пологий водораздел и спускается коротким языком в верховья соседней (к востоку) долины (см. рис. 47)
303	№ 303	3, 15		Ледник находится в бассейне ледника № 302. Площадь области абляции менее 0,1 км <sup>2</sup>
305	№ 305	3		Ледник расположен в бассейне ледника № 306
306, 307	№ 306, 307	4		Эти крупные склоновые ледники почти сплошь закрывают склон северной экспозиции. Соединены между собой в верховьях и на небольшом участке близ конца языков. В верховьях ледник № 306 соединен с ледником № 26 бассейна р. Коксай (Маркансы)
309, 310	№ 309, 310	4		В верховьях ледники соединены друг с другом

ТАБЛИЦА I (часть 18)

**ОСНОВНЫЕ СВЕДЕНИЯ О ЛЕДНИКАХ**

# ОСНОВНЫЕ СВЕДЕНИЯ

№ по схеме	Название	Название реки, вытекающей из ледника	Морфологический тип	Общая экспозиция	Наибольшая длина, км		Площадь, км <sup>2</sup>	
					всего ледника	в том числе открытой части	всего ледника	в том числе открытой части
1	2	3	4	5	6	7	8	9

## Бассейны правых нижних притоков р. Маркансу

Северный склон западного отрога

1*	№ 1	пр. р. Маркансу	дол.	C3	(1,4)	(1,4)	(0,6)	(0,6)
2*	№ 2	пр. р. Маркансу	дол.	C3	2,7	2,1	1,2	1,0
3*	№ 3	пр. р. Маркансу	дол.	C	3,2	2,4	2,0	1,8
4*	№ 4	пр. р. Маркансу	вис.	C3	0,4	0,4	0,1	0,1
5*	№ 5	пр. р. Маркансу	дол.	C3	0,8	0,8	0,2	0,2
6*	№ 6	пр. р. Маркансу	дол.	C3	0,8	0,08	0,2	0,2
7*	№ 7	пр. р. Маркансу	дол.	C	2,9	1,7	1,2	0,9
8*	№ 8	пр. р. Маркансу	склон.	C	1,4	1,4	0,7	0,6
9*	№ 9	пр. р. Маркансу	склон.	CB	0,8	0,8	0,2	0,2
10	№ 10	пр. р. Маркансу	вис.	C	0,8	0,8	0,3	0,3
11*	№ 11	пр. р. Маркансу	вис.	C	0,6	0,6	0,2	0,2
12*	№ 12	пр. р. Маркансу	дол.	C3	1,4	1,4	0,4	0,4
13*	№ 13	пр. р. Маркансу	склон.	C3	0,6	0,6	0,1	0,1
14*	№ 14	пр. р. Маркансу	склон.	C	1,0	1,0	0,7	0,7
15*	№ 15	пр. р. Маркансу	склон.	C	2,0	2,0	1,3	1,3
15 ледников		пр. р. Маркансу					9,4	8,6

Кроме того, в бассейне правых нижних притоков р. Маркансу имеется 3 ледника размерами менее 0,1 км<sup>2</sup> каждый, Итого 18 ледников

## Бассейн правых притоков р. Маркансу от устья

Южный склон западного отрога

16*	№ 16	пр. р. Маркансу	дол.	3	0,8	0,8	0,1	0,1
17*	№ 17	пр. р. Маркансу	дол.	3	0,9	0,9	0,2	0,2
18*	№ 18	пр. р. Маркансу	дол., часть сл.дол.	3, ЮЗ	2,6	2,6	0,8	0,8
19*	№ 19	пр. р. Маркансу	дол., часть сл.дол.	C3, 3	1,4	1,4	0,5	0,5

Сложный долинный ледник (№ 18, 19) имеет наибольшую длину 2,6 км, площадь 1,3 км<sup>2</sup> и площадь области облакции

20*	№ 20		склон.	ЮВ	0,6	0,6	0,1	0,1
21*	№ 21		склон.	ЮВ	0,6	0,6	0,1	0,1
22*	№ 22	пр. р. Маркансу	склон.	C3	0,9	0,9	0,1	0,1
23*	№ 23	пр. р. Маркансу	склон.	C	0,7	0,7	0,0	0,5
8 ледников							2,4	2,4

Кроме того, в бассейнах правых притоков р. Маркансу имеется 3 ледника размерами менее 0,1 км<sup>2</sup> каждый, общей 2,6

Итого 11 ледников

## Бассейны правых притоков р. Коксай

Северо-восточный склон отрога

24*	№ 24	пр. р. Коксай	кар.	C	0,5	0,5	0,1	0,1
25	№ 25	пр. р. Коксай	кар.	CB	0,8	0,8	0,2	0,2
26*	№ 26	пр. р. Коксай	склон.	B	0,8	0,8	0,2	0,2
27*	№ 27	пр. р. Коксай	дол.	CB	1,6	1,6	0,5	0,5
28*	№ 28	пр. р. Коксай	дол.	CB	2,7	2,7	1,2	1,2
29*	№ 29	пр. р. Коксай	сл.дол.	CB	3,0	3,0	1,6	1,6
30*	№ 30		кар.	ЮВ	1,2	1,2	0,4	0,4
31*	№ 31	пр. р. Уйсу	дол.	ЮВ	1,0	1,0	0,4	0,4
32*	№ 32	пр. р. Уйсу	склон.	B	3,0	3,0	1,6	1,6
33*	№ 33	пр. р. Уйсу	склон.	CB	1,9	1,9	0,9	0,9
34*	№ 34	пр. р. Уйсу	вис.	C	0,5	0,5	0,1	0,1
35*	№ 35	пр. р. Уйсу	вис.	C3	0,8	0,8	0,1	0,1
36*	№ 36	пр. р. Уйсу	дол., часть сл.дол.	CB	10,0	10,0	5,4	5,1
37*	№ 37	пр. р. Уйсу	дол., часть сл.дол.	CB	6,2	6,2	5,0	4,8

Сложный долинный ледник (№ 36, 37) имеет наибольшую длину 10,0 км, площадь 10,4 км<sup>2</sup> площадь области облакции

38*	№ 38		вис.	C3	0,9	0,9	0,2	0,2
39*	№ 39		дол.	C3	1,3	1,3	0,4	0,4
40*	№ 40		дол.	ЮВ	1,7	1,7	0,4	0,4
41	№ 41		дол.	В, ЮВ	1,6	1,6	0,5	0,5
42*	№ 42	пр. р. Уйсу	дол.	CB, C	2,1	2,1	2,2	2,2
43*	№ 43		вис.	CB	0,8	0,8	0,1	0,1
20 ледников							21,5	21,0

Кроме того, в бассейнах правых притоков р. Коксай имеется 9 ледников размерами менее 0,1 км<sup>2</sup> каждый, Итого 29 ледников

ТАБЛИЦА I (часть 18)

## О ЛЕДНИКАХ

Высота, м			Фирновая линия		Площадь области аблации, км <sup>2</sup>		Объем льда, км <sup>3</sup>	Ссылки на последующие таблицы и иллюстрации № таблиц и иллюстраций порядковые № сведений в таблицах
найменее открытой конца ледника	найменее открытой части ледника	высшей точки ледника	высота, м	способ определения и дата	общая	в том числе открытой части		
10	11	12	13	14	15	16	17	18

до устья р. Курумды (р. Маркансу)

Сарыкольского хребта

(4550)	(4550)	(5300)	(5000)	АФС 1946 г.	(0,4)	(0,4)		
4490	4540	5400	5000	АФС 1946 г.	9,7	0,5		
4400	4540	5500	5000	АФС 1946 г.	1,2	1,0		
4700	4700	5100	5000	АФС 1946 г.	—	—		
4560	4560	5100	5000	АФС 1946 г.	0,1	0,1		
4500	4500	5100	5000	АФС 1946 г.	0,1	0,1		
4180	4400	5600	5100	АФС 1946 г.	0,6	0,3		
4550	4550	5250	5050	АФС 1946 г.	0,4	0,3		
4950	4950	5200	5100	АФС 1946 г.	0,1	0,1		
4550	4550	5300	5100	АФС 1946 г.	0,1	0,1		
4680	4680	5050	5000	АФС 1946 г.	0,2	0,2		
4780	4780	5450	5100	АФС 1946 г.	0,1	0,1		
5000	5000	5400	5050	АФС 1946 г.	—	—		
4620	4620	5300	5150	АФС 1946 г.	0,4	0,4		
4450	4500	5300	5150	АФС 1946 г.	0,8	0,8		
					5,2			

общей площадью 0,2 км<sup>2</sup>

р. Курумды до устья р. Коксай (р. Маркансу)

Сарыкольского хребта

4900	4910	5230	5200	АФС 1946 г.	0,1	0,1		
(5080)	(5080)	(5400)	(5200)	АФС 1946 г.	(0,1)	(0,1)		
4800	4800	5650	(5200)	АФС 1946 г.	(0,4)	(0,4)		
4820	4820	5480	(5200)	АФС 1946 г.	(0,3)	(0,3)		
0,7 км <sup>2</sup>								
5000	5000	5400	(5250)	АФС 1946 г.	(0,1)	(0,1)		
5100	5100	5350	(5250)	АФС 1946 г.	(0,1)	(0,1)		
4850	4850	5200	(5150)	АФС 1946 г.	(0,1)	(0,1)		
4900	4900	5200	(5150)	АФС 1946 г.	(0,4)	(0,4)		

площадью 0,2 км<sup>2</sup>

(реки Коксай, Маркансу)

Заалайского хребта

4780	4780	4980	4900	АФС 1946 г.	0,1	0,1		
4860	4860	5150	4900	АФС 1946 г.	0,1	0,1		
4940	4940	5350	5100	АФС 1946 г.	—	—		
4700	4700	5050	4900	АФС 1946 г.	0,2	0,2		
4550	4550	5350	4900	АФС 1946 г.	0,6	0,6		
4640	4640	5350	4950	АФС 1946 г.	0,6	0,6		
5050	5050	5300	5100	АФС 1946 г.	0,2	0,2		
4950	4950	5300	5100	АФС 1946 г.	0,2	0,2		
4700	4700	5350	5000	АФС 1946 г.	0,8	0,8		
4680	4680	5300	4950	АФС 1946 г.	0,3	0,3		
(5050)	(5050)	(5200)	(5100)	АФС 1946 г.	—	—		
4600	4600	5100	4950	АФС 1946 г.	—	—		
4470	4470	5650	4950	АФС 1946 г.	2,5	2,2		
4580	4850	5650	5000	АФС 1946 г.	1,8	1,6		
4,3 км <sup>2</sup> (в том числе 0,5 км <sup>2</sup> закрыто мореной)								

4700	4700	5250	4950	АФС 1946 г.	—	—		
4600	4600	5150	4950	АФС 1946 г.	0,1	0,1		
4980	4980	5650	5150	АФС 1946 г.	0,1	0,1		
4880	4880	5550	5150	АФС 1946 г.	0,2	0,2		
4520	4520	5550	5000	АФС 1946 г.	0,8	0,8		
5000	5000	5350	5100	АФС 1946 г.	—	—		
					8,6			

площадью 0,7 км<sup>2</sup>

№ по схеме	Название	Название реки, вытекающей из ледника	Морфологический тип	Общая экспозиция	Наибольшая длина, км		Площадь, км²	
					всего ледника	в том числе открытой части	всего ледника	в том числе открытой части
1	2	3	4	5	6	7	8	9

**Бассейны верховьев и левых притоков  
Северо-восточный склон отрога Заалайского**

44*	Уйсу	Уйсу	сл.дол., часть дендрит.	CB, В	13,8	10,0	17,6	16,8
45*	№ 45		дол., часть дендрит.	CB	11,4	9,0	11,0	9,6
46*	№ 46		дол., часть дендрит.	C, CB	10,4	6,2	3,9	3,4
47*	№ 47		дол., часть дендрит.	ЮВ	13,0	9,8	12,4	11,0
48*	№ 48		дол., часть дендрит.	B, ЮВ	12,4	5,6	3,0	2,7
49*	№ 49		дол., часть дендрит.	Ю	2,6	2,6	2,0	2,0
Дендритовый ледник Уйсу (№ 44—49)	имеет наибольшую длину 13,8 км, площадь 49,9 км² (в том числе							
50*	№ 50		вис.	C3	0,5	0,5	0,2	0,2
51*	№ 51		дол.	C3	1,2	1,2	0,4	0,4
52*	№ 52		вис.	C3	0,7	0,7	0,2	0,2
53*	№ 53		дол.	C3	0,6	0,6	0,1	0,1
54*	№ 54		кар.	CB	0,4	1,4	0,1	0,1
55*	№ 55		дол.	C	1,5	1,5	0,2	0,2
56*	№ 56		склон.	C	0,9	0,9	0,2	0,2
57*	№ 57		дол.	C3	1,0	1,0	0,1	0,1
58*	№ 58		вис.	Ю	1,3	1,3	0,3	0,3
59*	№ 59		вис.	Ю	1,4	1,4	0,3	0,3
60*	№ 60		дол.	Ю, ЮВ	1,4	1,4	0,4	0,4
61*	№ 61		склон.	C	0,2	0,2	0,1	0,1
62*	№ 62		вис.	Ю	0,5	0,5	0,2	0,2
63*	№ 63		вис.	Ю	0,6	0,6	0,2	0,2
64*	№ 64		вис.	Ю	0,6	0,6	0,2	0,2
65*	№ 65		вис.	Ю	0,7	0,7	0,2	0,2
66*	№ 66		дол.	Ю	2,3	2,3	1,2	1,2
67*	№ 67		вис.	Ю	0,4	0,4	1,1	1,1
68*	№ 68		дол.	ЮВ, Ю	3,0	3,0	1,5	1,5
69*	Краснослободцева 26 ледников	пр. р. Уйсу	дол.	ЮВ, Ю	2,3	2,3	0,9	0,9
							57,0	52,6

Кроме того, в бассейне верховьев р. Уйсу имеется 8 ледников размерами менее 0,1 км² каждый, общая площадью 57,6

Итого 34 ледника

70	№ 70	пр. р. Коксай	дол.	С	0,8	0,8	Бассейн р. Коксай Северо-восточный склон южного	
							0,2	0,2
71*	№ 71	пр. р. Коксай	дол.	C	0,6	0,6	0,1	0,1
72*	№ 72	пр. р. Коксай	дол.	CB	2,2	2,2	1,1	1,1
73*	№ 73		склон.	CB	1,5	1,5	0,6	0,6
74*	№ 74	Коксай	склон.	CB	2,5	2,5	1,5	1,5
5 ледников							3,5	3,5

Кроме того, в бассейне р. Коксай имеется 1 ледник площадью 0,04 км²

Итого 6 ледников 3,5

Всего в бассейне р. Коксай имеется 69 ледников общей площадью 83,3 км², в том числе 51 ледник размерами менее 0,1 км² каждый, общей площадью 1,3 км²

Бассейн р. Курумды Южный склон								
75*	№ 75	пр. р. Курумды	вис.	B	0,2	0,2	0,1	0,1
76*	№ 76	пр. р. Курумды	асимм.дол.	B	2,6	2,6	1,8	1,8
77*	№ 77	пр. р. Курумды	кар.дол.	Ю	2,0	2,0	1,0	1,0
78*	№ 78	пр. р. Курумды	склон.	CB	0,5	0,5	0,2	0,2
79*	№ 79	пр. р. Курумды	склон.	CB	0,6	0,6	0,2	0,2
80*	№ 80	пр. р. Курумды	дол., часть сл.дол.	Ю	3,2	3,2	1,5	1,5
81*	№ 81		дол., часть сл.дол.	ЮЗ, Ю	3,0	3,0	1,3	1,3

Сложный долинный ледник (№ 80, 81) имеет наибольшую длину 3,2 км, общую площадь 2,8 км² и площадь области

Высота, м			Фирновая линия		Площадь области аблации, км <sup>2</sup>		Объем льда, км <sup>3</sup>	Ссылки на последующие таблицы (иллюстрации) № таблиц и иллюстраций порядковые № сведений в таблицах
нижней точки конца ледника	нижней точки открытой части ледника	высшей точки ледника	высота, м	способ определения и дата	общая	в том числе открытой части		
10	11	12	13	14	15	16	17	18

р. Уйсу (реки Коксай, Маркансы)  
хребта, южный склон Заалайского хребта)

4390	4700	6100	5200	АФС 1946 г.	7,0	6,2		рис. 14, 15
4390	4600	5900	4950	АФС 1946 г.	4,0	2,6		рис. 14, 15
4390	4700	5600	5050	АФС 1946 г.	1,8	1,3		рис. 14, 15
4390	4660	6500	5300	АФС 1946 г.	4,7	3,3		рис. 14, 15, 50
4730	4860	6600	5300	АФС 1946 г.	1,4	1,1		
5050	5050	5800	5400	АФС 1946 г.	0,4	0,4		рис. 50
4,4 км <sup>2</sup> закрыто мореной) и площадь области аблации 19,3 км <sup>2</sup>								
(4800)	(4800)	(5200)	(5000)	АФС 1946 г.	(0,1)	(0,1)		
(4650)	(4650)	(5350)	(5000)	АФС 1946 г.	(0,1)	(0,1)		
(4980)	(4980)	(5600)	(5000)	АФС 1946 г.	—	—		
(4840)	(4840)	(5950)	(5000)	АФС 1946 г.	—	—		
5150	5150	5300	5200	АФС 1946 г.	—	—		
4720	4720	5400	5050	АФС 1946 г.	0,1	0,1		
4840	4840	5300	5050	АФС 1946 г.	0,1	0,1		
4950	4950	5350	5050	АФС 1946 г.	—	—		
5620	5620	6300						
5500	5500	6000						
5200	5200	6200	5500	АФС 1946 г.	0,1	0,1		
5200	5200	5400	5300	АФС 1946 г.	—	—		
5650	5650	5850						
5650	5650	5800						
5650	5600	5900						
5600	5600	5800						
4950	4950	5950	5400	АФС 1946 г.	0,5	0,5		
5500	5520	5750	5550	АФС 1946 г.	—	—		
4650	4650	5600	4950	АФС 1946 г.	0,2	0,2		
4580	4580	5250	4950	АФС 1946 г.	0,3	0,3		
IV/4; рис. 51								
0,6 км <sup>2</sup>								

(реки Коксай, Маркансы)  
отрога Заалайского хребта

4500	4500	4850	4800	АФС 1946 г.	0,1	0,1		
4400	4400	4750	4700	АФС 1946 г.	—	—		
4400	4400	4900	4700	АФС 1946 г.	0,4	0,4		
4560	4560	5000	4700	АФС 1946 г.	0,1	0,1		
4350	4350	5000	4700	АФС 1946 г.	0,8	0,8		
					1,4			

более 0,1 км<sup>2</sup> каждый, общей площадью 82,0 км<sup>2</sup> (из них 4,9 км<sup>2</sup> покрыто мореной) и 18 ледников размерами

р. Маркансы)  
Заалайского хребта

4850	4850	5000	4900	АФС 1946 г.	—	—		
4500	4500	4950	4800	АФС 1946 г.	0,7	0,7		
4600	4600	5250	4850	АФС 1946 г.	0,3	0,3		
4580	4580	4900	4800	АФС 1946 г.	0,1	0,1		
4620	4620	4950	4800	АФС 1946 г.	0,1	0,1		
4600	4600	5250	4900	АФС 1946 г.	0,2	0,2		
4620	4620	5450	4900	АФС 1946 г.	0,2	0,3		

абляции 0,5 км<sup>2</sup>

№ по схеме	Название	Название реки, вытекающей из ледника	Морфологический тип	Общая экспозиция	Наибольшая длина, км		Площадь, км <sup>2</sup>	
					всего ледника	в том числе открытой части	всего ледника	в том числе открытой части
1	2	3	4	5	6	7	8	9

Сложный долинный ледник (№ 80, 81) имеет наибольшую длину 3,2 км, общую

82*	№ 82	пр. р. Курумды	дол., часть сл.дол.	Ю, ЮВ	(7,6)	(7,3)	(4,9)	(4,5)
83*	№ 83	пр. р. Курумды	дол., часть сл.дол.	Ю	(4,9)	(4,7)	(3,2)	(3,2)
84*	№ 84		дол., часть сл.дол.	ЮЗ	(4,4)	(4,4)	(1,1)	(1,1)
85*	№ 85		дол., часть сл.дол.	ЮЗ	2,2	2,2	0,7	0,7

Сложный долинный ледник (№ 82—85) имеет наибольшую длину 7,6 км, общую площадь 9,9 км<sup>2</sup>, в том числе

86*	№ 86		вис.	В	0,6	0,6	0,1	0,1
87*	№ 87		вис.	В	0,7	0,7	0,1	0,1
88*	Ледник № 2	пр. р. Курумды	дол., часть сл.дол.	Ю	(9,0)	(8,6)	(6,3)	(5,6)
89*	№ 89		дол., часть сл.дол.	Ю	(8,2)	(7,4)	(4,6)	(4,4)

Сложный долинный ледник (№ 88, 89) имеет наибольшую длину 9,0 км, общую площадь 10,9 км<sup>2</sup>, в том числе

90*	№ 90		вис.	Ю	0,8	0,8	0,1	0,1
91*	Курумды	Курумды	дол., часть сл.дол.	Ю, З	(13,4)	(11,6)	(10,6)	(9,7)
92*	Ледник № 3		дол., часть сл.дол.	Ю	4,2	4,2	2,1	1,7
93*	Ледник № 4		дол., часть сл.дол.	Ю, З	(11,7)	(9,7)	(7,4)	(5,5)
94*	№ 94		склон., часть сл.дол.	С	1,2	1,2	0,6	0,6
95*	№ 95		склон., часть сл.дол.	С	3,0	3,0	1,2	1,2
96*	№ 96		дол., часть сл.дол.	С3	1,6	1,6	0,4	0,4

Сложный долинный ледник Курумды (№ 91—96) имеет наибольшую длину 13,4 км, общую площадь 22,3 км<sup>2</sup>

97*	№ 97		склон.	С3	0,6	0,6	0,1	0,1
98*	№ 98		склон.	С	0,9	0,9	0,3	0,3
99*	№ 99		склон.	С	0,8	0,8	0,2	0,2
100*	№ 100		склон.	С	0,7	0,7	0,2	0,2
101*	№ 101		склон.	С	0,6	0,6	0,1	0,1
102*	№ 102		склон.	С	1,0	1,0	0,6	0,6
103*	№ 103	пр. р. Курумды	склон.	С	0,9	0,9	0,4	0,4
104*	№ 104	пр. р. Курумды	склон.	С	0,7	0,7	0,2	0,2
105*	№ 105	пр. р. Курумды	склон.	С	0,7	0,7	0,1	0,1
31 ледник					51,7	47,2		

Кроме того, в бассейне р. Курумды имеется 3 ледника размерами менее 0,1 км<sup>2</sup> каждый, общей площадью 0,2 км<sup>2</sup>

Итого 34 ледника

#### Бассейны верховьев

Южный склон

106*	№ 106	пр. р. Канычсу	склон.	С3	(1,2)	(1,2)	(0,3)	(0,3)
107*	№ 107	пр. р. Канычсу	склон.	С	1,4	1,4	0,6	0,6
108*	№ 108	пр. р. Канычсу	склон.	С	1,5	1,5	0,7	0,7
109*	№ 109	пр. р. Канычсу	склон.	С	1,5	1,5	0,6	0,6
110*	№ 110	пр. р. Канычсу	склон.	С	1,3	1,3	0,4	0,4
111*	№ 111	пр. р. Канычсу	дол.	С, СВ	1,3	1,3	0,5	0,5
112*	№ 112	пр. р. Канычсу	склон.	СВ	0,5	0,5	0,1	0,1
113*	№ 113	пр. р. Канычсу	склон.	С	1,2	1,2	0,8	0,8
114*	№ 114	Канычсу	сл.дол.	ЮВ	(5,4)	(3,0)	(2,4)	(1,6)
115*	№ 115	пр. р. Канычсу	дол.	ЮВ	(5,4)	(5,4)	(5,1)	(4,7)
10 ледников					(11,5)	(10,3)		

Кроме того, в бассейне р. Канычсу имеется 2 ледника размерами менее 0,1 км<sup>2</sup> каждый, общей площадью 0,1 км<sup>2</sup>

Итого 12 ледников

11,6

Всего в бассейне р. Маркансу находится 144 ледника общей площадью 159,0 км<sup>2</sup>, в том числе 115 ледников размером 0,1 км<sup>2</sup> каждый, занимают 2,0 км<sup>2</sup>

Высота, м			Фирновая линия		Площадь области абляции, км <sup>2</sup>		Объем льда, км <sup>3</sup>	Ссылки на последующие таблицы (илюстрации) № таблиц и иллюстраций порядковые № сведений в таблице
найменее высокой точки конца ледника	найменее высокой точки открытой части ледника	наиболее высокой точки ледника	высота, м	способ определения и дата	общая	в том числе открытой части		
10	11	12	13	14	15	16	17	18

площадь 2,8 км<sup>2</sup> и площадь области абляции 0,5 км<sup>2</sup>

4420	4440	(6100)	5200	АФС 1946 г.	1,8	1,4		
4540	4560	(5500)	5150	АФС 1946 г.	1,0	1,0		
(4620)	(4620)	(6000)	5200	АФС 1946 г.	0,4	0,4		
(4850)	(4850)	(5900)	5200	АФС 1946 г.	0,2	0,2		

0,4 км<sup>2</sup> закрыто мореной) и площадь области абляции 3,4 км<sup>2</sup>.

(5000)	(5000)	5400	5200	АФС 1946 г.	—	—		
(4850)	(4850)	5450	5200	АФС 1946 г.	—	—		
4440	4460	(6000)	(5400)	АФС 1946 г.	(2,9)	(2,2)		
4480	4500	(6400)	(5400)	АФС 1946 г.	(1,8)	(1,6)		

0,9 км<sup>2</sup> закрыто мореной) и площадь области абляции 4,7 км<sup>2</sup>

5400	5400	6050	5500	АФС 1946 г.	—	—		
4480	4600	(6500)	(5500)	АФС 1946 г.	(6,4)	(5,5)	V/4	
4680	4680	(6200)	(5400)	АФС 1946 г.	(0,8)	(0,4)	V/4	
4480	4620	(6480)	(5450)	АФС 1946 г.	(4,4)	(2,5)	V/4	
4780	4780	5200	(5000)	АФС 1946 г.	(0,3)	(0,3)	V/4	
4700	4700	5300	(5100)	АФС 1946 г.	(0,5)	(0,5)	V/4	
4640	4640	5300	5100	АФС 1946 г.	0,2	0,2	V/4	

(в том числе 2,3 км<sup>2</sup> закрыто мореной), площадь области абляции 12,6 км<sup>2</sup>

4950	4950	(5100)	(5000)	АФС 1946 г.	—	—		
4680	4680	(5000)	(4950)	АФС 1946 г.	(0,2)	(0,2)		
4650	4650	(5050)	(5000)	АФС 1946 г.	(0,2)	(0,2)		
4600	4600	(5050)	(5000)	АФС 1946 г.	(0,2)	(0,2)		
4640	4640	(5050)	(5000)	АФС 1946 г.	(0,1)	(0,1)		
4600	4600	(5050)	(5000)	АФС 1946 г.	(0,5)	(0,5)		
4720	4720	(5050)	(5000)	АФС 1946 г.	(0,3)	(0,3)		
4700	4700	(5100)	(5000)	АФС 1946 г.	(0,2)	(0,2)		
4650	4650	(5100)	(5000)	АФС 1946 г.	(0,1)	(0,1)		
					(24,2)			

#### р. Канычсу (р. Маркансу)

Заалайского хребта

(4520)	(4520)	(5150)	(5050)	АФС 1946 г.	(0,1)	(0,1)		
4540	4540	5150	5050	АФС 1946 г.	0,2	0,2		
4550	4550	5300	5050	АФС 1946 г.	0,3	0,3		
4580	4580	5300	5050	АФС 1946 г.	0,2	0,2		
4580	4580	5350	5050	АФС 1946 г.	0,1	0,1		
4680	4680	5350	5050	АФС 1946 г.	0,3	0,3		
4800	4800	5100	5050	АФС 1946 г.	—	—		
4680	4680	5250	5050	АФС 1946 г.	0,2	0,2		
(4350)	(4700)	(6300)	(5500)	АФС 1946 г.	(1,8)	(1,0)		
(4400)	(4400)	(6300)						

мерами более 0,1 км<sup>2</sup> каждый, занимают 157,0 км<sup>2</sup> (из них 6,9 км<sup>2</sup> закрыто мореной) и 29 ледников размерами менее

**ПОЯСНЕНИЯ К ТАБЛИЦЕ I (часть 18)**

№ ледника по таблице	Название	№ граф	Пояснения	
			1	2
3	4	5	6	7
1, 2	№ 1, 2	6—13, 15, 16	Данные приближенные из-за отсутствия материалов аэрофотосъемки района	
2, 3	№ 2, 3	8, 9, 15, 16	В верховьях ледники соединяются друг с другом. Ниже языков ледников имеется общий участок мертвого льда площадью 0,2 км <sup>2</sup>	
3—8	№ 3—8	4	Поверхность ледников сильно разбита трещинами. Их области питания расположены на очень крутых склонах. Питание происходит главным образом за счет обвалов фирна и лавин, сходящих с этих склонов	
4	№ 4	15, 16	Площадь области абляции менее 0,1 км <sup>2</sup>	
5, 6, 7	№ 5, 6, 7	8, 9	Ниже концов языков имеются участки мертвого льда площадью около 0,1 км <sup>2</sup>	
8	№ 8	8—9, 15—16	Закрытые участки льда находятся под боковыми моренами	
9, 11, 13—15	№ 9, 11, 13—15	13	Ледники не имеют четко выраженной фирмовой области. Фирн расположен отдельными пятнами на очень крутой неровной поверхности ледников. Высота фирмовой линии определена приблизительно	
11	№ 11	8, 15, 16	Площадь области аккумуляции менее 0,1 км <sup>2</sup>	
12, 13,	№ 12, 13	4	В верховьях ледники соединяются	
13	№ 13	15, 16	Площадь области абляции менее 0,1 км <sup>2</sup>	
16	№ 16	15	Площадь области аккумуляции менее 0,1 км <sup>2</sup>	
16—23	№ 16—23	13	Ледники не имеют четко ограниченной фирмовой области. Фирн встречается отдельными пятнами и полями; на небольших крутых ледниках эти пятна занимают очень малую площадь	
17, 20	№ 17, 20	4	В верховьях ледники соединяются	
20, 21	№ 20, 21	3	Ледники расположены в бассейне ледника № 18	
20—22	№ 20—22	8, 15	Площадь области аккумуляции на каждом леднике менее 0,1 км <sup>2</sup>	
24	№ 24	8, 15	Площадь области аккумуляции менее 0,1 км <sup>2</sup> . Фирн встречается отдельными пятнами	
26	№ 26	4, 15, 16	В верховьях ледник соединен с ледником № 306, расположенным в бассейне р. Коксай. Площадь области абляции менее 0,1 км <sup>2</sup>	
27—29	№ 27—29	4	В верховьях ледники последовательно соединяются	
29, 30	№ 29, 30	4	Имеется участок перетекания льда от ледника № 30 к леднику № 29	
30, 31	№ 30, 31	3, 4	Ледники расположены в бассейне ледника № 29. В верховьях соединяются с ледником № 36	
33, 35	№ 33, 35	4	В верховьях ледники соединяются	
34, 35, 38	№ 34, 35, 38	15, 16	Площадь области абляции менее 0,1 км <sup>2</sup>	
36, 37	№ 36, 37	6, 8, 9, 15, 16	Закрытые участки льда находятся под боковыми моренами. Ледники сильно вытянуты в длину. Области аккумуляции морфологически не выражены. В питании ледников принимают участие лавины. Склоны северной экспозиции на большом протяжении покрыты фирмом	
37, 45	№ 37, 45	4	В верховьях ледники соединяются	
38	№ 38	15, 16	Площадь области абляции менее 0,1 км <sup>2</sup>	
38—41	№ 38—41	3	Ледники расположены в бассейне сложного долинного ледника № 36—37	
39, 40	№ 39, 40	3	Ледники, возможно, являются притоками ледника № 36—37, но языки их приносят очень незначительное количество льда в главный ледник	
42	№ 42	4	Язык ледника в нижней части раздваивается, конец его имеет подковообразную форму	
43	№ 43	4, 15	Площадь области абляции менее 0,1 км <sup>2</sup>	
44—46	№ 44—46	4	В верховьях ледник № 45 соединен с ледниками № 44 и 46	
44—49	Уйсу, № 45—49	2, 4	Дендритовый ледник Уйсу образуется от слияния шести крупных потоков льда. Главный ствол ледника № 44 носит на карте название Уйсу	
44	Уйсу	4	В верховьях ледник соединен с ледником № 295 бассейна р. Коксай	
47	№ 47	4	Область питания ледника имеет ровную поверхность. Небольшой нунатак слева отделяет приток, целиком расположенный в области аккумуляции. В верховьях ледник соединяется с ледником Корженевского, расположенным на северном склоне Заалайского хребта	
49	№ 49	4, 13	Область питания ледника представлена двумя крупными фирмовыми полями, расположенными на крутых склонах юго-восточной и юго-западной экспозиций. В верховьях ледник соединяется с ледником Ат-Джайллю на северном склоне Заалайского хребта	
50—53	№ 50—53	10—13 15, 16	Высоты определены приблизительно, так как ледники расположены на очень крутом склоне, изображение которого на карте дано условным знаком скал или густо нарисованными горизонталями	
50—68	№ 50—68	3	Ледники расположены в бассейне дендритового ледника Уйсу	
52—54	№ 52—54, 57, 61, 67	15	Площадь области абляции менее 0,1 км <sup>2</sup>	
57, 61, 67	№ 58, 59, 62—65	13—15	Ледники находятся целиком в области аккумуляции	
58, 59, 62—65	№ 66, 67	4	В верховьях ледники соединяются	
66, 67	№ 66, 68, Краснослобод- цева	4	В верховьях ледники соединяются с ледником Ат-Джайллю II, расположенным на северном склоне Заалайского хребта	
69	Краснослободцева	2	Ледник назван именем студента географического факультета МГУ И. С. Краснослободцева, трагически погибшего на этом леднике во время работы в составе Таджикско-Памирской аэрологической экспедиции в 1970 г. (табл. V/9)	
71	№ 71	15, 16	Площадь области абляции менее 0,1 км <sup>2</sup>	

№ ледника по таблице	Название	№ граф	Пояснения			
			1	2	3	4
72 72—74	№ 72 № 72—74	15, 16 4	Nиже конца языка имеется участок мертвого льда площадью около 0,1 км <sup>2</sup>			
73	№ 73	3	В верховьях ледники последовательно соединяются			
74	№ 74	4	Ледник расположен в бассейне ледника № 72			
75	№ 75	15, 16	В верховьях ледник соединяется с ледником Кок-Сай, расположенным на северном склоне Заалайского хребта			
76	№ 76	4, 13	Площадь области абляции менее 0,1 км <sup>2</sup>			
76, 77, 80—83	№ 76, 77, 80—83	4	Значительную часть питания ледник получает с правого склона северной экспозиции. В верховьях ледник соединяется с ледником северного склона Заалайского хребта			
77, 80	№ 77, 80	4	В верховьях ледники соединяются с ледниками, расположенными на северном склоне Заалайского хребта			
78—81	№ 78—81	4	В верховьях ледники соединяются			
79	№ 79	3	Ледники расположены в бассейне ледника № 83			
81, 83	№ 81, 83	4	Одна из лопастей языка расположена в бассейне ледника № 80			
82—85	№ 82—85	4	В верховьях ледники соприкасаются.			
82, 84, 85	№ 82, 84, 85	4	Ледники расположены в длинных, узких и глубоких долинах, их верховья — на крутых склонах. Языки ледников сильно разбиты трещинами			
83 85	№ 83 № 85	8, 9, 15, 16 10	В верховьях ледники последовательно соприкасаются и соединяются с фирновым полем ледника № 88			
86, 87	№ 86, 87	3, 15, 16	Площадь ледника, покрыта мореной, занимает менее 0,1 км <sup>2</sup>			
89, 93 90	№ 89, 93 № 90	4 3, 15, 16	Высота низшей точки ледника определена в месте слияния его со сложным ледником, так как ниже невозможно установить контуры ледника			
91	Курумды	4	Ледники расположены в бассейне ледника № 83. Площадь области абляции менее 0,1 км <sup>2</sup>			
91, 93 92	№ 91, 93 № 92	4 8, 9, 10, 15, 16	В верховьях ледники соприкасаются			
92, 93 93	№ 92, 93 № 93	4 4	Ледник расположен в бассейне ледника № 89			
94, 95	№ 94, 95	4	Площадь области абляции менее 0,1 км <sup>2</sup>			
95, 96 97	№ 95, 96 № 97	4 15, 16	В верховьях ледник принимает слева приток, площадь которого включена в площадь ледника			
97—102 98—101	№ 97—102 № 98—101	3 4, 13	При слиянии ледников имеется подпруженное мореной озеро			
100, 101 101, 104, 105	№ 100, 101 № 101, 104, 105	4 8, 9, 15, 16	Высота низшей точки ледника определена при впадении его в ледник № 92, так как ниже устья его ствол не имеет четких очертаний. По языку ледника протягиваются мощные валы боковых морен, между которыми имеется узкая полоска чистого льда			
102—105	№ 102—105	13	В верховьях ледники соединяются			
102—103 106—113	№ 102—103 № 106—113	4 6—16	Справа и слева ледник принимает короткие притоки, площади которых включены в площадь ледника			
107—111 112 114	№ 107—111 № 112 № 114	4 15, 16 6—16	Склоновые ледники являются притоками ледника Курумды. Их маломощные языки при впадении в ледник Курумды почти не прослеживаются вдоль его левого края. Участки языков, закрытые мореной, не имеют четкого контура			
115	№ 115	6—16	В верховьях ледники соприкасаются			
			Площадь области абляции менее 0,1 км <sup>2</sup>			
			Ледники расположены в бассейне ледника Курумды			
			Ледники имеют четко ограниченные языки. Ледники № 98 и 100 имеют срезвоеенные концы. Почти вся поверхность ледников представляет собой лед. Имеются небольшие пятна фирна, по которым приблизительно определялась высота фирновой линии			
			Ледники соединяются боковыми частями			
			Поверхность ледника целиком образована льдом			
			На поверхности ледников имеются пятна фирна. Положение фирмовой линии определено приблизительно			
			В верховьях ледники соединяются			
			На эти ледники имеется одиничный аэрофотоснимок. Все морфологические характеристики ледников даны приблизительно			
			В верховьях ледники последовательно соединены друг с другом			
			Площадь области абляции менее 0,1 км <sup>2</sup>			
			На снимке видна только нижняя часть ледника. Все морфологические характеристики ледника даны приблизительно			
			Аэрофотоснимки с этим ледником отсутствуют. Все характеристики даны по топографической карте			

ТАБЛИЦА II

**СПИСОК ГИДРОМЕТЕОРОЛОГИЧЕСКИХ СТАНЦИЙ И ПОСТОВ В РАЙОНЕ ЛЕДНИКОВ**

№ п/п	Название реки, в бассейне которой расположена станция	Название станции или поста	В чьем ведении находится	Абсолютная высота, м	Площадь водосбора гидрометрических станций и постов, км <sup>2</sup>	
					5	6
1	2	3	4	5		
1	оз. Каракуль	гмст Кара-Куль	УГМС ТаджССР	3930	4150	
2	р. Мургаб	гмст Мургаб	УГМС ТаджССР	3600	10500	

Период наблюдений, годы							Допол- нительные
уровень воды	сток воды	сток наносов	химический состав воды	основные мете- орологические	осадки	толщина снега	
7	8	9	10	11	12	13	
1961—1973	—	—	—	1933—1973	1936—1973	1933—1973	—
1933—1973	1933—1973	—	—	1893—1917 1923—1973	1894—1904 1908—1917 1923—1973	1893—1895 1901—1902 1923—1928 1933—1973	—

ТАБЛИЦА III

**СПИСОК СУММАРНЫХ ОСАДКОМЕРОВ И СНЕГОМЕРНЫХ ПУНКТОВ В РАЙОНЕ ЛЕДНИКОВ**

№ п/п	Название бассейна и номер осадкомера или снегопункта	Местоположение	Абсолютная высота, м	Экспозиция склона	Период наблю- дений, годы	
					4	5
1	2	3	4	5		
1	Караарт (бассейн р. Караарт), ос	Верховье р. Караарт, на правом бе- регу	4360	гориз.	1966—1972	
2	Акбайтал (бассейн р. Акбайтал), ос	У перевала Акбайтал	4600	СВ	1958—1972	
3	Октябрьский (бассейн р. Коксай), ос	У правого края конца ледника Ок- тябрьский	4400	гориз.	1963—1972	
4	Кызыларт (бассейн р. Маркансу), ос	На перевале Кызыларт	4270	Ю	1967—1972	

## ЭКСПЕДИЦИОННЫЕ И СТАЦИОНАРНЫЕ ИССЛЕДОВАНИЯ ЛЕДНИКОВ

№ п/п	Номер и название ледника по схеме	Время проведе- ния работ	Характеристика (состав) provеденных исследований	Организация, произ- водившая работы	№ источника по табл. V
1	2	3	4	5	6
1	Бассейн оз. Каракуль в целом	1928	Фототеодолитная съемка с Сарыкольского хребта бассейна оз. Кура-Куль (Р. Финстервальдер)	Памирская экспедиция АН СССР. Р. Финстервальдер	8,9
2	Бассейн р. Караджилга, верховьев р. Акджилга	1928	Маршрутная мезуальная съемка. Открыт целый ряд неизвестных ранее ледников	Памирская экспедиция АН СССР, И. Г. Дорофеев	1,2,8
3	№ 3, Октябрьский (№ 275), № 300, район в целом	1933	Первое маршрутное обследование языков ледников, описание их поверхности. Изучение форм древнеледникового рельефа и микрорельефа приледниковой зоны	Таджикско-Памирская комплексная экспедиция АН СССР	6,7
4	Краснослободцева (№ 69)	1970, 1971	Летние полустационарные наблюдения в фирновой области ледника: изучение в шурфах стратиграфии фирновой толщи и инфильтрации тальных вод. Площадная снегомерная съемка. Измерение температуры льда в скважине	ИГАН	
5	Оледенение бассейнов рек Караджилга, Акджилга, Маркансу (западная часть)	1971	Облеты ледников на вертолете. Аэровизуальное дешифрирование аэрофотоснимков с целью каталогизации ледников	ИГАН	
6	№ 93, Ак-Байтал (№ 94)	1971	Изучение стратиграфии фирновой толщи в шурфах, измерение температуры льда в скважине. Метеонаблюдения и измерение составляющих радиационного баланса в фирновой области ледника Ак-Байтал. Маршрутное изучение морфологии ледников	ИГАН	

ТАБЛИЦА V

## СПИСОК РАБОТ, СОДЕРЖАЩИХ СВЕДЕНИЯ О ЛЕДНИКАХ

№ п/п	Номер и название ледника по схеме	Автор и наименование работы	Место издания работы	Краткая аннотация
1	2	3	4	5
1	Бассейн оз. Каракуль	Дорофеев И. Г. Полуинструментальная съемка 1 : 200 000 бассейна оз. Кара-Куль	Труды Сов.-Герм. экспед. 1928, 1930, вып. 1 (Общий отчет)	
2	Бассейн р. Караджилга и верховьев р. Акдилга	Дорофеев И. Г., Горбунов Н. П. Карта района р. Караджилга — пер. Карап-Чим — пер. Тузакчи — пер. Кзыл-Белес — уроч. Кок-Джар (Восточный Памир)	Лист 43-IV, Сов.-Герм. экспед. 1928 г.	
3	Оледенение хр. Зорташкол (северный)	Забиров Р. Д. Оледенение горного массива Муз-Кол	Изв. ВГО, 1955, т. 87, вып. 4	
4	Оледенение района в целом, в том числе ледников № 1, 5, 10, 94, 96, 119, 122, 126, Воддарского (№ 243—245), Октябрьский (№ 275—287), Курумды (№ 91—96)	Забиров Р. Д. Оледенение Памира	М., Географиз, 1955	
5	Оледенение района в целом, в том числе ледников Октябрьский (№ 275—287), Воддарского (№ 243—245)	Корженевский Н. Л. Озеро Карап-Куль (физико-географический очерк)	Труды Тадж.-Памир. экспед. 1934 г., 1936, вып. 42	
6	Район оледенения в целом	Марков К. К. Геоморфологический очерк Памира	Труды Ин-та физ. геогр., 1935, вып. 17	
7	№ 3, Октябрьский (№ 275—287) № 300, район оледенения в целом	Марков К. К. Геоморфологический очерк Северного Памира и Вахии по наблюдениям 1932—1933 гг.	Труды ледниковых экспед. 2-го Международного полярного года, 1936, вып. 1 (Памир), Л.	
8	Район оледенения в целом	Памирская экспедиция 1928 г. Вып. 1. Общий отчет	Л., изд-во АН СССР, 1930	
9		Памяти И. С. Краснослободцева	Материалы гляциол. исследований (МГГ). Хроника, обсуждения, 1971, вып. 18	
10	Район оледенения в целом			

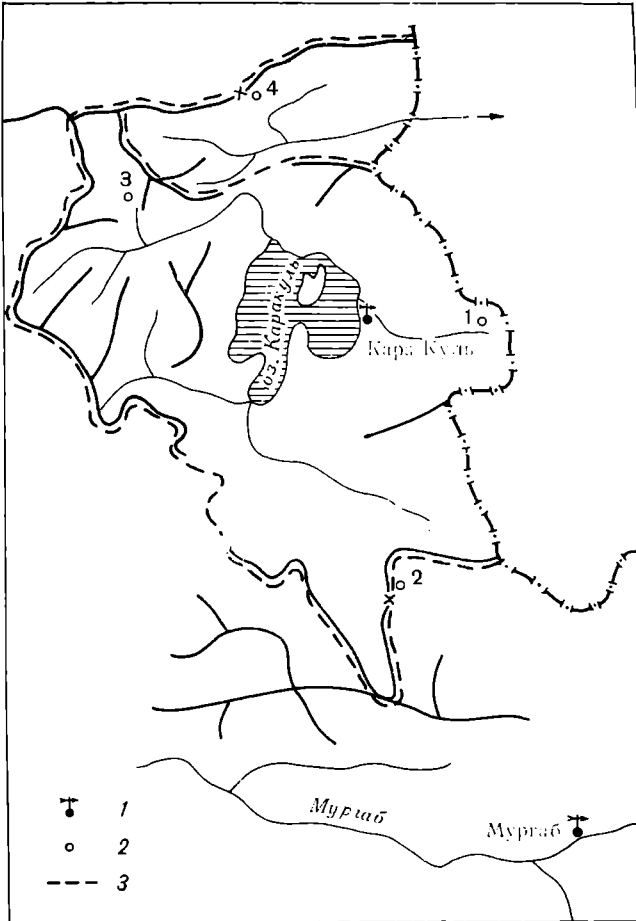


Рис. 42. Схема расположения гидрометеорологических станций и суммарных осадкомеров в районе ледников.  
 1 — действующие метеорологические станции, 2 — суммарные осадкомеры, 3 — границы бассейнов оз. Каракуль и р. Маркансы.

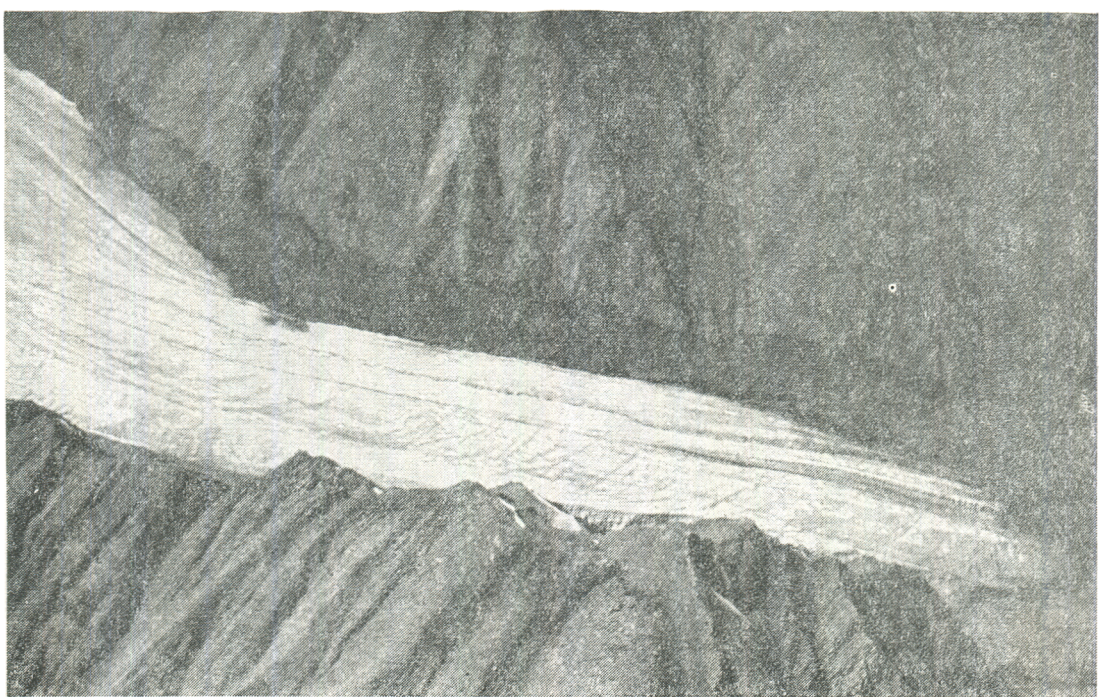


Рис. 43. Конец открытой части ледника Западный Октябрьский (№ 276).

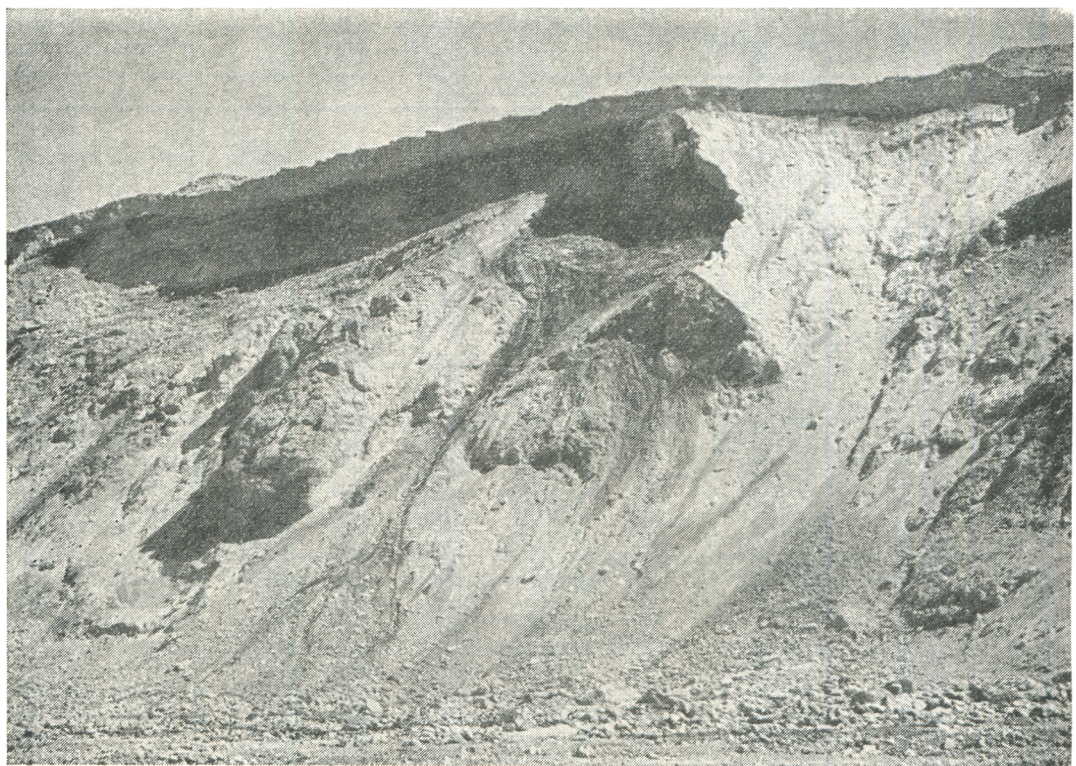


Рис. 44. Типичный участок фронта языка ледника Уйсу — крутой ледянной откос, покрытый осыпающейся мореной.



Рис. 45. Конец языка ледника Октябрьского.



Рис. 46. Язык сложного долинного ледника № 294—296 в бассейне ледника Октябрьского.

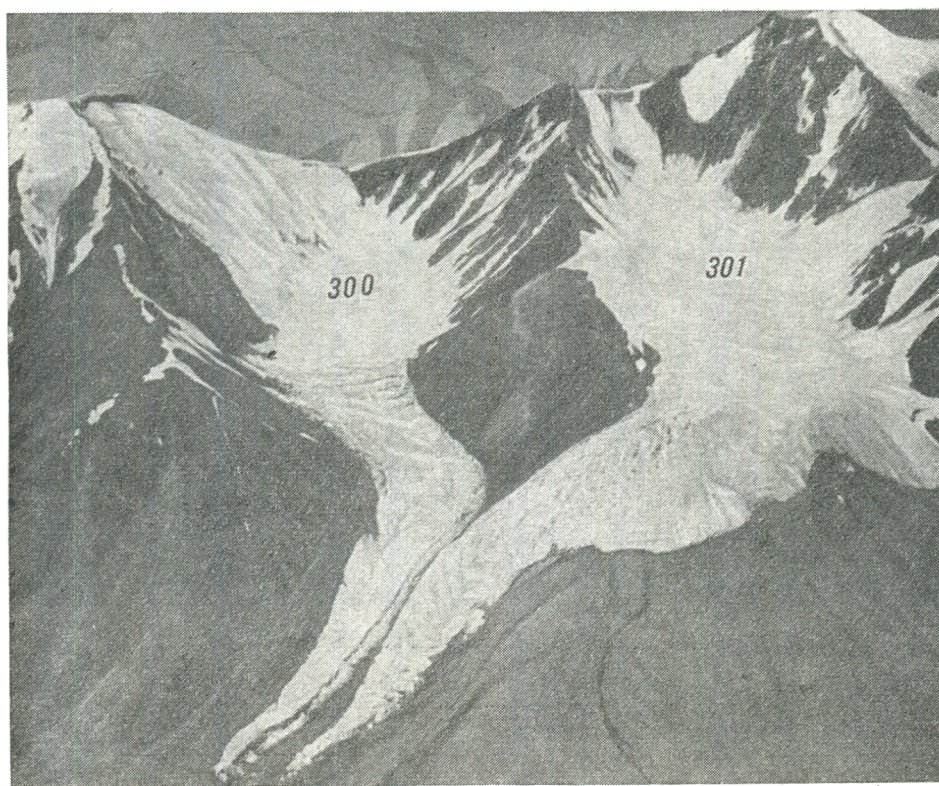


Рис. 47. Сложный долинный ледник № 300, 301.



Рис. 48. Язык сложного долинного ледника № 241, 242 в бассейне р. Байгашка.



Рис. 49. Конец ледника № 42 в бассейне ледника Уйсу.



Рис. 50. Левая составляющая дендритового ледника Уйсу — ледник № 47 в среднем течении.



Рис. 51. Язык ледника Краснослободцева (№ 69).

## СОДЕРЖАНИЕ

Предисловие . . . . .	3
Деление Каталога ледников СССР на тома, выпуски и части . . . . .	6
Список томов, выпусков и частей Каталога ледников СССР . . . . .	—
Список принятых сокращений . . . . .	9
Характеристика географического положения, морфологии, климатических условий и режима ледников . . . . .	10
Орография и распространение ледников . . . . .	—
Климатические условия . . . . .	16
Основные характеристики оледенения . . . . .	17

### Основные таблицы Каталога ледников

Таблица I. Основные сведения о ледниках (часть 17) . . . . .	44
Пояснения к таблице I (часть 17) . . . . .	58
Таблица I. Основные сведения о ледниках (часть 18) . . . . .	65
Пояснения к таблице I (часть 18) . . . . .	70
Таблица II. Список гидрометеорологических станций и постов в районе ледников . . . . .	72
Таблица III. Список суммарных осадкомеров и снегомерных пунктов в районе ледников . . . . .	—
Таблица IV. Экспедиционные и стационарные исследования ледников . . . . .	73
Таблица V. Список работ, содержащих сведения о ледниках . . . . .	74

## РЕСУРСЫ ПОВЕРХНОСТНЫХ ВОД СССР

Каталог ледников СССР, том 14, вып. 3, ч. 17 и 18

Редактор И. С. Якорь. Техн. редактор М. И. Брайнина.

Корректор Т. Н. Черненко.

Сдано в набор 18/VI 1975 г. Подписано к печати 25/XII 1975 г. М-17466. Формат 60 × 90<sup>1/4</sup>. Бум. тип. № 1. Печ. л. 10. Уч.-изд. л. 11,23. Тираж 400 экз. Индекс ГЛ-179. Заказ № 760. Цена 81 коп. Гидрометеоиздат. 199053. Ленинград, 2-я линия, д. 23.

Типография им. Котлякова издательства «Финансы» Государственного комитета Совета Министров СССР по делам издательств, полиграфии и книжной торговли, 191023, Ленинград, Д-23, Садовая, 21.

????????????? ???? ???? ????  
xeenych@gmail.com

????????? Epson Perfection V33  
????????? 300 dpi tiff  
????????? ScanTailor